



TUGAS AKHIR - ME184834

**DESAIN SISTEM KONTROL PASOKAN DAYA PANEL SURYA-GENERATOR
BERBASIS LOGIKA FUZZY PADA KAPAL FERRY MV. AQUILLA**

Dewi Purwaningrum
NRP 04211540000009

Dosen Pembimbing
Juniariko Prananda, S.T, M.T.
Achmad Baidowi, S.T., M.T.

**DEPARTEMEN TEKNIK SISTEM PERKAPALAN
FAKULTAS TEKNOLOGI KELAUTAN
INSTITUT TEKNOLOGI SEPULUH NOPEMBER
SURABAYA
2019**

“Halaman Ini Sengaja Dikosongkan”



TUGAS AKHIR - ME184834

**DESAIN SISTEM KONTROL PASOKAN DAYA PANEL-SURYA
GENERATOR BERBASIS LOGIKA FUZZY PADA KAPAL FERRY MV.
AQUILLA**

Dewi Purwaningrum
NRP. 04211540000009

Dosen Pembimbing
Juniarko Prananda, S.T., M.T.
Achmad Baidowi, S.T., M.T.

DEPARTEMEN TEKNIK SISTEM PERKAPALAN
Fakultas Teknologi Kelautan
Institut Teknologi Sepuluh Nopember
Surabaya
2019

“Halaman Ini Sengaja Dikosongkan”



FINAL PROJECT - ME184834

**PHOTOVOLTAIC-GENERATOR POWER SUPPLY CONTROL
SYSTEM DESIGN BASED ON FUZZY LOGIC CONTROL**

Dewi Purwaningrum
NRP. 04211540000009

Supervisors:
Juniarko Prananda, S.T., M.T.
Achmad Baidowi, S.T., M.T.

MARINE ENGINEERING DEPARTMENT
Faculty of Marine Technology
Institute of Technology Sepuluh Nopember
Surabaya
2019

“Halaman Ini Sengaja Dikosongkan”

LEMBAR PENGESAHAN

DESAIN SISTEM KONTROL PASOKAN DAYA PANEL-SURYA GENERATOR BERBASIS LOGIKA FUZZY PADA KAPAL FERRY MV. AQUILLA

Diajukan untuk Memenuhi Salah Satu Syarat
Memperoleh Gelar Sarjana Teknik
Pada

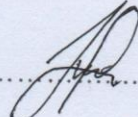
Bidang Studi Marine Electrical and Automation System (MEAS)
Program Studi S-1 Departemen Teknik Sistem Perkapalan
Fakultas Teknologi Kelautan
Institut Teknologi Sepuluh Nopember

Oleh :

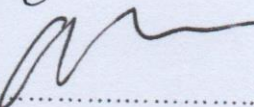
Dewi Purwaningrum
NRP. 04211540000009

Disetujui oleh Pembimbing Tugas Akhir :

Juniarko Prananda S.T. M.T.
NIP. 1990 0605 2015 04 1001

(.....

.....)

Achmad Baidowi, S.T., M.T.
NIP.

(.....

.....)

SURABAYA
Juli 2019

“Halaman Ini Sengaja Dikosongkan”

LEMBAR PENGESAHAN

DESAIN SISTEM KONTROL PANEL SURYA-GENERATOR BERBASIS LOGIKA FUZZY PADA KAPAL FERRY

TUGAS AKHIR

Diajukan untuk Memenuhi Salah Satu Syarat
Memperoleh Gelar Sarjana Teknik
pada

Bidang Studi *Marine Electrical and Automation System (MEAS)*
Program Studi S-1 Departemen Teknik Sistem Perkapalan
Fakultas Teknologi Kelautan
Institut Teknologi Sepuluh Nopember

Oleh :

Dewi Purwaningrum

NRP. 04211540000009

Disetujui oleh Kepala Departemen Teknik Sistem Perkapalan :



Dr. Eng. M. Badrus Zaman, S.T., M.T.

NIP. 197708022008011007

“Halaman Ini Sengaja Dikosongkan”

Desain Sistem Kontrol Pasokan Daya Panel-Surya Generator Berbasis Logika Fuzzy Pada Kapal Ferry Mv. Aquilla

Nama Mahasiswa : Dewi Purwaningrum
NRP : 04211540000009
Dosen Pembimbing I : Juniarko Prananda S.T. M.T.
Dosen Pembimbing II : Achmad Baidowi S.T. M.T.

ABSTRAK

Kebutuhan akan sumber energi terbarukan semakin hari semakin meningkat. Namun, ketersediaan bahan bakar fosil semakin hari semakin menipis dan harganya terus meningkat. Oleh karena itu, kapal MV. Aquilla menggunakan dua buah sumber energi listrik, yakni energi yang bersumber dari bahan bakar fosil dan energi matahari. Kedua jenis energi ini digunakan berdampingan. Sumber energi listrik yang menggunakan bahan bakar fosil difungsikan untuk bahan bakar generator, sedangkan sumber energi matahari dikonversikan menjadi energi listrik menggunakan panel surya. Sistem pembebangan listrik di kapal merupakan beban dengan kecenderungan dapat berubah tergantung oleh jumlah peralatan atau *equipment* yang sedang dijalankan. Hal tersebut menyebabkan supply daya dari panel surya susah untuk dioptimalkan. Logika fuzzy merupakan logika yang digunakan sebagai sebuah sistem kontrol yang membantu sebuah proses otomasi. Namun, penggunaan logika fuzzy untuk sistem kontrol generator-panel surya belum diketahui pengaruhnya. Oleh sebab itu, diperlukan analisa lebih lanjut menggunakan metode simulasi pada *software* Matlab. Berdasarkan hasil simulasi didapatkan beberapa data diantaranya adalah daya yang dihasilkan oleh panel surya, beban listrik pada kapal yang dipasang panel surya tanpa sistem kontrol fuzzy, beban listrik pada kapal yang dipasang panel surya dengan sistem kontrol fuzzy dan penghematan konsumsi bahan bakar akibat penggunaan panel surya dan sistem kontrol fuzzy. Daya listrik rata-rata yang dihasilkan oleh panel surya yang terpasang di kapal adalah 2180,93 Watt. Beban listrik rata-rata pada kapal yang dipasang panel surya tetapi tidak menggunakan sistem kontrol fuzzy adalah sebesar 10779,46 Watt. Beban listrik rata-rata pada kapal yang dipasang panel surya dan menggunakan sistem kontrol fuzzy adalah sebesar 10153,97 Watt. Penghematan konsumsi bahan bakar terbesar diperoleh pada kapal yang dipasang panel surya dengan menggunakan sistem kontrol fuzzy, yakni sebesar 10%.

Kata kunci: beban listrik, daya, kapal, logika fuzzy, panel surya, sistem kontrol.

“Halaman Ini Sengaja Dikosongkan”

PHOTOVOLTAIC-GENERATOR POWER SUPPLY CONTROL SYSTEM DESIGN BASED ON FUZZY LOGIC CONTROL

Student Name	: Dewi Purwaningrum
NRP	: 04211540000009
Supervisor I	: Juniarko Prananda S.T. M.T.
Supervisor II	: Ahmad Baidowi S.T. M.T.

ABSTRACT

The need for renewable energy sources is increasing daily. However, the availability of fossil fuel is running out but the price continues to increase. Therefore, MV. Aquilla uses two sources of electrical energy, energy sourced from fossil fuels and solar energy. Both types of energy are used side by side. Electric energy sources that use fossil fuel are used to fuel generators, while solar energy sources are converted into electrical energy using solar panels. The electric load system on the ship is load with a tendency to change depending on the number of equipment being used. This causes the power supply from solar panels difficult to optimize. Fuzzy logic is a logic that is used as a control system that helps an automation process. However, effect of fuzzy logic usage for solar panel-generator control systems has not been known. Therefore, further analysis is needed using the simulation method in the Matlab software. Based on the simulation results obtained some data including the power produced by solar panels, electrical load of solar panels installed ship without a fuzzy control system, the electrical load of solar panels installed ship with fuzzy control systems and saving fuel consumption due to the use of solar panels and fuzzy control system. The average electric power produced by solar panels installed on the ship is 2180.93 Watts. The average electrical load on a ship mounted by solar panels but not using a fuzzy control system is 10779.46 Watts. The average electrical load on ships installed by solar panels and using a fuzzy control system is 10153.97 Watts. The biggest savings in fuel consumption were obtained on ships installed by solar panels using a fuzzy control system, which is 10%.

Keyword: *control system, electrical load, fuzzy logic, power, ships, solar panel.*

“Halaman Ini Sengaja Dikosongkan”

KATA PENGANTAR

Bismillahirrohmanirrohim. Puji syukur penulis panjatkan kepada Allah SWT yang telah melimpahkan rahmat, taufik, serta hidayah-Nya sehingga penulis dapat menyelesaikan Tugas Akhir dengan tepat waktu. Penulis tidak pernah berhenti untuk bersyukur dan berterimakasih atas segala Nikmat yang diberikan oleh Allah SWT.

Pada kesempatan kali ini, penulis ingin menyampaikan ucapan terimakasih kepada semua pihak yang telah mendukung, mengarahkan, membimbing, membantu, dan memberikan semangat kepada penulis, antara lain kepada :

1. Allah SWT yang telah melimpahkan rahmat dan karuniaNya kepada penulis , sehingga dapat menyelesaikan buku Tugas Akhir ini dengan tepat waktu.
2. Ibu Supatmi dan Bapak Mujiono yang selalu mendukung dan mendoakan penulis. Dan seluruh keluarga besar penulis yang selalu mendukung penulis.
3. Bapak Juniarko Prananda dan Bapak Achmad Baidowi selaku dosen pembimbing penulis yang selalu sabar dan telah meluangkan waktu dan pikiran untuk membimbing penulis untuk menuju hasil yang terbaik dan memuaskan dalam menyelesaikan buku Tugas Akhir ini.
4. Bapak Dhimas Widhi Handani selaku dosen wali penulis yang telah mendukung dan mengarahkan penulis selama masa perkuliahan.
5. Seluruh bapak dan ibu dosen Departemen Teknik Sistem Perkapalan yang telah memberikan ilmu pengetahuan kepada penulis selama masa studi empat tahun ini.
6. Seluruh bapak dan ibu karyawan dan tenaga pendidik Departemen Teknik Sistem Perkapalan yang telah membantu masa perkuliahan penulis.
7. Seluruh teman-teman yang sudah bersedia membantu dan mengajari penulis selama penelitian Tugas Akhir.
8. Teman-teman Laboratorium Marine Electrical and Automatic System (MEAS) yang senantiasa mau membantu dan mengajari penulis selama penelitian Tugas Akhir.
9. Teman-teman “Ruang Rindu” yaitu Rizky, Bella, Dewi, Weka, Ardian, Rina, dan Okti yang selalu memberikan semangat dan memberi dukungan untuk penulis.
10. Teman-teman SALVAGE’15 yang menjadi teman seperjuangan mulai dari awal masuk perkuliahan hingga saat ini.
11. Pihak lainnya yang telah membantu dan mendukung penulis demi kelancaran dan kesuksesan penyelesaian buku Tugas Akhir ini.

Tidak ada sesuatu yang sempurna di dunia ini kecuali Allah SWT, tidak terkecuali dengan buku Tugas Akhir ini. Penyusunan Tugas Akhir ini masih banyak memiliki kekurangan dan jauh dari kata sempurna. Oleh karena itu penulis menerima segala kritik dan saran demi kesempurnaan untuk perbaikan di masa mendatang. Semoga Buku Tugas Akhir ini dapat memberikan manfaat bagi pembaca dan menjadi sebuah kontribusi bagi ilmu pengetahuan

Surabaya, 29 Juli 2019

Penulis

DAFTAR ISI

LEMBAR PENGESAHAN	Error! Bookmark not defined.
LEMBAR PENGESAHAN	Error! Bookmark not defined.
ABSTRAK	ix
ABSTRACT	xi
KATA PENGANTAR	xiii
DAFTAR ISI	xv
DAFTAR GAMBAR	xix
DAFTAR TABEL	xxi
BAB 1 PENDAHULUAN	1
1.1 Latar Belakang	1
1.2 Rumusan Masalah	2
1.3 Tujuan	2
1.5 Batasan Masalah	3
BAB 2 STUDI LITERATUR	5
2.1 Kapal Ferry “MV. Aquilla”	5
2.2 Sel Surya (<i>Photovoltaics</i>)	6
2.2.1 Prinsip Kerja Sel Surya	7
2.2.2 Rangkaian Seri-Paralel Sel Surya	8
2.3 Sistem Kontrol	9
2.3.1 Sistem Kontrol Open Loop	9
2.3.2 Sistem Kontrol Close Loop	9
2.4 Logika Fuzzy	10
2.4.1 Pengertian Logika Fuzzy	10
2.4.2 Toolbox Fuzzy pada Aplikasi MatLab	11
BAB III METODOLOGI PENELITIAN	13
3.1. Metode Penelitian	13
3.2. Prosedur Penelitian	14

3.2.1 Studi Literatur	14
3.2.2 Pengumpulan Data.....	15
3.2.3 Pemodelan simulasi pada <i>software MatLab</i>	15
3.2.4 Penggerjaan pemodelan simulasi sistem kontrol PV	15
3.2.5 Simulasi	15
3.2.6 Analisa kegagalan prototype	16
3.2.7 Penyusunan Laporan.....	16
BAB IV ANALISA DATA DAN PEMBAHASAN	17
4.1 Kapal Ferry “MV. Aquilla”	17
4.2 Perhitungan Beban Listrik MV. Aquilla.....	18
4.2.1 Beban Penerangan	18
4.2.2 Peralatan Elektronik.....	20
4.2.3 Peralatan AC.....	20
4.2.4 Pompa	21
4.2.5 Peralatan Navigasi dan Komunikasi	21
4.2.6 Beban Total.....	22
4.3 Photovoltaic	23
4.4 Generator	23
4.5 Perangkaian Simulasi dan Logika Fuzzy	24
4.5.1 Pemodelan Panel Surya (PV).....	25
4.5.2 Hasil Pemodelan Panel Surya (PV)	28
4.5.3 Pemodelan Fuzzy	30
4.5.4 Simulasi Fuzzy	37
4.5.5 Output Simulasi Fuzzy.....	38
4.5.6 Perbandingan Hasil	39
BAB V PENUTUP	49
5.1 Kesimpulan.....	49
5.2 Saran.....	49
DAFTAR PUSTAKA	50
LAMPIRAN	53
Lampiran 1: Spesifikasi Panel Surya (<i>Photovoltaics</i>)	55
Lampiran 2: Spesifikasi Generator.....	59

Lampiran 3: Spesifikasi Peralatan Elektronika	65
Lampiran 4: Data Beban Kerja Generator dan Perhitungan Konsumsi BBM	71
BIOGRAFI PENULIS	93

“Halaman Ini Sengaja Dikosongkan

DAFTAR GAMBAR

Gambar 2.1 Desain kapal ferry “MV. Aquilla”	6
Gambar 2.2 Sel Surya/PV (photovoltaic)	6
Gambar 2.3 Struktur sel surya	7
Gambar 2.4 Prinsip kerja sel surya	8
Gambar 2.5 Rangkaian seri dan parallel sel surya	8
Gambar 2.6 Sistem kontrol open-loop	9
Gambar 2.7 Sistem kontrol close-loop	9
Gambar 2.8 Sistem logika fuzzy.....	11
Gambar 2.9 Toolbox logika fuzzy pada MatLab	12
Gambar 4. 1 Kapal Ferry “MV. Aquilla”	17
Gambar 4.2 Panel Surya (<i>Photovoltaic</i>).....	23
Gambar 4.3 Diesel Generator Set TEKSAN TJ22RY5C	24
Gambar 4.4 Blok diagram simulasi PV	25
Gambar 4.5 Pemodelan simulasi PV	26
Gambar 4.6 Peta <i>irradiance</i> Sungai Pasig, Manila	26
Gambar 4.7 Kondisi temperature Sungai Pasig, Manila.....	27
Gambar 4.8 Input temperature dan <i>irradiance</i>	28
Gambar 4.9 Output simulasi PV	29
Gambar 4.10 Grafik hasil pemodelan PV.....	30
Gambar 4.11 Pemodelan Fuzzy	31
Gambar 4.12 Input daya PV pada pemodelan fuzzy	32
Gambar 4.13 Input beban pada pemodelan fuzzy	33
Gambar 4.14 Pemodelan output fuzzy	34
Gambar 4.15 Pemodelan Simulasi Fuzzy.....	38
Gambar 4.16 Grafik output simulasi fuzzy.....	39
Gambar 4.17 Grafik Beban Acak Generator tanpa PV tanpa Fuzzy	40
Gambar 4.18 Grafik Beban Acak Generator tanpa PV tanpa Fuzzy per jam.....	40
Gambar 4.19 Grafik Beban Generator tanpa Fuzzy	41
Gambar 4.20 Grafik Beban Generator tanpa Fuzzy per jam.....	42
Gambar 4.21 Grafik Beban Generator menggunakan Fuzzy	42
Gambar 4.22 Grafik Beban Generator menggunakan Fuzzy per jam.....	43
Gambar 4.23 Perbandingan Beban Generator.....	44

Gambar 4.24 Perbandingan konsumsi bahan bakar selama 24 jam..... 45

Gambar 4.25 Perbedaan Penghematan Bahan Bakar selama 24 jam..... 46

DAFTAR TABEL

Tabel 4.1 Beban Penerangan <i>Main Deck</i>	19
Tabel 4.2 Beban Penerangan <i>Engine Room</i>	19
Tabel 4.3 Kebutuhan AC pada tiap ruangan	20
Tabel 4.4 Pompa dan Spesifikasinya.....	21
Tabel 4.5 Peralatan Navigasi dan Komunikasi	22
Tabel 4.6 Logika Input Rules	35

“Halaman Ini Sengaja Dikosongkan”

BAB 1

PENDAHULUAN

1.1 Latar Belakang

Penggunaan energi alternatif pada era ini semakin marak digalakkan. Hal ini juga diperkuat dengan imbauan yang dikeluarkan oleh MARPOL untuk mengurangi emisi gas yang dihasilkan oleh kapal [1]. Kini tengah marak dunia industri, pun tidak terkecuali pada dunia perkapalan mengusung slogan green-technology. Sudah banyak dari mereka yang berpindah menggunakan sumber daya energi yang berasal dari fosil menuju ke non-fosil. Salah satu sumber daya alternatif yang banyak dan dapat digunakan di Indonesia adalah pemanfaatan sumber daya yang berasal dari radiasi matahari. Hal ini dikarenakan letak Indonesia yang berada di garis khatulistiwa dan memperoleh sinar matahari rata-rata 8-12 jam/hari memiliki potensi energi surya yang cukup besar. Pemanfaatan sumber daya matahari menjadi energi alternatif menggunakan suatu alat atau perangkat yang biasanya disebut dengan sel surya (solar photovoltaic).

Solar PV (photovoltaic) adalah metode pembangkit tenaga listrik dengan mengubah radiasi matahari menjadi listrik arus searah (DC) menggunakan semikonduktor yang menunjukkan efek fotovoltaik. Solar PV atau sering disebut Solar Panel atau Panel Surya terdiri dari sejumlah sel surya / solar cell yang mengandung bahan/material fotovoltaik (photovoltaics) yang tersusun bersamaan dengan silikon monocrystalline, silikon polycrystalline, silikon amorf, telluride kadmium, dan tembaga indium gallium selenide / sulfida. Solar PV termasuk ke dalam jenis photo dioda.

Solar cell/PV menghasilkan listrik arus DC dari sinar matahari, yang dapat langsung digunakan untuk peralatan listrik DC atau untuk mengisi ulang baterai. Aplikasi praktis pertama photovoltaics adalah satelit yang mengorbit listrik dan pesawat ruang angkasa lainnya, tetapi sekarang sebagian besar modul fotovoltaik digunakan untuk pembangkit jaringan listrik tersambung setara PLN. Dalam hal ini inverter diperlukan untuk mengkonversi arus DC ke arus AC.

Penggunaan PV sebagai sumber energi alternatif dimana pada penggunaannya kali ini digunakan sebagai sumber energi pembantu auxiliary engine di kapal. Teknologi PV dapat menjadi salah satu solusi yang sangat tepat dalam mengurangi biaya yang dikeluarkan untuk kapal. Sistem PV dapat berperan menjadi sumber nenergi tambahan yang ideal dan indepen dari penyokong sumber energy utama pada kapal, karena

1. Menghasilkan daya listrik tanpa membutuhkan bahan bakar,
2. Tidak menghasilkan keluaran, seperti gas buang maupun kebisingan,
3. Biaya perawatan yang murah,
4. Tidak/sangat sedikit menggunakan mesin,
5. Terdiri dari sedikit komponen, dengan instalasi yang mudah dan penggantian spare parts yang cepat jika suatu saat terjadi aging atau defectiveness.

6. Jaminan output PV dari pabrik yang mana daya yang dihasilkan setelah 25 tahun penggunaan tidak kurang dari 80%,
7. Dapat ditempatkan pada permukaan-permukaan yang kecil yang tidak digunakan seperti atap, dinding, saluran udara dan bangunan atas.

Penggunaan PV pada kapal untuk membantu kerja auxiliary engine yang digunakan secara bersamaan tidak dapat berlangsung dengan tetap. Hal ini dikarenakan oleh berubah-ubahnya intensitas paparan radiasi matahari. Hal tersebut menyebabkan penggunaan PV tidak dapat ditentukan kapasitas tetapnya. Sehingga PV pada kapal memerlukan sistem kontrol pintar yang dapat mengubah persentase kapasitas daya yang dihasilkan oleh PV dengan daya yang diperlukan dari auxiliary engine secara otomatis berdasarkan paparan radiasi matahari.

Dalam melakukan pemodelan sistem kontrol panel surya dengan generator ini digunakan sebuah metode, yakni simulasi sistem kontrol berbasis logika fuzzy. Penelitian ini bertujuan untuk memberikan gambaran dan mengetahui adanya pengaruh pemasangan sistem kontrol berbasis logika fuzzy pada kapal ferry MV. Aquilla yang telah terpasang panel surya.

1.2 Rumusan Masalah

Rumusan masalah yang akan diambil pada tugas akhir ini berdasarkan latar belakang yang telah dijelaskan adalah sebagai berikut:

1. Bagaimana merancang sistem kontrol panel surya (photovoltaic) yang terpasang di kapal berbasis logika fuzzy?

1.3 Tujuan

Adapun tujuan dari penggerjaan tugas akhir ini adalah sebagai berikut

1. Untuk merancang sistem kontrol panel surya (photovoltaic) yang terpasang di kapal dengan berbasis logika fuzzy.

1.4 Manfaat Penelitian

Manfaat dari tugas akhir ini adalah :

1. Dapat menghasilkan rancangan sistem kontrol panel surya (photovoltaic) yang terpasang di kapal dengan berbasis logika fuzzy.
2. Dapat mengetahui adanya pengaruh penggunaan sistem kontrol dengan logika fuzzy dalam penggunaannya pada kapal yang terinstal panel surya (photovoltaic).
3. Dapat melakukan optimasi pada daya yang dihasilkan oleh panel surya (photovoltaic).
4. Dapat digunakan sebagai referensi penelitian selanjutnya dalam rangka pengembangan dalam bidang teknologi maritime.

1.5 Batasan Masalah

Adapun batasan masalah pada penggerjaan penelitian tugas akhir ini, yaitu:

1. Studi kasus hanya terbatas pada kapal ferry MV. Aquilla
2. Desain sistem yang dihasilkan b simulasi pada *software* MatLab
3. Perancangan sistem kontrol berbasis fuzzy terbatas hanya pada model pembebanan dan tidak termasuk pada konfigurasi sistem tersebut.

“Halaman Ini Sengaja Dikosongkan”

BAB 2

STUDI LITERATUR

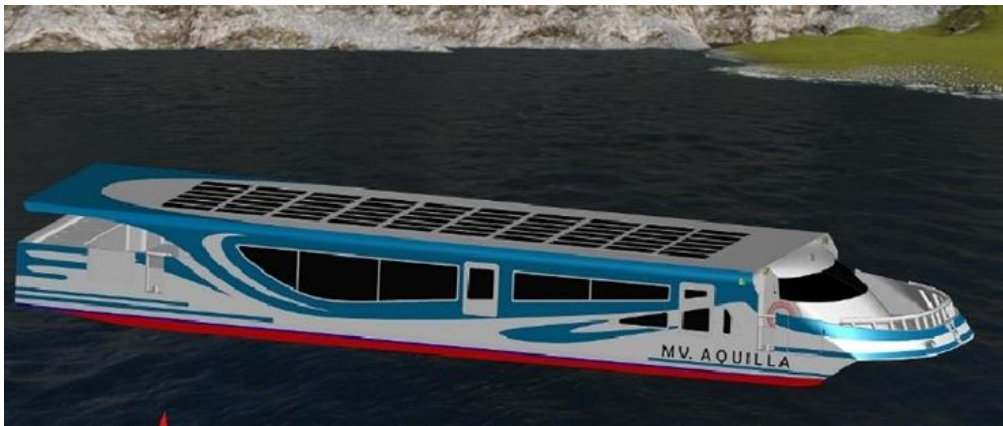
Dalam melakukan penelitian perlu adanya suatu landasan berupa dasar teori yang digunakan sebagai acuannya. Dasar teori ini digunakan sebagai pedoman dalam melatarbelakangi permasalahan penelitian. Adapun dasar teori yang digunakan dalam penyusunan penelitian, yaitu sistem tenaga listrik, teori sistem kontrol menggunakan logika fuzzy dan, parameter-parameter dalam penyusunan sistem kontrol logika fuzzy.

2.1 Kapal Ferry “MV. Aquilla”

M.V. Aquilla, adalah feri katamaran modern, inovatif, efisien dan terjangkau itu dirancang khusus untuk transportasi Sungai Pasig. Mulai dari desain lambung serbaguna yang dibangun dari material aluminium 5086 yang ringan, tahan korosi, namun kuat untuk memaksimalkan kapasitas muat, keandalan, dan kemampuan layanan yang panjang. Desain bentuk lambung diputuskan setelah melakukan studi kelayakan kondisi Sungai Pasig yang dangkal dan umumnya kurang agresif. Dengan sangat desain lambung katamaran dengan rasio lebar yang sangat tinggi, M.V. Aquilla akan memiliki yang sangat andal stabilitas dengan atau tanpa penumpang. Freeboard profil rendah dirancang untuk melewati yang terendah jembatan di Sungai Pasig dan memberikan hambatan udara rendah. Hull Eco Asymmetric Flat Luar adalah sebuah desain lambung yang hanya menghasilkan gelombang kecil ramah ke sisi sungai. Gelombang kecil tidak membuat erosi dan tidak mengganggu kegiatan di bank. Penggerak sterndrive kembar sistem diatur untuk mengkompensasi rancangan rendah dan kebutuhan ruang mesin kompak, yang menghasilkan biaya perawatan yang lebih rendah dan ruang yang tersedia lebih tinggi. Baling-balingnya adalah diatur kontra-rotating untuk meminimalkan kavitasi, menghasilkan efisiensi tenaga penggerak yang lebih tinggi hingga 15% dari konvensional.

Dengan Eco Smart Solar System, MV. Aquilla terpasang dengan 60 unit panel surya, ditambah dengan generator melalui Sirkuit Terpadu (IC), untuk mengurangi konsumsi bahan bakar generator hingga 16% yang menghasilkan efisiensi dan operasi “green-ferry”. Adapting Unattended Machinery Space (UMS), dan didukung dengan Sistem Otomasi Kapal Terpadu, keberadaan ruang kontrol mesin bisa dihilangkan. Semua kontrol dan pemantauan mesin dilakukan dari ruang navigasi. Ini memungkinkan lebih sedikit sumber daya manusia, lebih banyak fleksibilitas, kesalahan manusia yang lebih rendah dan beban yang dimaksimalkan kapasitas feri. Semua pengaturan dan peralatan keselamatan dirancang untuk mematuhi Peraturan SOLAS II dan III. Jendela penumpang dibuat agar bisa pecah dari dalam menggunakan palu pengaman untuk memberikan keselamatan penumpang yang tinggi dalam keadaan darurat situasi, meski begitu, enam pintu kedap air tersedia sebagai rute pelarian. Sebagai sarana darurat, jaket pelampung terletak di bawah kursi setiap penumpang. Semua area penumpang adalah ditutupi dengan alat penyiram jarak jauh, dan detektor asap. Sistem keamanan lain tersedia untuk feri adalah Automation Flooding System, berfungsi untuk mengeluarkan air bilge secara otomatis. Untuk memberikan hiburan dan menjaga kesenangan penumpang, feri itu dilengkapi dengan TV HD full 40 "datar,

ruang merokok, dan sistem pendingin udara dengan penutup penuh di area penumpang. Penerangan LED digunakan untuk menyediakan daya hingga 30% lebih rendah konsumsi dari bola lampu standar. [2]



Gambar 2.1 Desain kapal ferry “MV. Aquilla”

2.2 Sel Surya (*Photovoltaics*)

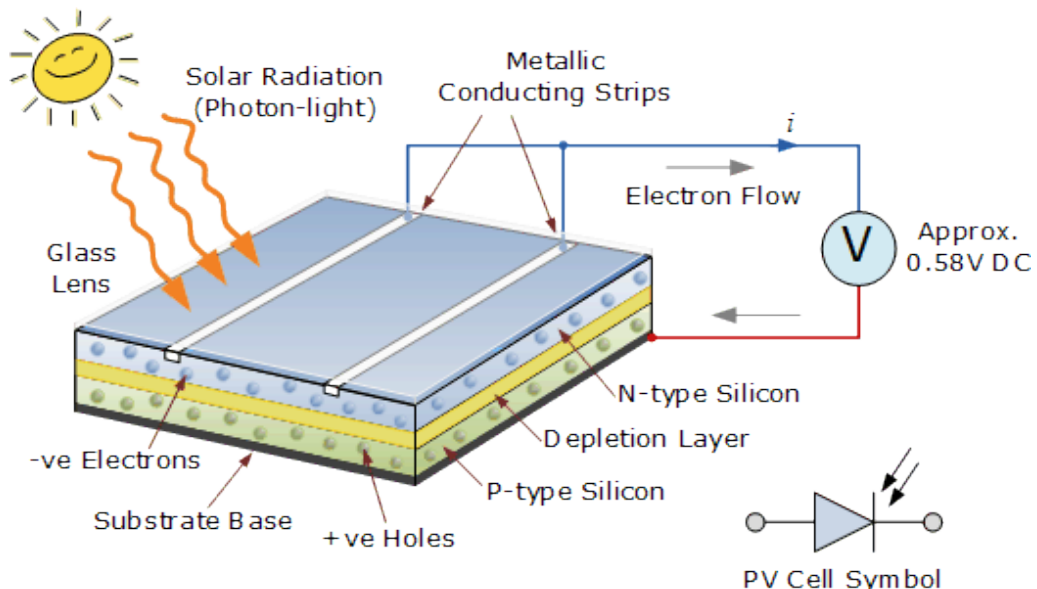
Sel Surya atau *Photovoltaic (PV)* merupakan salah satu teknologi terbarukan yang semakin diutamakan secara global dalam beberapa dekade terakhir [3]. Sel surya (PV) adalah suatu perangkat atau komponen yang dapat mengubah energi cahaya matahari menjadi energi listrik dengan menggunakan prinsip efek Photovoltaic. Yang dimaksud dengan Efek Photovoltaic adalah suatu fenomena dimana munculnya tegangan listrik karena adanya hubungan atau kontak dua elektroda yang dihubungkan dengan sistem padatan atau cairan saat mendapatkan energi cahaya. Oleh karena itu, Sel Surya atau Solar Cell sering disebut juga dengan Sel Photovoltaic (PV). Efek Photovoltaic ini ditemukan oleh Henri Becquerel pada tahun 1839 [4].



Gambar 2.2 Sel Surya/PV (photovoltaic)

Arus listrik timbul karena adanya energi foton cahaya matahari yang diterimanya berhasil membebaskan elektron-elektron dalam sambungan semikonduktor tipe N dan tipe P untuk mengalir. Sama seperti Dioda Foto (*Photodiode*), Sel Surya atau *Solar Cell* ini juga memiliki kaki Positif dan kaki Negatif yang terhubung ke rangkaian atau perangkat yang memerlukan sumber listrik.

Pada dasarnya, Sel Surya merupakan Dioda Foto (*Photodiode*) yang memiliki permukaan yang sangat besar. Permukaan luas Sel Surya tersebut menjadikan perangkat Sel Surya ini lebih sensitif terhadap cahaya yang masuk dan menghasilkan Tegangan dan Arus yang lebih kuat dari Dioda Foto pada umumnya. Contohnya, sebuah Sel Surya yang terbuat dari bahan semikonduktor silikon mampu menghasilkan tegangan setinggi 0,5V dan Arus setinggi 0,1A saat terkena (expose) cahaya matahari.

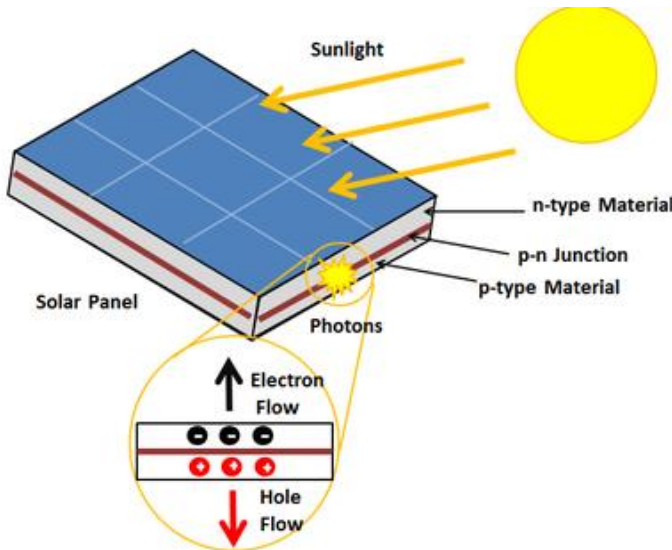


Gambar 2.3 Struktur sel surya

2.2.1 Prinsip Kerja Sel Surya

Daerah Semikonduktor dengan elektron bebas ini bersifat negatif dan bertindak sebagai Pendonor elektron, daerah semikonduktor ini disebut dengan Semikonduktor tipe N (N-type). Sedangkan daerah semikonduktor dengan Hole bersifat Positif dan bertindak sebagai Penerima (Acceptor) elektron yang dinamakan dengan Semikonduktor tipe P (P-type) [5].

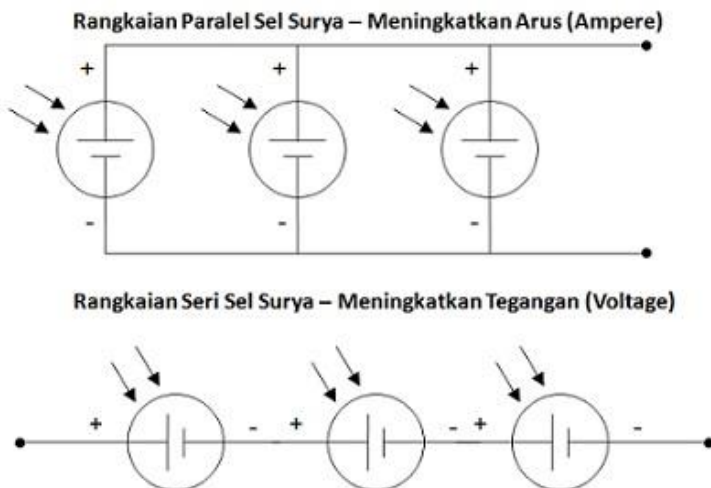
Di persimpangan daerah Positif dan Negatif (PN Junction), akan menimbulkan energi yang mendorong elektron dan hole untuk bergerak ke arah yang berlawanan. Elektron akan bergerak menjauhi daerah Negatif sedangkan Hole akan bergerak menjauhi daerah Positif. Ketika diberikan sebuah beban berupa lampu maupun perangkat listrik lainnya di Persimpangan Positif dan Negatif (PN Junction) ini, maka akan menimbulkan Arus Listrik.



Gambar 2.4 Prinsip kerja sel surya

2.2.2 Rangkaian Seri-Paralel Sel Surya

Seperti Baterai, Sel Surya juga dapat dirangkai secara Seri maupun Paralel. Pada umumnya, setiap Sel Surya menghasilkan Tegangan sebesar $0,45 \sim 0,5V$ dan arus listrik sebesar $0,1A$ pada saat menerima sinar cahaya yang terang. Sama halnya dengan Baterai, Sel Surya yang dirangkai secara Seri akan meningkatkan Tegangan (Voltage) sedangkan Sel Surya yang dirangkai secara Paralel akan meningkatkan Arus (Current).



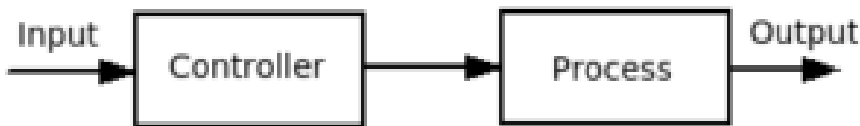
Gambar 2.5 Rangkaian seri dan parallel sel surya

2.3 Sistem Kontrol

Dalam setiap sistem selalu terbentuk sebuah siklus guna mencapai tujuan dari sistem tersebut. Sistem kontrol terbagi menjadi dua jenis siklus. Siklus yang pertama adalah sistem kontrol open loop dan yang kedua adalah sistem kontrol closed loop. Setiap siklus yang dibuat tergantung pada kebutuhan sistem tersebut. Pemilihan siklus yang benar akan mempengaruhi efektivitas dari sistem itu sendiri.

2.3.1 Sistem Kontrol Open Loop

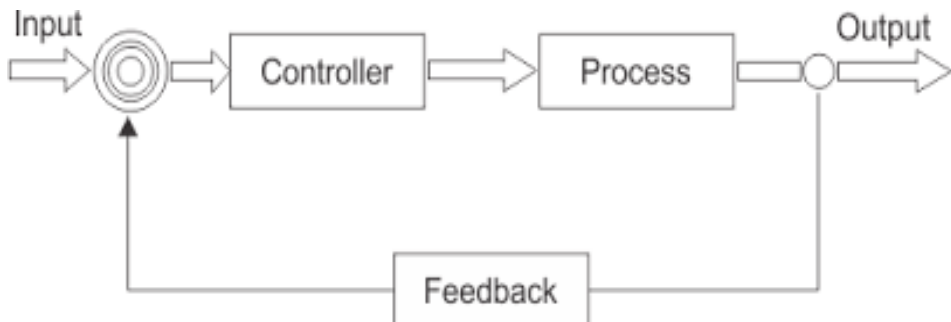
Sistem loop terbuka bersifat lebih sederhana dan ekonomis dibandingkan dengan sistem loop tertutup. Unsur dari sistem terbuka biasanya dapat dibagi menjadi dua bagian, yaitu pengontrol dan proses pengontrolan, ditunjukkan dari gambar Pengontrol diatas, tanda atau perintah disampaikan dari pengontrol, dimana keluarannya dinyatakan dengan output, kemudian kepada proses control output kan kepada proses control yang disebut control variable c akan membuat bentuk menurut standar yang ditentukan. [6]



Gambar 2.6 Sistem kontrol open-loop

2.3.2 Sistem Kontrol Close Loop

Apa yang tidak didapat dari sistem control terbuka untuk keakuratan dan penyesuaian adalah hubungan atau feedback dari output ke input sistem tersebut. Untuk menghasilkan control yang lebih akurat, pengontrolan sinyal sebanding dengan perbedaan input dan output yang dikirim melalui sistem yang benar. Sistem dengan satu atau lebih feedback yang digambarkan dibawah ini disebut dengan "sistem loop tertutup" [6].



Gambar 2.7 Sistem kontrol close-loop

2.4 Logika Fuzzy

Pada penggerjaan tugas akhir ini dilakukan simulasi desain menggunakan logika fuzzy dalam aplikasi Matlab. Logika fuzzy digunakan untuk menghasilkan data yang lebih stabil dan teratur. Hal tersebut dikarenakan sifat logika fuzzy yang menghasilkan efek blur atau menyamarkan.

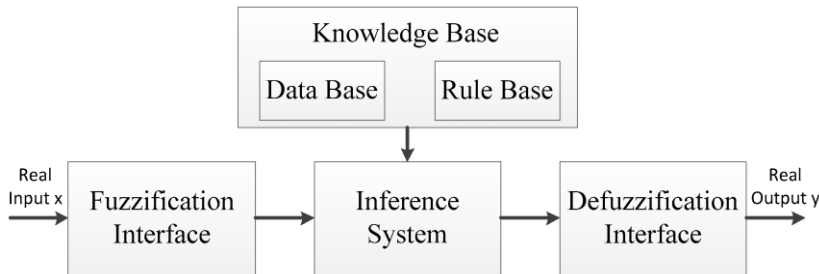
2.4.1 Pengertian Logika Fuzzy

Logika fuzzy diperkenalkan pertama kali pada tahun 1965 oleh Prof Lutfi A. Zadeh seorang peneliti di Universitas California di Barkley dalam bidang ilmu komputer. Logika fuzzy didefinisikan sebagai fungsi yang memetakan objek dalam domain yang berdasarkan nilai keanggotaan pada sebuah set. Logika ini menyediakan cara berbeda untuk mendekati nilai suatu kontrol ataupun melakukan klasifikasi masalah. Pada dasarnya, Logika Fuzzy (LF) adalah logika multivalve yang memungkinkan rentang nilai didefinisikan sebagai nilai antara evaluasi konvensional seperti *true/false*, *yes/no*, *high/low*, dll. Dugaan yang menyatakan agak tinggi atau sangat cepat dapat dirumuskan secara matematis dan diproses oleh computer menggunakan logika fuzzy [7]. Untuk menerapkan cara berpikir yang lebih mirip manusia dalam pemrograman komputer, professor Zadeh beranggapan logika benar salah tidak dapat mewakili setiap pemikiran manusia, kemudian dikembangkanlah logika fuzzy yang dapat mempresentasikan setiap keadaan atau mewakili pemikiran manusia. Perbedaan antara logika tegas dan logika fuzzy terletak pada keanggotaan elemen dalam suatu himpunan. Jika dalam logika tegas suatu elemen mempunyai dua pilihan yaitu terdapat dalam himpunan atau bernilai 1 yang berarti benar dan tidak pada himpunan atau bernilai 0 yang berarti salah. Sedangkan dalam logika fuzzy, keanggotaan elemen berada di interval [0-1].

Logika fuzzy menjadi alternatif dari berbagai sistem yang ada dalam pengambilan keputusan karena logika fuzzy mempunyai kelebihan sebagai berikut:

- a. Logika fuzzy memiliki konsep yang sangat sederhana sehingga mudah untuk dimengerti.
- b. Logika fuzzy sangat fleksibel, artinya mampu beradaptasi dengan perubahan-perubahan dan ketidakpastian.
- c. Logika fuzzy memiliki toleransi terhadap data yang tidak tepat.
- d. Logika fuzzy mampu mensistemkan fungsi-fungsi non-linier yang sangat kompleks.
- e. Logika fuzzy dapat mengaplikasikan pengalaman atau pengetahuan dari para pakar.
- f. Logika fuzzy dapat bekerjasama dengan teknik-teknik kendali secara konvensional.

Logika fuzzy didasarkan pada bahasa sehari-hari sehingga mudah dimengerti. Logika fuzzy memiliki beberapa komponen yang harus dipahami seperti himpunan fuzzy, fungsi keanggotaan, operator pada himpunan fuzzy, inferensi fuzzy dan defuzzifikasi.



Gambar 2.8 Sistem logika fuzzy

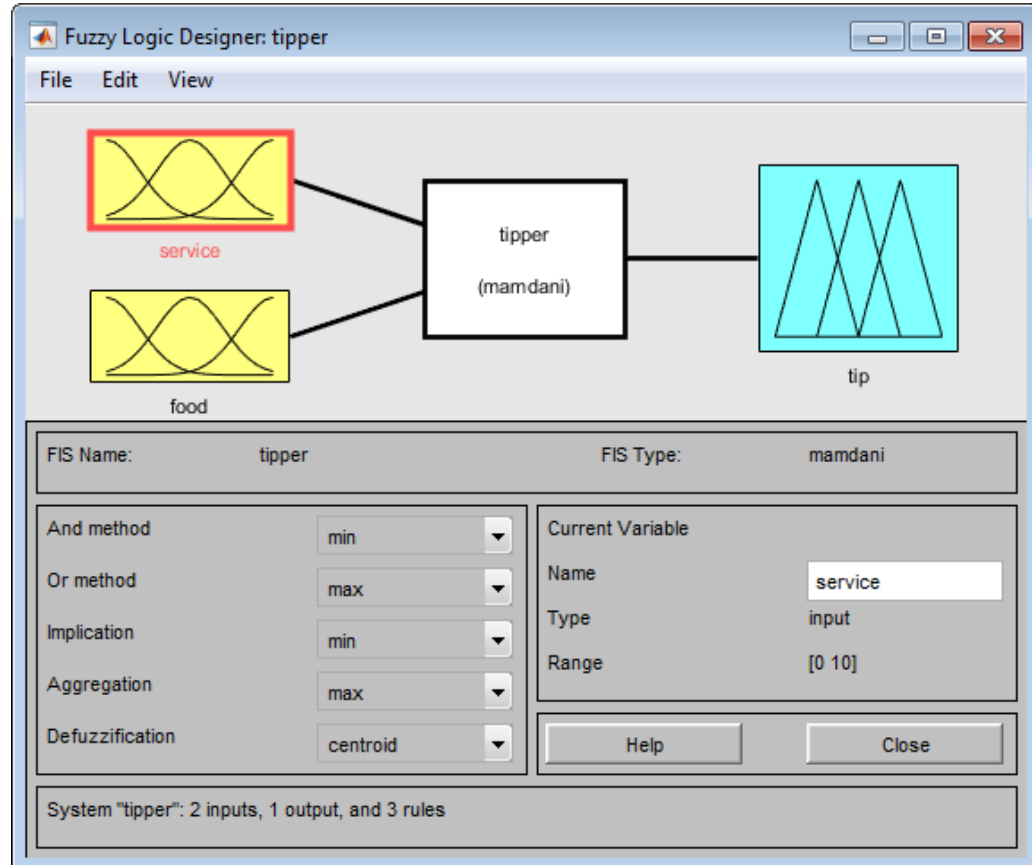
2.4.2 Toolbox Fuzzy pada Aplikasi MatLab

Matlab (Matrix Laboratory) merupakan perangkat lunak yang digunakan sebagai bahasa pemrograman tingkat tinggi. Matlab digunakan untuk komputasi, visualisasi dan pemrograman. Matlab telah digunakan oleh peneliti-peneliti dari berbagai wilayah di dunia. Sampai saat ini program-program pada matlab masih terus diperbaharui. Pemrograman pada Matlab sering digunakan untuk pengembangan algoritma matematika dan pengembangan, pensistem, simulasi dan prototype, analisis, eksplorasi dan visualisasi data, scientific dan engineering, pengembangan aplikasi berbasis grafik dan pembuatan Graphical User Interface(GUI).

Fuzzy Logic Toolbox adalah sekumpulan tool yang membantu dalam merancang model fuzzy untuk diaplikasikan dalam berbagai bidang. Fuzzy logic toolbox menyediakan lima tools untuk keperluan rancang bangun FIS [8]. Toolbox ini terbagi menjadi tiga bagian yakni bagian input, *rules* dan bagian output.

Dalam penggunaannya Fuzzy Logic Toolbox memerlukan beberapa inputan dan *rules* untuk menghasilkan data output. Input yang dimasukkan biasanya merupakan sebuah rentang data tertentu yang berupa angka sesuai dengan kebutuhan output yang diinginkan. Sedangkan *rules* digunakan untuk menentukan hasil output dengan cara melakukan pemilihan dan pemilihan data berdasarkan input yang telah diberikan sebelumnya. Pada *rules* Fuzzy Toolbox ini dimasukkan batasan-batasan yang digunakan untuk menentukan output, batasan-batasan tersebut berupa logika *if* dan *then*. Logika-logika ini nantinya yang akan melakukan pemilihan dan pemilihan data.

Bagian output dari Fuzzy Toolbox juga memerlukan rentang data yang berguna untuk memberikan masukan beberapa rentang data yang digunakan untuk hasil output dari logika fuzzy itu sendiri. Berbeda dengan data input, rentang data yang digunakan pada data output biasanya terbagi menjadi beberapa bagian sesuai yang diinginkan. Misalnya ada tiga jenis hasil output, maka harus dimasukkan tiga rentang data output sesuai dengan data-data output yang diinginkan.



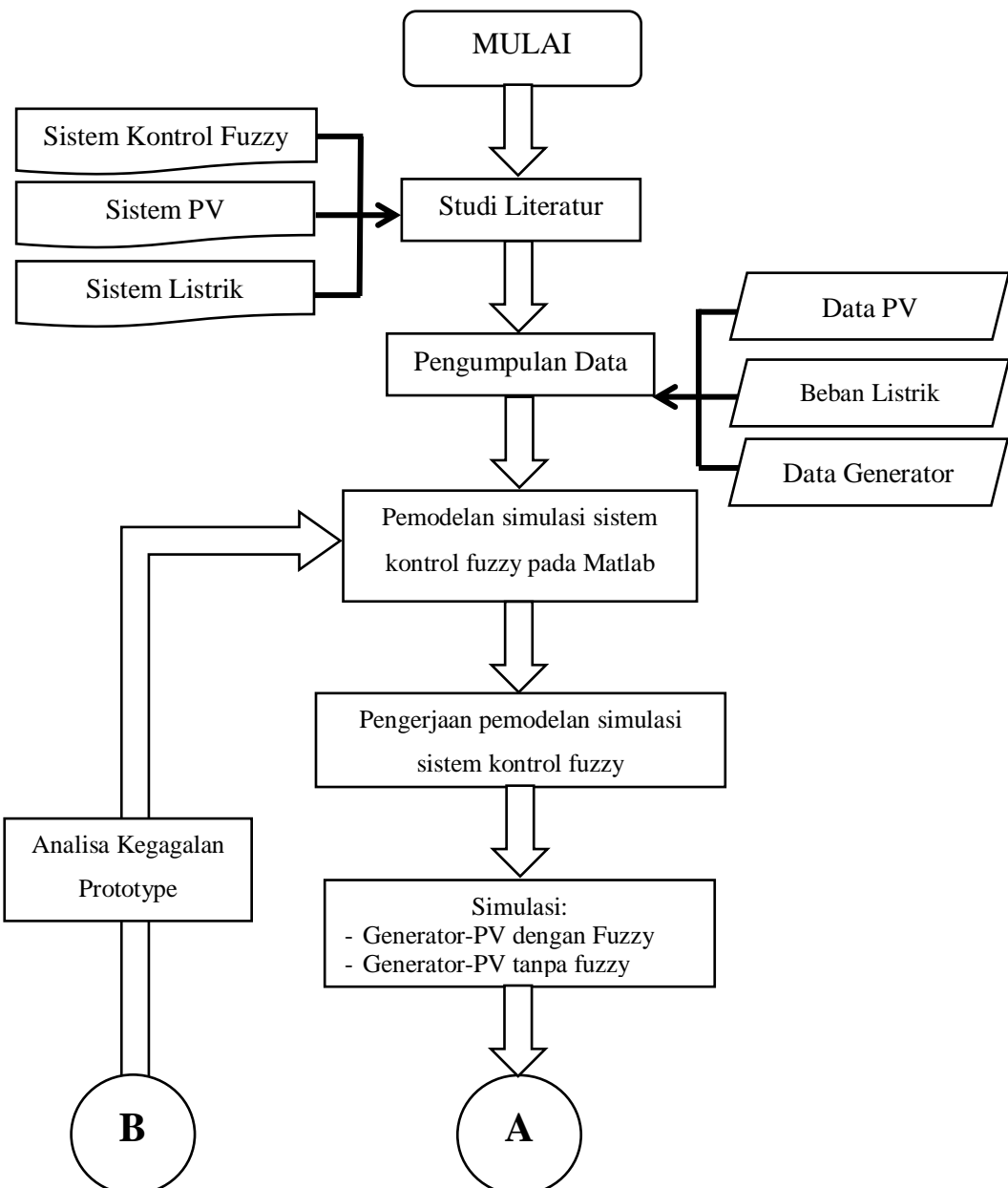
Gambar 2.9 Toolbox logika fuzzy pada MatLab

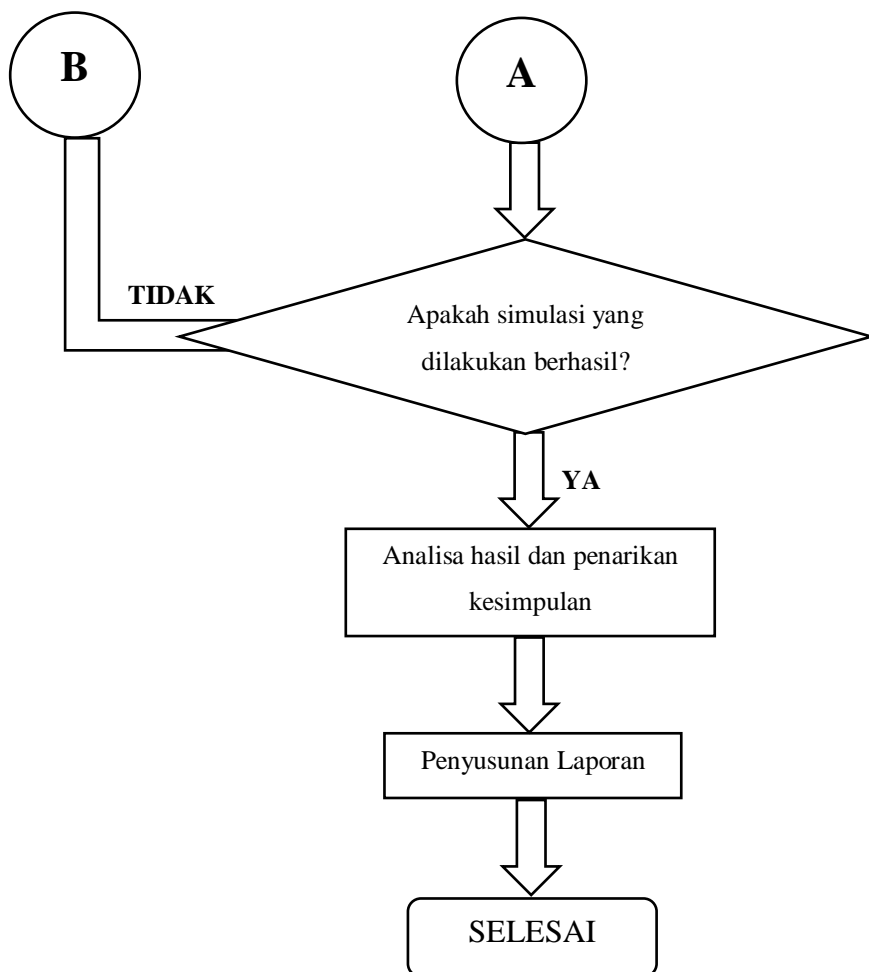
BAB III

METODOLOGI PENELITIAN

3.1. Metode Penelitian

Metode penelitian yang digunakan pada pengerojaan tugas akhir ini adalah sebagai berikut.





3.2. Prosedur Penelitian

Pada Gambar pada 3.1 ditunjukkan metode yang digunakan untuk perancangan pemodelan simulasi untuk sistem kontrol PV. Dan dalam perencanaan eksperimen ini menggunakan tahapan-tahapan penggerjaan sebagai berikut :

3.2.1 Studi Literatur

Studi literatur adalah tahap pengumpulan informasi dari beberapa referensi berupa buku atau hasil penelitian dengan judul yang berkaitan dengan:

- Sistem kontrol berbasis logika fuzzy
- Sistem PV
- Sistem Listrik

Dengan demikian diharapkan penulis dapat mengerjakan tugas akhir dengan metode yang tepat.

3.2.2 Pengumpulan Data

Data merupakan hal esensial yang harus ada dalam sebuah penelitian. Pada tahap ini akan dikumpulkan data-data yang diperlukan dalam pembuatan Prototype untuk penelitian ini. Setiap instalasi komponen pada kapal selalu diikuti oleh peraturan-peraturan class, sehingga peraturan-peraturan terkait sistem kelistrikan harus ada. Pada tahap ini akan dikumpulkan data-data sebagai berikut:

1. Penempatan PV yang diijinkan oleh class,
2. Data tentang sistem kelistrikan di kapal,
3. Jenis sistem kontrol yang harus diterapkan,
4. Dan lain lain.

3.2.3 Pemodelan simulasi pada *software MatLab*

Pada tahap ini akan dilakukan perancangan pemodelan sistem kontrol PV dengan merujuk pada teori-teori sistem PV dan kontrolnya pada kapal yang sesungguhnya serta data-data yang telah dikumpulkan sebelumnya. Pada tahap ini adalah tahap awal dalam penentuan hal-hal apa saja yang harus ada dan tidak harus ada pada permodelan sistem kontrol PV ini. Pemodelan ini nantinya akan menggunakan sistem kontrol logika fuzzy. Selain itu, pada tahap ini pula ditentukan sistem-sistem yang akan terkait dengan sistem kontrol PV ini dan apa pengaruhnya terhadap kedua belah sistem.

Pada tahap ini akan dilakukan pembuatan desain Logika Fuzzy yang akan digunakan. Desain ini harus merujuk pada teori-teori dasar serta acuan secara umum di bidang perkapanan dan sesuai dengan desain kapal MV.Aquila. Pada tahap ini pula ditentukan data-data yang akan dimasukkan pada model simulasi yang akan dibuat pada *software MatLab*.

3.2.4 Pengerjaan pemodelan simulasi sistem kontrol PV

Pengerjaan simulasi sistem kontrol PV menggunakan logika Fuzzy pada *software MatLab*. Pada tahap ini, sistem kontrol dibuat dan dikerjakan sesuai dengan rancangan yang telah ditentukan sebelumnya. Pengerjaan ini dilakukan dengan memasukkan keseluruhan data sesuai dengan pengelompokan bagiannya.

3.2.5 Simulasi

Pada tahap ini akan dilakukan simulasi, apakah pemodelan simulasi sistem kontrol PV ini mampu melakukan kontrol secara pintar pada saat paparan radiasi matahari yang tinggi maupun pada saat paparan radiasi matahari yang rendah. Apakah ada kesalahan desain logika sampai diatur yang di inginkan dan jika pemodelan simulasi otomasi sistem kontrol PV ini mampu sesuai keinginan, maka akan dilakukan analisa dari pembahasan.

Tahap ini dibagi menjadi dua kegiatan. Kegiatan pertama adalah melakukan simulasi pemodelan Generator – PV tanpa menggunakan sistem kontrol Fuzzy.

Sedangkan kegiatan yang kedua adalah simulasi pemodelan Generator – PV dengan menggunakan sistem kontrol Fuzzy.

3.2.6 Analisa kegagalan prototype

Pada tahap ini, prototype yang gagal maupun belum sempurna dilakukan analisa. Kegagalan prototype dapat disebabkan oleh kesalahan input logika fuzzy ataupun kesalahan input data dari PV maupun *irradiance*. Kesalahan-kesalahan ini nantinya dapat diperbaiki kemudian dilakukan *running* simulasi lagi.

3.2.7 Penyusunan Laporan

Tahap terakhir dari penulisan tugas akhir ini adalah penyusunan laporan, yaitu melaksanakan pembukuan terhadap seluruh data dan pengolahan data-data dalam bentuk laporan.

BAB IV

ANALISA DATA DAN PEMBAHASAN

4.1 Kapal Ferry “MV. Aquilla”

Penelitian pada tugas akhir ini, jenis kapal yang digunakan adalah kapal mini-ferry dengan rute Sungai Pasig, Manila. Kapal ini merupakan kapal yang pada desainnya menggunakan panel surya (*photovoltaic/PV*) yang dipasang pada area *rooftop* kapal. Pemasangan panel surya ini bertujuan untuk mengurangi penggunaan BBM (*fuel-oil*) yang digunakan sebagai bahan bakar generator kapal. Data spesifikasi umum dan sistem kelistrikan kapal yang dibahas pada tugas akhir ini seluruhnya mengacu pada sistem kelistrikan pada MV. Aquilla.



Gambar 4. 1 Kapal Ferry “MV. Aquilla”

Gambar 4.1 merupakan desain kapal MV. Aquilla dengan rute pelayaran Sungai Pasig, Manila. Berikut spesifikasi umum MV. Aquilla.

1. Data Utama Kapal

Data utama kapal ferry MV. Aquilla adalah sebagai berikut:

- a. Length Overall (Loa) : 25.37 meter
- b. Length of Waterline (Lwl) : 21.8 meter
- c. Breadth (moulded) : 7.0 meter
- d. Height : 2.8 meter
- e. Draught (operation) : 0.5 meter
- f. Block Coefficient (Cb) : 0.423
- g. Displacement : 32.43 ton
- h. Service Speed (Vs) : 12 knot
- i. Endurance : 24 hours

2. Estimasi *Lightweight*

Estimasi berat kosong atau *lightweight* dari kapal ferry MV. Aquilla adalah sebagai berikut:

- a. Konstruksi Lambung : 7.154 ton
- b. Outfittings : 2.855 ton
- c. Permesinan : 1.6 ton

3. Permesinan

Data permesinan beserta daya pada kapal ferry MV. Aquilla adalah sebagai berikut:

- a. Main Engine : 2 x 272 kW @3500 RPM
- b. Auxiliary Engine : 2 x 16 kW
- c. Emergency Generator : 3 kW

4. Akomodasi

Jenis-jenis akomodasi beserta jumlah yang dapat diangkut oleh kapal ferry MV. Aquilla adalah sebagai berikut:

- a. Penumpang : 106 orang
- b. Sepeda : 4 unit
- c. Kursi roda : 2 unit
- d. Stroller : 2 unit

4.2 Perhitungan Beban Listrik MV. Aquilla

Beban kelistrikan pada kapal ferry MV. Aquilla dihitung berdasarkan komponen-komponen listrik yang diinstal pada kapal tersebut. Besar beban listrik total pada kapal ini tergantung dari konsumsi daya listrik tiap komponen listrik. Pada kapal ferry MV. Aquilla ini beban listrik terbagi menjadi lima jenis beban yakni beban penerangan, peralatan elektronik, peralatan *air conditioner*, pompa dan peralatan navigasi dan komunikasi.

4.2.1 Beban Penerangan

Beban penerangan pada kapal ferry MV. Aquilla ini terbagi atas beban penerangan *main deck* dan beban penerangan *engine room*. Beban penerangan *main deck* terdiri dari penerangan ruang penumpang, toilet, *smoking room* dan *outside area*. Sedangkan beban penerangan untuk *engine room* terdiri atas penerangan dua kamar mesin. Berikut ini merupakan perhitungan dari tiap-tiap lokasi beban penerangan.

1. Main Deck

Tabel 4.1 Beban Penerangan Main Deck

	Ruang	N	Power	Stop
			(W)	contact (A)
1	Ruang Penumpang 1	10	100	3
2	Ruang Penumpang 2	10	100	3
3	Ruang Kemudi	3	30	1
4	Toilet 1	1	10	
5	Toilet 2	1	10	
6	Smoking Room	1	10	1
7	Outside Area Back 1	2	20	
8	Outside Area Back 2	2	20	
9	Outside Area Front 1	2	20	
10	Outside Area Front 2	2	20	
Total		34	340	8
P Stop Contact				2816

Jumlah titik beban = 40

$$\begin{aligned}
 \text{Total Daya} &= \text{Daya Lampu} + \text{Daya Stop Kontak} \\
 &= 340 + 2816 \\
 &= 3156 \text{ Watt} \\
 &= 3,16 \text{ kW}
 \end{aligned}$$

2. Engine Room

Tabel 4.2 Beban Penerangan Engine Room

NO.	Ruang	N	Power	Stop
			(W)	contact (A)
1	Ruang Mesin 1	1	10	1
2	Ruang Mesin 2	1	10	1
Total		2	20	2
P stop contact				704

Jumlah Titik Beban = 40

$$\begin{aligned}
 \text{Total Daya} &= \text{Daya Lampu} + \text{Daya Stop Kontak} \\
 &= 20 + 704 \\
 &= 724 \text{ Watt} \quad = 0,72 \text{ kW}
 \end{aligned}$$

4.2.2 Peralatan Elektronik

Beberapa peralatan elektronik dipasang pada kapal ferry MV. Aquilla untuk menunjang pengoperasian kapal tersebut. Peralatan-peralatan elektronik pada MV. Aquilla beserta spesifikasinya adalah sebagai berikut:

1. TV
Samsung 40" Full HD Flat TV H5003 Series 5
Power : 140 Watt = 0.14 kW
2. Drink Cooler
Showcase Polytron SCN-180L
Power : 190 Watt = 0.19 kW

4.2.3 Peralatan AC

Kapal ferry MV. Aquilla tidak menggunakan pendingin ruangan terpusat (*AC central*) sebagai fasilitas pendingin ruangannya. Maka dari itu pada MV. Aquilla dipasang AC sesuai kebutuhan ruangan. Kebutuhan AC dan daya yang dibutuhkan oleh AC tersebut adalah sebagai berikut:

Tabel 4.3 Kebutuhan AC pada tiap ruangan

Ruangan	Joule	Watt	PK	kW	Btu
Penumpang 1	6,7E+07	18635	6,36	4,7452	17,66286
Penumpang 2	5,5E+07	15385	5,25	3,9176	14,58214
Smoking Room	2858779	794,11	0,27	0,2022	0,752667
Kemudi	6887405	1913,2	0,65	0,4872	1,813333
			Total	9,352	kW

Dari perhitungan di atas dapat ditentukan kebutuhan AC:

- 11 AC dengan daya 1 PK
- 1 AC dengan daya 0.75 PK
- 1 AC dengan daya 0.5 PK

1. AC dengan 1 PK

AKARI – 1 PK Air Conditioner AC0910PLWI

Power = 710 Watt

$$\begin{aligned} \text{Power total} &= 710 \times 11 = 7810 \text{ Watt} \\ &= 7.81 \text{ kW} \end{aligned}$$

2. AC dengan 0.75 PK

CHANGHONG CSC07NVB

Power = 680 Watt = 0.68 kW

3. AC dengan 0.5 PK

AKARI – AC-0568GLW

Power = 409 Watt = 0.41 Kw

4.2.4 Pompa

Pompa memiliki beberapa jenis berdasarkan fungsinya. Fungsi dari pompa tersebut tergantung oleh kebutuhan untuk penggunaannya. Pompa yang digunakan pada kapal ferry MV. Aquilla terbagi menjadi tiga jenis, yakni pompa bilga, pompa *sewage* dan pompa *freshwater*.

Pompa bilga digunakan untuk melakukan penyedotan jika terjadi rembesan air pada kapal ataupun ketika ada tubrukan yang mengakibatkan kebocoran di kapal. Pompa ini digunakan pada saat *emergency*. Berbeda dengan pompa bilga, pompa *sewage* dipergunakan untuk melakukan penyedotan guna mengeluarkan tampungan kotoran yang berasal dari toilet ataupun kamar mandi. Penggunaan pompa ini hanya terbatas pada saat kapal sandar dan melakukan pengurasan tangki *sewage*. Sedangkan pompa *freshwater* seperti namanya digunakan untuk melakukan pemompaan untuk tempat-tempat yang membutuhkan suplai air tawar. Air tawar ini biasanya dipompa menuju ke toilet maupun kamar mandi untuk sanitasi atau bisa juga dipompa untuk sistem pendinginan mesin utama kapal.

Tabel berikut ini merupakan macam-macam pompa beserta spesifikasi dan daya yang dibutuhkan.

Tabel 4.4 Pompa dan Spesifikasinya

No	Item	Brand	Power (W)	Quantity	Total (W)
1	Bilge Pump	Rule 360	250	2	500
2	Sewage Pump	Jabsco Macerator	200	2	400
3	Fresh Water Pump	Jabsco Par Max 1.9	125	2	250
Total					1150

4.2.5 Peralatan Navigasi dan Komunikasi

Setiap kapal memerlukan alat navigasi dan komunikasi untuk melakukan pelayaran. Begitu pula pada kapal ferry MV. Aquilla. Kapal ini memerlukan peralatan navigasi untuk memetakan daerah pelayaran yang sesuai dengan standar A1. Selain itu, kapal ini juga memerlukan peralatan komunikasi untuk melakukan komunikasi baik dengan pihak internal maupun eksternal kapal. Kapal MV. Aquilla harus dilengkapi dengan alat komunikasi eksternal agar kapal dapat berkomunikasi dengan pihak syahbandar ataupun kapal-kapal yang berada di dekat kapal ini. Hal tersebut dimaksudkan agar tidak terjadi kesalahan dalam pelayaran maupun tubrukan kapal. Peralatan navigasi dan komunikasi pada kapal ini dapat dilihat pada Tabel 4.5.

Tabel 4.5 Peralatan Navigasi dan Komunikasi

No	Item	Brand	Power (W)	Quantity	Total (W)
1	VHF radio	Furuno - FM8900S	25	1	25
2	Navtex receiver	Furuno - NX 700B	16,8	1	16,8
3	Intercom	Furuno - LH 300	30	3	90
4	GPS	JRC-JLR7900	2,5	1	2,5
5	Magnetik Compass	RS422	7	2	14
6	Gyro Compass	ALPHAMINICOURSE	50	1	50
7	Horn	FIAMM- AM80SMARINE	54	1	54
8	MastHead Light225°	Nippon - NAMH 221	60	2	120
9	Side Light green112,5°	Nippon - NAGS 221	60	1	60
10	Side Light red 112,5°	Nippon - NAGS 221	60	1	60
11	Stern Light 135°	Nippon - NAST 221	40	1	40
12	Towing light 135°	Nippon - NATW221	40	1	40
13	Flame Detector	SST - F120	5,52	1	5,52
14	Smoke Detector	NOVA-5000-S250	0,704	4	2,816
15	Alarm (motor Siren)	E2S - MA121	22,8	2	45,6
16	Loud hailer	Furuno - LH3000	60	2	120
Total					746,236

$$\begin{aligned} \text{Total Power} &= 746,236 \quad \text{Watt} \\ &= 0,75 \quad \text{kW} \end{aligned}$$

4.2.6 Beban Total

Berdasarkan perhitungan beban-beban sebelumnya dan dikalikan dengan load factor, maka diperoleh beban total sebesar :

$$\text{Beban Total} = 11.82 \text{ kW}$$

4.3 Photovoltaic



Gambar 4.2 Panel Surya (*Photovoltaic*)

Photovoltaic atau yang biasa disebut dengan panel surya merupakan sumber energi alternatif. *Photovoltaic* atau PV pada tugas akhir ini digunakan sebagai energi alternatif yang berfungsi untuk mengurangi kerja generator. Energi yang dihasilkan dari PV nantinya difungsikan untuk mengurangi jumlah beban kelistrikan yang mana akan berpengaruh pada kinerja generator.

PV yang digunakan pada tugas akhir ini sebesar 200 WP dengan tegangan 28.9 V. Untuk lebih jelasnya, berikut data utama PV yang digunakan pada tugas akhir ini:

SURANA SVL – 200 Polycrystalline PV Module

- Nominal Power : 200 W
- Solar cells per module : 60
- Max System Voltage : 1000 VDC
- L x W x T : 1660 x 990 x 42

4.4 Generator

Generator atau yang biasa disebut dengan genset merupakan komponen penting dalam sistem kelistrikan kapal. Generator merupakan salah satu pemasok daya yang digunakan untuk menghidupkan peralatan-peralatan listrik di kapal. Daya yang dihasilkan dari generator bervariasi tergantung dari spesifikasi generator tersebut.

Kapal ferry MV. Aquilla menggunakan generator yang diparalelkan dengan PV sebagai sumber listriknya. Generator yang digunakan pada kapal ini adalah sebagai berikut:

TEKSAN TJ20BD5A

- kVA : 18 kVA
- kW : 14 kW
- SFOC 100% : 4,38 lt/hr
- Jumlah fasa : 3
- Frekuensi : 50 Hz
- VAC : 230/400 V



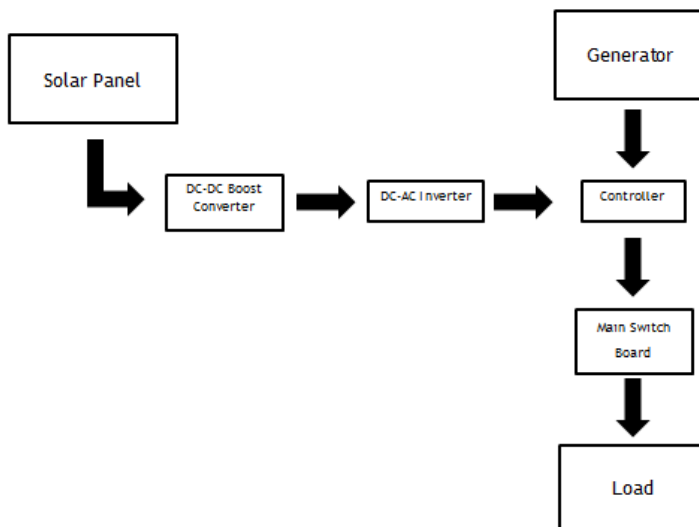
Gambar 4.3 Diesel Generator Set TEKSAN TJ22RY5C

4.5 Perangkaian Simulasi dan Logika Fuzzy

Dalam perangkaian simulasi, sistem yang dijalankan secara manual akan diubah menjadi sistem yang dijalankan secara sekuensial atau bertahap. Perangkaian simulasi ini dimulai dari penentuan dan pembuatan model. Pembuatan model ini ditujukan untuk mendapatkan input yang mendekati aslinya. Kemudian dilanjutkan dengan perangkaian komponen-komponen simulasi.

Pada simulasi tugas akhir ini, komponen-komponen simulasi yang dipergunakan ialah generator, beban dan panel surya PV. Ketiga komponen tersebut dihubungkan dan disimulasikan menggunakan logika fuzzy. Komponen-komponen yang digunakan pada simulasi ini harus ditentukan berdasarkan desain yang telah dibuat sebelumnya pada kapal ferry MV. Aquilla.

Penggabungan komponen dengan logika fuzzy dalam simulasi ini difungsikan untuk mendapatkan output berdasarkan nilai acak dan dari simulasi yang dijalankan. Nilai acak tersebut digunakan untuk pemodelan beban kapal MV. Aquilla, sedangkan untuk nilai daya PV tidak didapatkan dengan nilai acak melainkan dari hasil simulasi pemodelan PV.



Gambar 4.4 Blok diagram simulasi PV

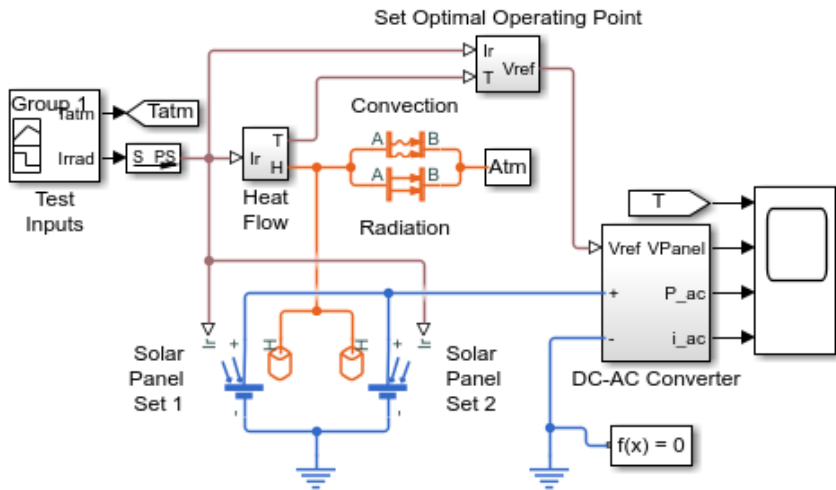
Perangkaian simulasi dimulai dengan pemodelan PV. Hasil output dari pemodelan PV kemudian digunakan untuk input pada pemodelan simulasi selanjutnya. Simulasi lanjutan ini menggabungkan antara PV, beban acak kapal dan daya generator yang disimulasikan dengan logika fuzzy.

4.5.1 Pemodelan Panel Surya (PV)

Pemodelan panel surya atau PV yang digunakan pada simulasi tugas akhir ini difungsikan untuk mendapatkan nilai daya output yang dihasilkan oleh PV tersebut. Daya ini nantinya akan digunakan sebagai faktor pengurang beban listrik yang digunakan pada kapal MV. Aquilla. PV yang digunakan pada kapal MV. Aquilla sebanyak 60 buah yang dibagi menjadi 2 bagian dengan terhubung seri.

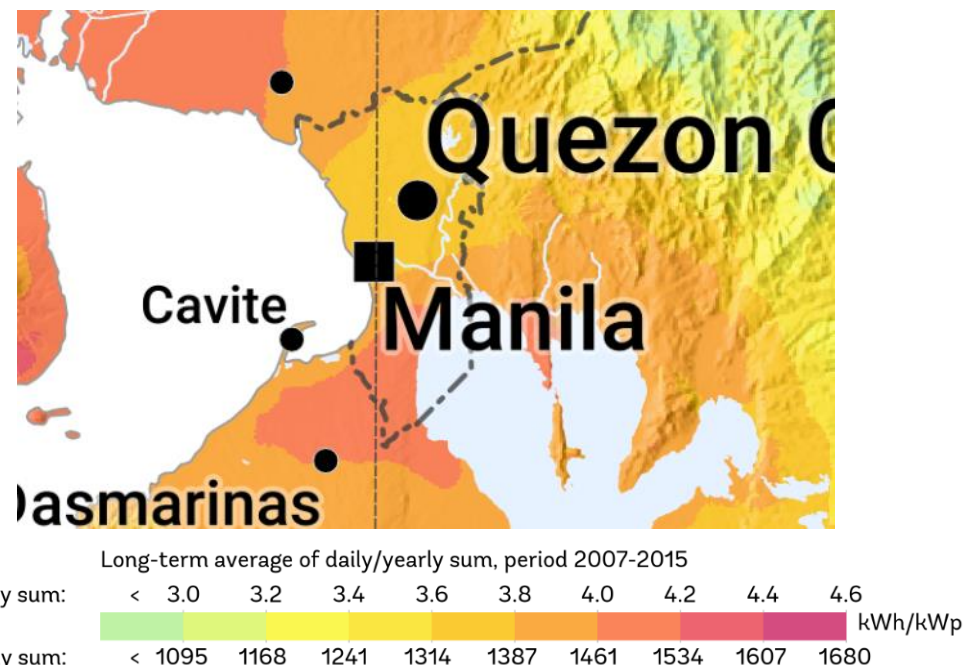
PV yang dipasang pada pemodelan ini nantinya akan bergantung pada temperature dan *irradiance* pada area dimana dia di fungsikan. Hal tersebut dikarenakan temperatur dan *irradiance* merupakan faktor utama dalam konversi energi cahaya ke energi listrik. Pemodelan PV secara lengkapnya dapat dilihat pada Gambar 4.5.

Pada pemodelan PV ini telah dilengkapi dengan DC-AC converter. Converter ini disebut juga dengan inverter. Converter ini berfungsi untuk mengubah arus yang awalnya DC dari PV menjadi arus AC. Perubahan ini berfungsi untuk menyesuaikan arus yang menuju ke *Main Switch Board* (MSB) agar dapat digabungkan dengan arus listrik dari generator. Selain mengubah arus dari DC ke AC, converter ini juga menyesuaikan frekuensi dan voltase sesuai dengan frekuensi dan voltase dari generator. Hal ini berfungsi agar PV dan generator dapat di parallekan.



Gambar 4.5 Pemodelan simulasi PV

Dalam pemodelan ini, dibutuhkan beberapa hal yang digunakan untuk nilai input. Beberapa hal yang dibutuhkan diantaranya adalah seperti yang telah dijelaskan sebelumnya yakni temperatur dan *irradiance* pada daerah yang disimulasikan. Data dan temperatur di daerah Sungai Pasig, Manila ditunjukkan pada Gambar 4.6 dan Gambar 4.7. Data ini diambil pada bulan April dimana masih termasuk musim panas dengan temperatur dan *irradiance* maksimal dari daerah tersebut.

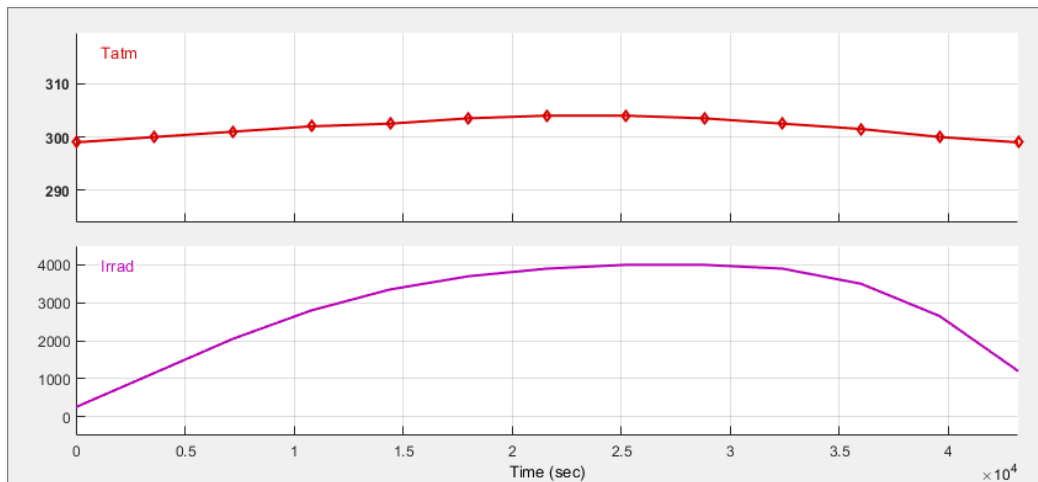
Gambar 4.6 Peta *irradiance* Sungai Pasig, Manila

Daerah yang di simulasikan, yakni Sungai Pasig, Manila memiliki rentang *irradiance* antara 3,6 hingga 4,0 kWh/kWp dalam satu hari seperti yang dapat dilihat pada Gambar 4.6. Nilai inilah yang akan dijadikan input pada simulasi pemodelan PV. *Irradiance* merupakan nilai utama yang menentukan besar kecilnya daya yang dihasilkan oleh PV, sehingga semakin besar nilai *irradiance* maka semakin besar pula daya yang dihasilkan. Biasanya semakin besar nilai *irradiance* suatu daerah maka akan berbanding lurus terhadap temperature daerah tersebut. Namun, semakin tinggi temperature akan mengurangi efektifitas dari *irradiance* daerah tersebut sehingga daya yang dihasilkan oleh PV juga akan berkurang.



Gambar 4.7 Kondisi temperature Sungai Pasig, Manila

Berdasarkan data pada Gambar 4.7, nilai temperatur siang hari di daerah Sungai Pasig, Manila berada pada rentang 28 hingga 32 derajat Celsius. Pada simulasi PV tinggi-rendah temperature berpengaruh terhadap pengurangan daya yang dihasilkan oleh PV. Sehingga semakin tinggi temperatur pada area tersebut, maka daya yang dihasilkan oleh PV akan semakin kecil.



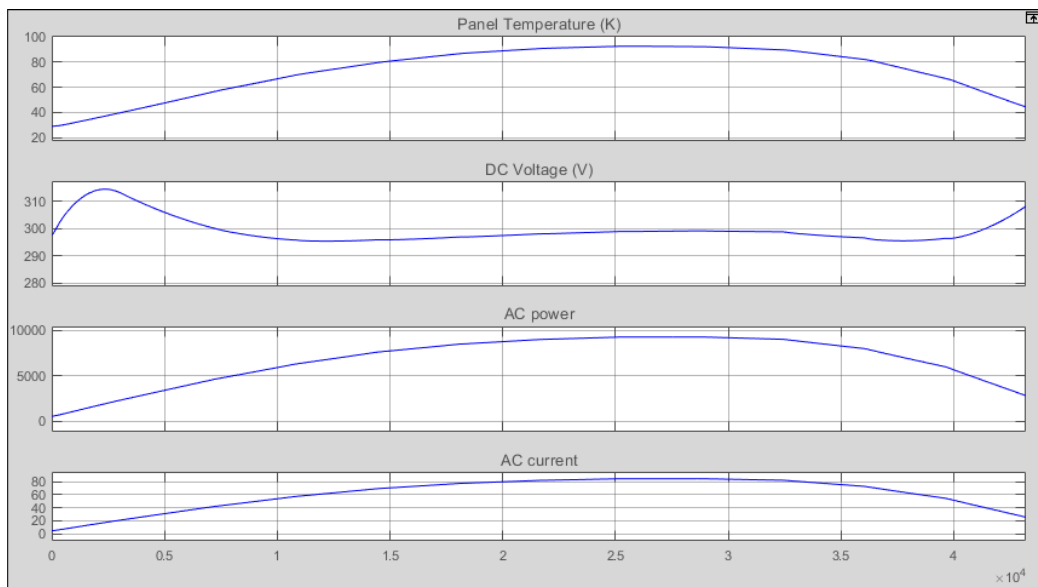
Gambar 4.8 Input temperature dan *irradiance*

Gambar 4.8 menunjukkan bentuk masukan (*input*) data untuk simulasi pemodelan PV. Masukan data pada PV ini berupa temperatur dan *irradiance*. Pada input *irradiance* dibuat skala 1: 1000, maka nilai input *irradiance* berada pada rentang 0-4000 pada area input. Input temperatur tidak menggunakan skala namun temperatur udara sekitar yang didapat dalam satuan Celcius harus dikonversikan atau diubah terlebih dahulu menjadi temperatur dalam Kelvin. Sehingga temperatur input berada pada rentang 301- 305 derajat Kelvin.

Setiap titik input ini disesuaikan dengan waktu keluar hingga terbenamnya matahari. Panjang waktu pemodelan ini diasumsikan sepanjang 12 jam terhitung dari pukul 5 pagi hingga pukul 5 sore (05.00 – 17.00). Data ini diatur perjamnya sehingga terbagi atas 12 rentang waktu. Rentang waktu ini lah yang menjadi patokan atau acuan dalam input data.

4.5.2 Hasil Pemodelan Panel Surya (PV)

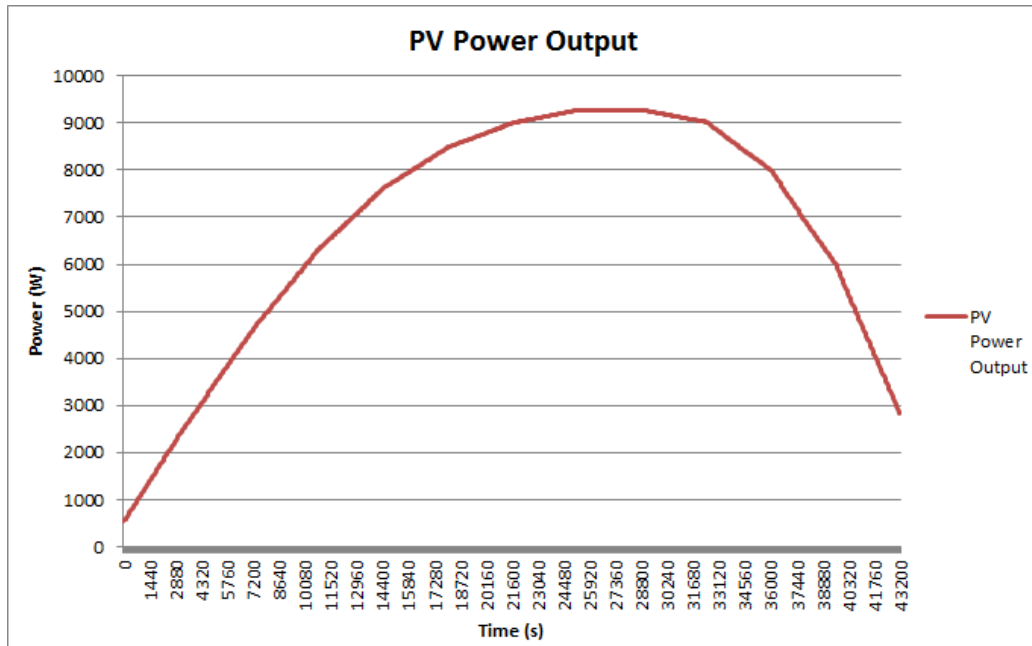
Pada pemodelan PV telah dijelaskan bahwa temperatur dan *irradiance* mempengaruhi hasil output PV yang berupa daya. Daya output ini akan semakin besar bergantung dari besarnya *irradiance* dengan suhu yang rendah. Semakin rendah suhu udara sekitar, maka akan semakin tinggi daya yang dihasilkan.



Gambar 4.9 Output simulasi PV

Gambar 4.9 menunjukkan grafik output yang dihasilkan oleh simulasi PV. Terdapat 4 grafik yang berbeda pada gambar tersebut. Grafik pertama menunjukkan temperatur yang di alami oleh PV setelah diberi input seperti pada Gambar 4.8. Temperatur yang ditunjukkan berbanding lurus dengan input yang diberikan. Grafik kedua pada gambar ini menunjukkan tegangan DC yang dihasilkan oleh PV. Pada gambar terlihat bahwa tegangan DC berbanding terbalik dengan temperatur, semakin besar temperatur PV, maka tegangan DC yang dihasilkan akan berkurang. Grafik yang ketiga menunjukkan daya yang dihasilkan oleh PV. Nilai daya yang dihasilkan oleh PV adalah sebesar 550-9277 W. Daya yang dihasilkan ini sudah berupa daya AC karena output yang dihasilkan oleh PV sudah melalui inverter (converter DC-AC) yang mengubah dari bentuk tegangan DC ke bentuk tegangan AC. Pada grafik yang keempat ditunjukkan arus AC yang dihasilkan oleh PV, arus ini berada pada rentang nilai 10-80 Ampere.

Hasil dari pemodelan PV nantinya akan digunakan sebagai input untuk simulasi fuzzy. Data yang dibutuhkan untuk simulasi tersebut berupa daya yang dihasilkan PV dan rentang daya dari yang terendah hingga yang tertinggi. Daya dari PV ini nantinya akan dijadikan faktor pengurang kerja generator sehingga nantinya dapat melakukan penghematan bahan bakar.



Gambar 4.10 Grafik hasil pemodelan PV

4.5.3 Pemodelan Fuzzy

Fuzzy merupakan sistem kontrol yang digunakan terhadap PV dan generator pada kapal ferry MV. Aquilla. Sistem kontrol fuzzy ini menggunakan sebuah aturan yang biasa disebut dengan logika fuzzy. Logika ini berfungsi untuk mengatur besar kecilnya porsi yang digunakan sebagai acuan hasil output.

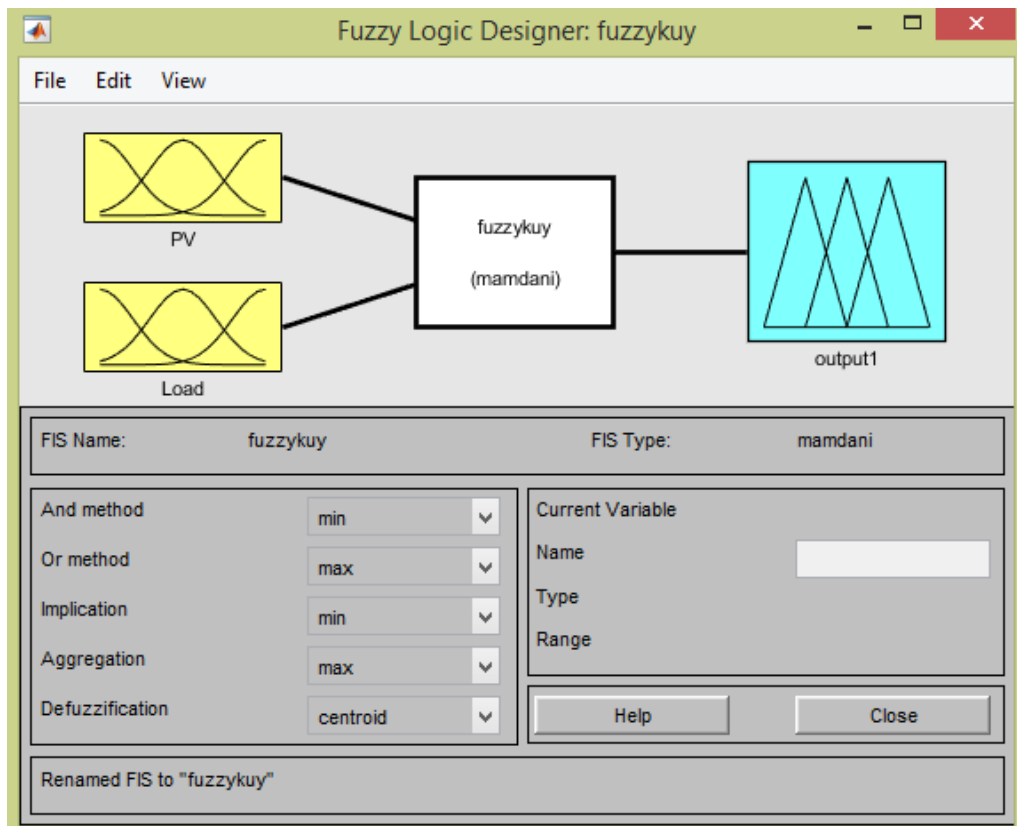
Pada dasarnya sistem kontrol fuzzy ini terdiri atas tiga bagian, yakni bagian input, bagian output dan sistem peraturan (*rules*). Ketiga bagian ini memiliki peran dan fungsinya masing-masing. Bagian pertama yakni input seperti namanya berfungsi untuk memberikan acuan input berupa data-data yang merupakan data-data utama pada sistem kontrol. Selanjutnya adalah bagian kedua yakni bagian output yang merupakan rentang dan batasan dalam menentukan hasil keluaran (*output*) dari sistem kontrol ini. Dan yang terakhir adalah *rules*. *Rules* berfungsi sebagai otak dari sistem kontrol ini. Pada *rules* berisi logika-logika, berupa logika *if*, yang mana menentukan besar kecilnya porsi yang menjadi acuan hasil output.

Pemodelan fuzzy ini dibutuhkan sebagai salah satu media untuk melakukan simulasi sistem kontrol fuzzy. Ada 2 komponen penting yang harus disiapkan sebelum membuat pemodelan fuzzy ini. Yang pertama adalah beban listrik, dan kemudian adalah daya keluaran PV. Kedua komponen tersebut memiliki peran dan fungsi yang sama yakni adalah sebagai data input pada pemodelan fuzzy ini.

Dalam melakukan pemasukan/penginputan data, data harus berupa rentang angka dari yang terendah ke yang tertinggi. Rentang data ini nantinya akan dibagi menjadi beberapa bagian tergantung oleh keinginan masing-masing. Namun semakin banyak rentang data yang dimasukkan maka hasil output akan

lebih detail dan rinci. Pada pemodelan kali ini, masing-masing rentang data dibagi menjadi 9 bagian.

Dalam pemodelan fuzzy kali ini dua input, satu output dan 81 *rules*. Pemodelan ini dikerjakan pada toolbox kerja fuzzy dalam aplikasi Matlab. Cara membuka toolbox ini cukup mudah yakni dengan melakukan pemanggilan “fuzzy” pada home page aplikasi Matlab itu sendiri.

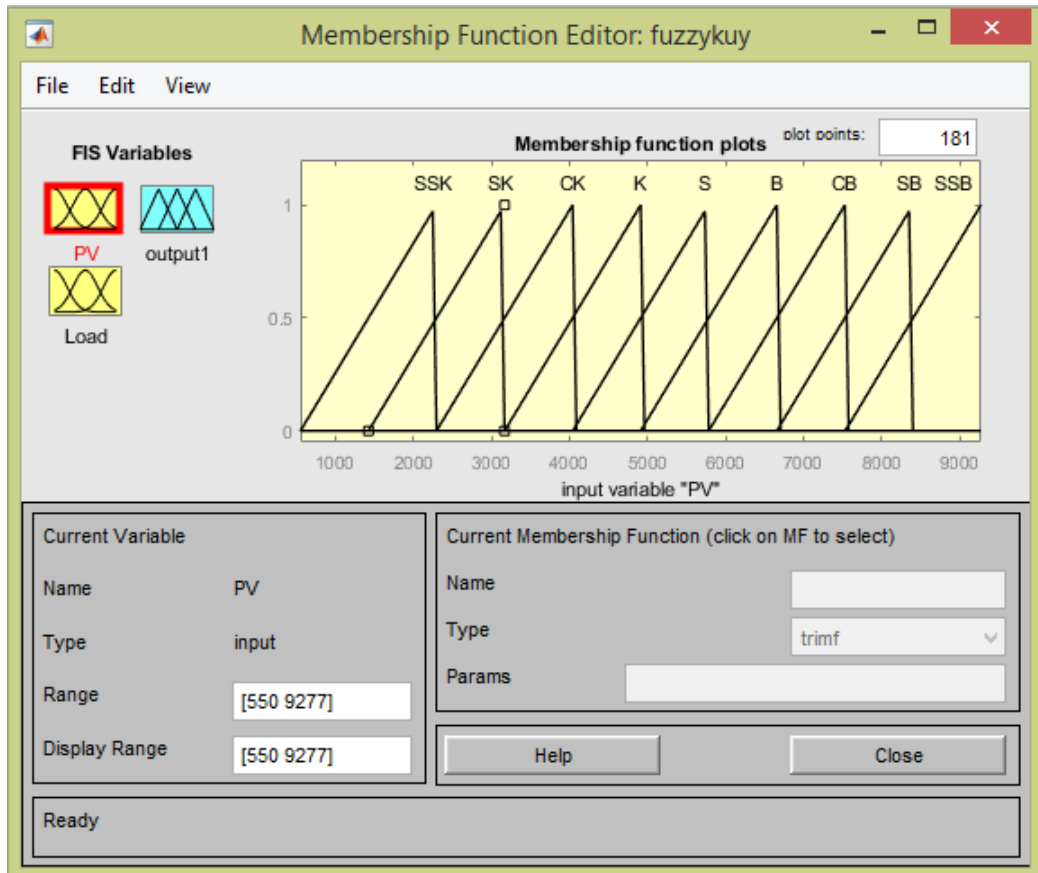


Gambar 4.11 Pemodelan Fuzzy

1. Input PV

Seperti yang telah dijelaskan di atas bahwa pemodelan fuzzy ini dibagi menjadi lima kategori. Pembagian kelima kategori tersebut adalah Sangat Sangat Kecil (SSK), Sangat Kecil (SK), Cukup Kecil (CK), Kecil (K), Sedang (S), Besar (B), Cukup Besar (CB), Sangat Besar (SB) dan Sangat Sangat Besar (SSB). Dua bagian dari pemodelan fuzzy menggunakan lima kategori ini yakni pada bagian input dan output, sedangkan untuk *rules*, kelima kategori ini hanya berfungsi sebagai acuan saja.

Besar daya keluaran PV dapat dilihat dari hasil simulasi pemodelan PV sebelumnya. Nilai yang didapat berkisar di antara 550-9277 W. Maka dari itu hasil tersebut digunakan sebagai input untuk pemodelan fuzzy.



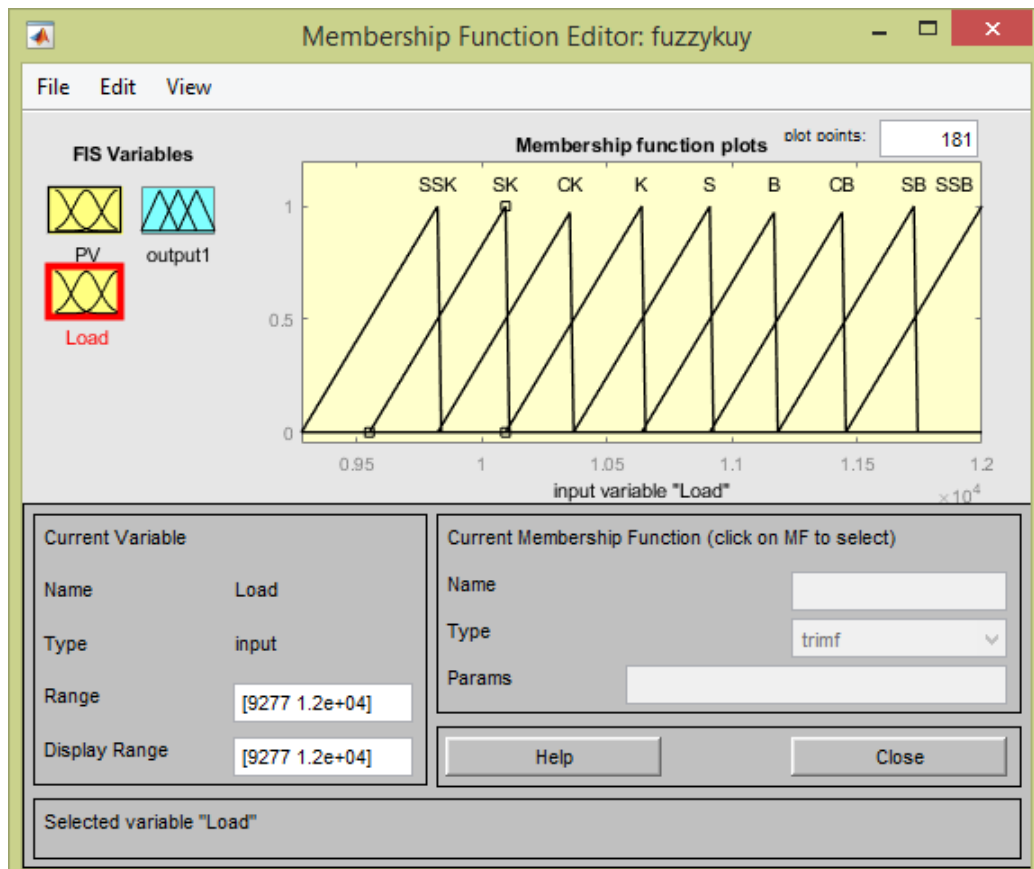
Gambar 4.12 Input daya PV pada pemodelan fuzzy

Sesuai dengan penjelasan di atas bahwa input fuzzy harus terdiri dari 9 kategori. Oleh karena itu, maka daya PV yang digunakan sebagai input pemodelan juga dibagi menjadi 9 bagian seperti pada Gambar 4.12. Rincian pembagian data input adalah sebagai berikut:

- Sangat Sangat Kecil = [550 2295 2295]
- Sangat Kecil = [1423 3168 3168]
- Kecil = [2295 4041 4041]
- Cukup Kecil = [3168 4913.5 4913.5]
- Sedang = [4041 5786 5786]
- Besar = [4913.5 6659 6659]
- Cukup Besar = [5786 7532 7532]
- Sangat Besar = [6659 8404 8404]
- Sangat Sangat Besar = [7532 9277 9277]

2. Input Beban (Load)

Beban listrik total dari MV Aquilla didapatkan sebesar 15,005 kW sesuai dengan data perhitungan pada Bagian 4.13. Maka dengan data tersebut dapat diasumsikan penggunaan beban terendah sebesar 9,2 kW dan penggunaan beban terbesar sebesar 12 kW. Maka beban listrik kapal dapat dicari pada rentang 9,2 – 12 kW. Nilai tersebut digunakan dalam input beban acak pada fuzzy.



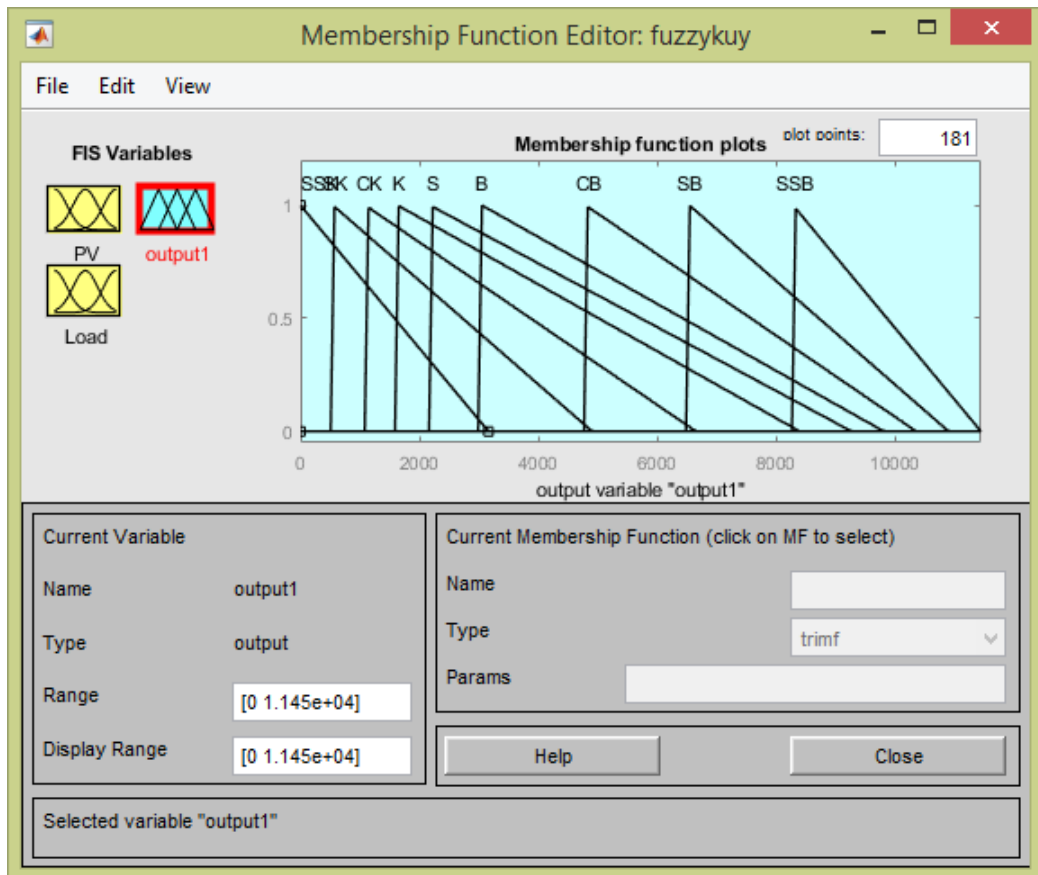
Gambar 4.13 Input beban pada pemodelan fuzzy

Sesuai dengan penjelasan di atas bahwa input fuzzy harus terdiri dari 9 kategori. Oleh karena itu, maka beban kelistrkan kapal yang digunakan sebagai input pemodelan juga dibagi menjadi 9 bagian seperti pada Gambar 4.13. Rincian pembagian data input adalah sebagai berikut:

- Sangat Sangat Kecil = [9277 9822 9822]
- Sangat Kecil = [9549 10094 10094]
- Kecil = [9822 10366 10366]
- Cukup Kecil = [10094 10638.5 10638.5]
- Sedang = [10366 10911 10911]
- Besar = [10638.5 11183 11183]
- Cukup Besar = [10911 11455 11455]

- Sangat Besar = [11183 11728 11728]
- Sangat Sangat Besar = [11455 12000 12000]

3. Output Fuzzy



Gambar 4.14 Pemodelan output fuzzy

Setelah dilakukan input maka dilakukan pengaturan logika pada pemodelan fuzzy ini. Hal ini dimaksudkan untuk menentukan rentang output dan penempatannya. Pengaturan logika itu sendiri dapat dilihat pada Tabel 4.6. dengan asumsi Load dikurangi dengan daya output PV.

Output fuzzy didapatkan dari selisih besarnya beban listrik kapal yang diasumsikan dikurangi dengan daya hasil PV. Angka-angka tersebutlah yang dijadikan angka masukan untuk output fuzzy ini. Sesuai dengan penjelasan bahwa input fuzzy harus terdiri dari 9 kategori, maka nilai output pada fuzzy juga harus dibagi menjadi 9 bagian seperti pada Gambar 4.14 dengan rincian:

- Sangat Sangat Kecil = [0 0 3163]
- Sangat Kecil = [545 545 4908]
- Kecil = [1089 1089 6653.5]
- Cukup Kecil = [1634 1634 8399]
- Sedang = [2178 2178 9272]
- Besar = [3051 3051 9816]
- Cukup Besar = [4796.5 4796.5 10361]
- Sangat Besar = [6542 6542 10905]
- Sangat Sangat Besar = [8287 8287 11450]

Penggunaan sistem fuzzy seperti yang telah dijelaskan sebelumnya membutuhkan masukan berupa *rules* yang akan mengatur hasil output yang dihasilkan oleh logika fuzzy tersebut. *Rules* ini akan mengatur porsi output yang dihasilkan oleh pemodelan fuzzy. *Rules* yang merupakan otak dari sistem kontrol fuzzy ini diberi masukan berupa logika-logika fuzzy.

Pada permodelan fuzzy ini, sebanyak 81 *rules* digunakan untuk mengatur hasil outputnya. Input *rules* yang diberikan ditentukan dengan rumusan seperti pada Tabel 4.6. Input *rules* ini nantinya akan diubah menjadi bentuk logika *if*.

Tabel 4.6 Logika Input Rules

PV/Load	SSK	SK	CK	K	S	B	CB	SB	SSB
SSK	S	B	B	CB	CB	SB	SB	SSB	SSB
SK	K	S	B	B	CB	CB	SB	SB	SSB
CK	K	K	S	B	B	CB	CB	SB	SB
K	CK	K	K	S	B	B	CB	CB	SB
S	CK	CK	K	K	S	B	B	CB	CB
B	SK	CK	CK	K	K	S	B	B	CB
CB	SK	SK	CK	CK	K	K	S	B	B
SB	SSK	SK	SK	CK	CK	K	K	S	B
SSB	SSK	SSK	SK	SK	CK	CK	K	K	S

Berdasarkan logika yang telah di rumuskan pada Tabel 4.6, *rules* yang digunakan sebanyak 81 adalah sebagai berikut:

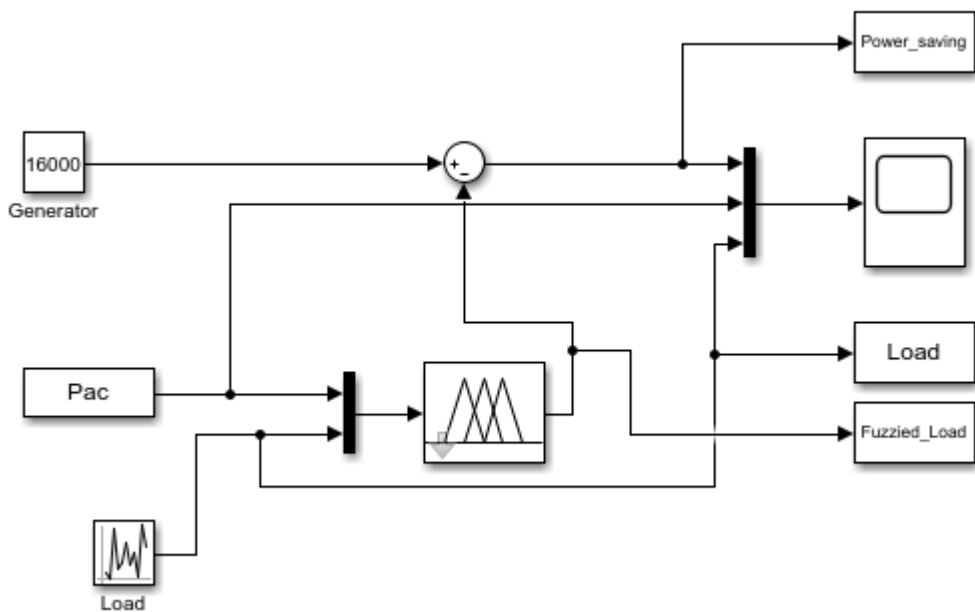
1. If (PV is SSK) and (Load is SSK) then (output1 is S)
2. If (PV is SSK) and (Load is SK) then (output1 is B)

3. If (PV is SSK) and (Load is CK) then (output1 is B)
4. If (PV is SSK) and (Load is K) then (output1 is CB)
5. If (PV is SSK) and (Load is S) then (output1 is CB)
6. If (PV is SSK) and (Load is B) then (output1 is SB)
7. If (PV is SSK) and (Load is CB) then (output1 is SB)
8. If (PV is SSK) and (Load is SB) then (output1 is SSB)
9. If (PV is SSK) and (Load is SSB) then (output1 is SSB)
10. If (PV is SK) and (Load is SSK) then (output1 is K)
11. If (PV is SK) and (Load is SK) then (output1 is S)
12. If (PV is SK) and (Load is CK) then (output1 is B)
13. If (PV is SK) and (Load is K) then (output1 is B)
14. If (PV is SK) and (Load is S) then (output1 is CB)
15. If (PV is SK) and (Load is B) then (output1 is CB)
16. If (PV is SK) and (Load is CB) then (output1 is SB)
17. If (PV is SK) and (Load is SB) then (output1 is SB)
18. If (PV is SK) and (Load is SSB) then (output1 is SSB)
19. If (PV is CK) and (Load is SSK) then (output1 is K)
20. If (PV is CK) and (Load is SK) then (output1 is K)
21. If (PV is CK) and (Load is CK) then (output1 is S)
22. If (PV is CK) and (Load is K) then (output1 is B)
23. If (PV is CK) and (Load is S) then (output1 is B)
24. If (PV is CK) and (Load is B) then (output1 is CB)
25. If (PV is CK) and (Load is CB) then (output1 is CB)
26. If (PV is CK) and (Load is SB) then (output1 is SB)
27. If (PV is CK) and (Load is SSB) then (output1 is SB)
28. If (PV is K) and (Load is SSK) then (output1 is CK)
29. If (PV is K) and (Load is SK) then (output1 is K)
30. If (PV is K) and (Load is CK) then (output1 is K)
31. If (PV is K) and (Load is K) then (output1 is S)
32. If (PV is K) and (Load is S) then (output1 is B)
33. If (PV is K) and (Load is B) then (output1 is B)
34. If (PV is K) and (Load is CB) then (output1 is CB)
35. If (PV is K) and (Load is SB) then (output1 is CB)
36. If (PV is K) and (Load is SSB) then (output1 is SB)
37. If (PV is S) and (Load is SSK) then (output1 is CK)
38. If (PV is S) and (Load is SK) then (output1 is CK)
39. If (PV is S) and (Load is CK) then (output1 is K)
40. If (PV is S) and (Load is K) then (output1 is K)
41. If (PV is S) and (Load is S) then (output1 is S)
42. If (PV is S) and (Load is B) then (output1 is B)
43. If (PV is S) and (Load is CB) then (output1 is B)
44. If (PV is S) and (Load is SB) then (output1 is CB)
45. If (PV is S) and (Load is SSB) then (output1 is CB)
46. If (PV is B) and (Load is SSK) then (output1 is SK)
47. If (PV is B) and (Load is SK) then (output1 is CK)
48. If (PV is B) and (Load is CK) then (output1 is CK)

49. If (PV is B) and (Load is K) then (output1 is K)
50. If (PV is B) and (Load is S) then (output1 is K)
51. If (PV is B) and (Load is B) then (output1 is S)
52. If (PV is B) and (Load is CB) then (output1 is B)
53. If (PV is B) and (Load is SB) then (output1 is B)
54. If (PV is B) and (Load is SSB) then (output1 is CB)
55. If (PV is CB) and (Load is SSK) then (output1 is SK)
56. If (PV is CB) and (Load is SK) then (output1 is SK)
57. If (PV is CB) and (Load is CK) then (output1 is CK)
58. If (PV is CB) and (Load is K) then (output1 is CK)
59. If (PV is CB) and (Load is S) then (output1 is K)
60. If (PV is CB) and (Load is B) then (output1 is K)
61. If (PV is CB) and (Load is CB) then (output1 is S)
62. If (PV is CB) and (Load is SB) then (output1 is B)
63. If (PV is CB) and (Load is SSB) then (output1 is B)
64. If (PV is SB) and (Load is SSK) then (output1 is SSK)
65. If (PV is SB) and (Load is SK) then (output1 is SK)
66. If (PV is SB) and (Load is CK) then (output1 is SK)
67. If (PV is SB) and (Load is K) then (output1 is CK)
68. If (PV is SB) and (Load is S) then (output1 is CK)
69. If (PV is SB) and (Load is B) then (output1 is K)
70. If (PV is SB) and (Load is CB) then (output1 is K)
71. If (PV is SB) and (Load is SB) then (output1 is S)
72. If (PV is SB) and (Load is SSB) then (output1 is B)
73. If (PV is SSB) and (Load is SSK) then (output1 is SSK)
74. If (PV is SSB) and (Load is SK) then (output1 is SSK)
75. If (PV is SSB) and (Load is CK) then (output1 is SK)
76. If (PV is SSB) and (Load is K) then (output1 is SK)
77. If (PV is SSB) and (Load is S) then (output1 is CK)
78. If (PV is SSB) and (Load is B) then (output1 is CK)
79. If (PV is SSB) and (Load is CB) then (output1 is K)
80. If (PV is SSB) and (Load is SB) then (output1 is K)
81. If (PV is SSB) and (Load is SSB) then (output1 is S)

4.5.4 Simulasi Fuzzy

Simulasi fuzzy digunakan sebagai media akhir untuk menentukan hasil dari tugas akhir ini. Dalam simulasi fuzzy ini membutuhkan hasil dari pemodelan PV dan pemodelan fuzzy yang mana keduanya akan dirangkai bersama dengan beban acak dan daya generator. Untuk lebih lengkapnya dapat dilihat pada Gambar 4.15. Data yang diambil dari simulasi ini adalah selisih daya akhir, beban acak dan beban hasil pemodelan fuzzy.



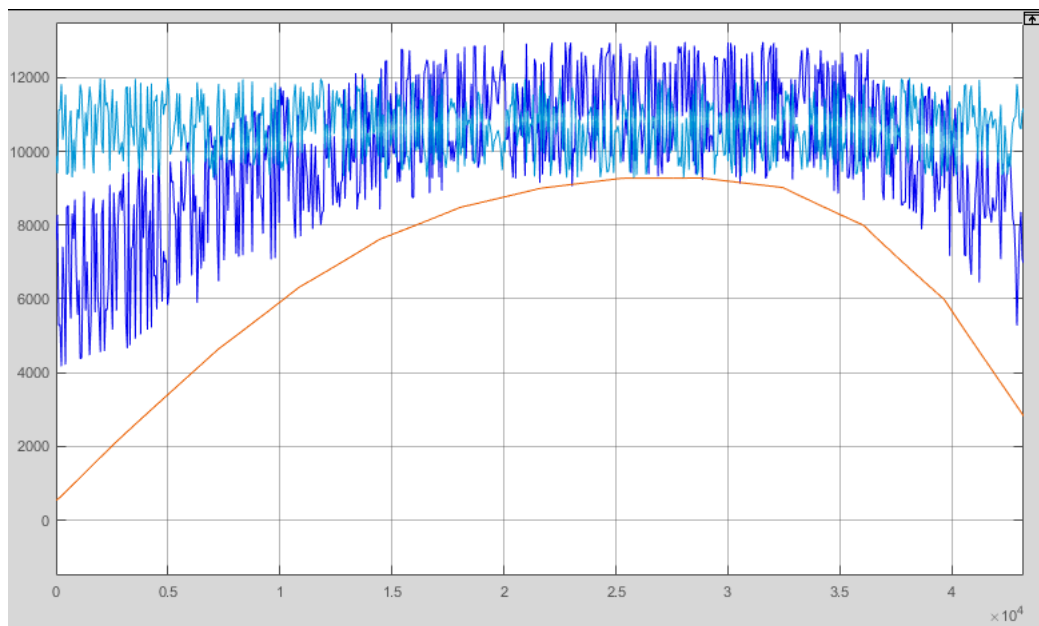
Gambar 4.15 Pemodelan Simulasi Fuzzy

4.5.5 Output Simulasi Fuzzy

Hasil dari simulasi fuzzy pada tugas akhir ini adalah besar nilai beban yang harus ditanggung oleh generator. Beban disini adalah beban yang telah dikurangi oleh daya dari PV dan melewati sistem kontrol fuzzy. Hal ini dimaksudkan untuk menambah pengurangan beban yang harus ditanggung oleh generator.

Beban kerja generator berpengaruh terhadap besar konsumsi bahan bakar. Semakin besar kerja generator maka akan semakin besar pula bahan bakar yang dikonsumsi oleh generator. Oleh sebab itu beban kerja generator dirangkai dengan sistem kontrol fuzzy yang mana diharapkan dapat menambah efisiensi penggunaan PV sehingga dapat mengurangi beban kerja generator.

Gambar 4.16 menunjukkan output simulasi dengan 3 jenis garis. Garis berwarna biru muda menunjukkan beban acak yang digunakan pada simulasi fuzzy. Beban tersebut belum dikurangi dengan daya dari output PV. Garis yang berwarna biru tua menunjukkan daya yang dapat di hemat generator saat menggunakan PV dengan sistem kontrol logika fuzzy. Dan garis berwarna merah menunjukkan daya output dari PV. Pada garis berwarna merah terlihat seperti garis lurus, hal tersebut dikarenakan sangat kecilnya selisih dari tiap waktu ke waktu sehingga tidak terlihat dibandingkan dengan skala yang mengikuti dua garis sebelumnya.



Gambar 4.16 Grafik output simulasi fuzzy

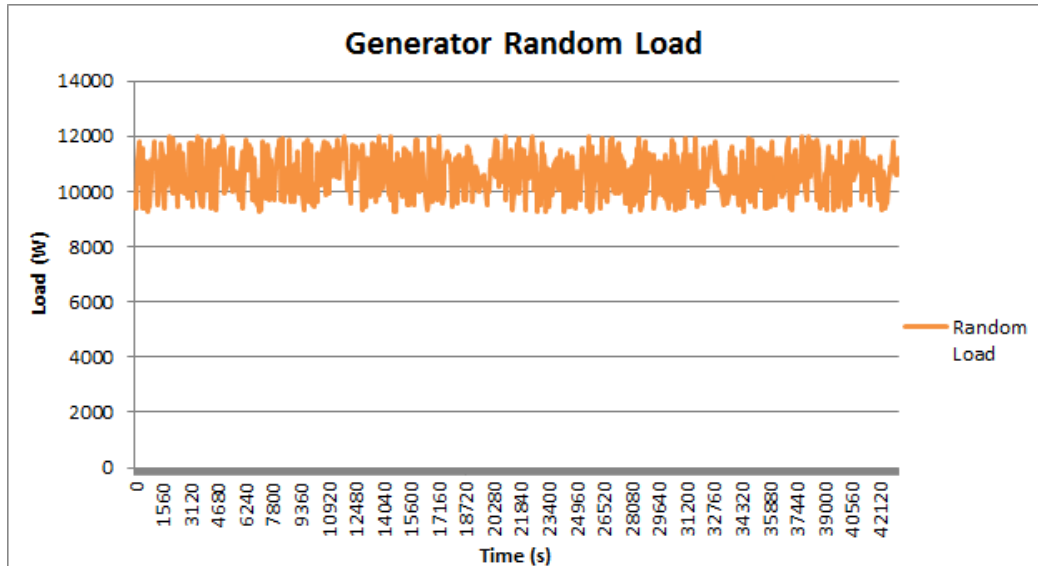
4.5.6 Perbandingan Hasil

Berdasarkan hasil simulasi yang telah dilakukan didapat data berupa beban-beban yang ditanggung oleh generator. Hasil dari simulasi dibedakan menjadi tiga skenario. Skenario pertama adalah beban generator yang tidak diinstal PV tanpa menggunakan sistem kontrol fuzzy. Skenario kedua adalah generator yang telah diinstal dengan PV tanpa menggunakan sistem kontrol fuzzy. Selanjutnya skenario yang ketiga adalah beban generator yang telah diinstal PV dengan menggunakan sistem kontrol fuzzy. Ketiga pembebahan ini bersumber dari nilai input beban acak yang diambil pada rentang 9,2-12 kW namun ketiganya melewati proses yang berbeda.

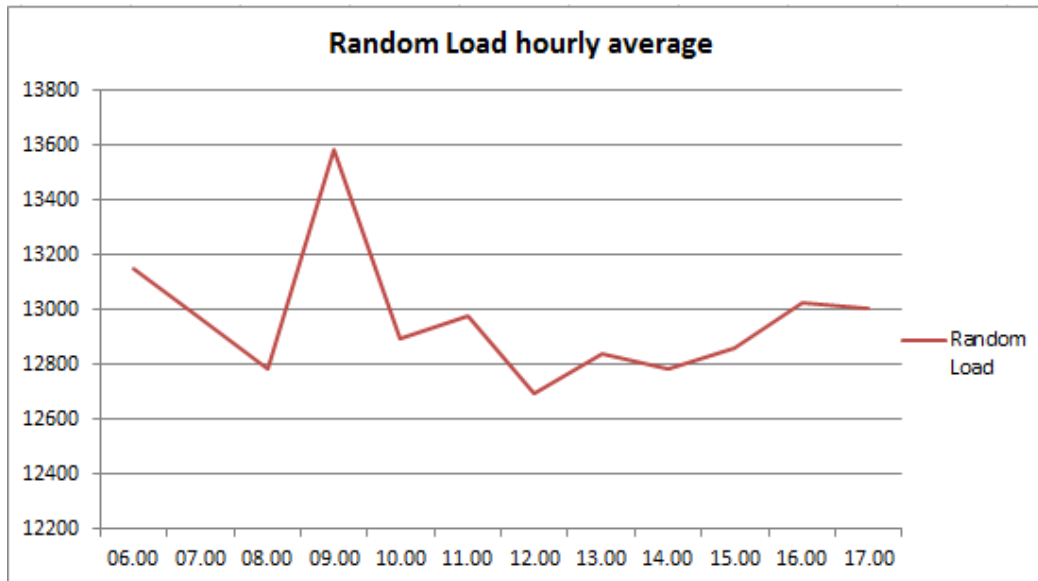
Terdapat beberapa perbedaan pada ketiga hasil hasil skenario. Oleh karena itu, untuk mengetahui lebih detail tentang perbedaan tersebut maka dibuatlah perbandingan antara beban generator tanpa PV dan tanpa sistem kontrol fuzzy, beban generator dengan PV tanpa sistem kontrol fuzzy dan beban generator dengan PV menggunakan sistem kontrol fuzzy. Sebagai catatan bahwa kedua beban kerja generator telah dikurangi oleh daya yang dihasilkan oleh PV.

Hasil yang dibandingkan berupa grafik yang akan menunjukkan perbedaan keduanya. Gambar 4.17 dan Gambar 4.18 menunjukkan grafik beban kerja generator tanpa PV dan tanpa sistem kontrol fuzzy. Gambar 4.19 dan Gambar 4.20 menunjukkan grafik beban kerja generator dengan PV tanpa sistem kontrol fuzzy. Gambar 21 dan Gambar 22 menunjukkan grafik beban kerja generator dengan PV dan menggunakan sistem kontrol fuzzy. Sedangkan pada gambar 4.23 adalah grafik yang menunjukkan perbandingan keduanya.

1. Skenario 1 (Generator tanpa PV tanpa Fuzzy)



Gambar 4.17 Grafik Beban Acak Generator tanpa PV tanpa Fuzzy



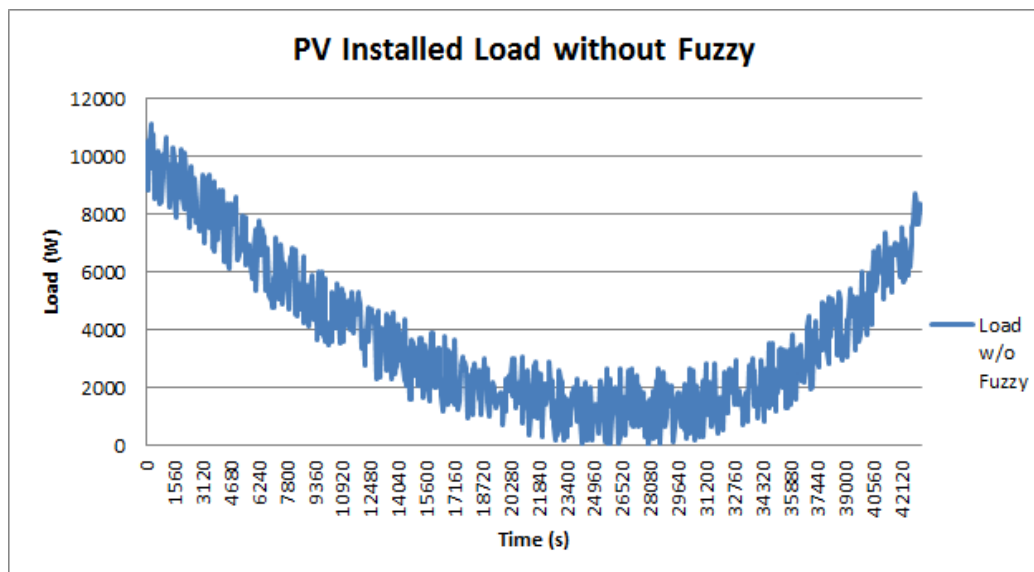
Gambar 4.18 Grafik Beban Acak Generator tanpa PV tanpa Fuzzy per jam

Berdasarkan data yang diperoleh dari hasil simulasi, Gambar 4.17 dan Gambar 4.18 menunjukkan beban kerja generator tanpa PV dan tidak menggunakan sistem kontrol fuzzy. Gambar 4.17 menunjukkan data beban kerja generator per menitnya sedangkan Gambar 4.18 menunjukkan data beban kerja generator per jam nya. Pada kedua grafik terlihat penurunan dan peningkatan beban kerja yang cukup ekstrim, hal

tersebut dikarenakan pada simulasi menggunakan nilai beban kerja acak sehingga data yang dimasukkan dianggap tidak stabil.

Hasil dari simulasi menunjukkan rata-rata kerja generator tanpa instalasi PV tanpa sistem fuzzy sebesar 10620,51 W. Sedangkan beban kerja total generator selama 12 jam sebesar 127499,5 W atau 127,5 kW. Berdasarkan nilai hasil output beban kerja acak dari generator jika dibandingkan dengan daya maksimal dari generator maka rata-rata dari beban acak ini menggunakan 80% dari daya total generator. Hasil dari beban acak inilah yang nantinya akan digunakan sebagai acuan pembebatan untuk skenario kedua dan ketiga.

2. Skenario 2 (Generator dengan PV tanpa Fuzzy)

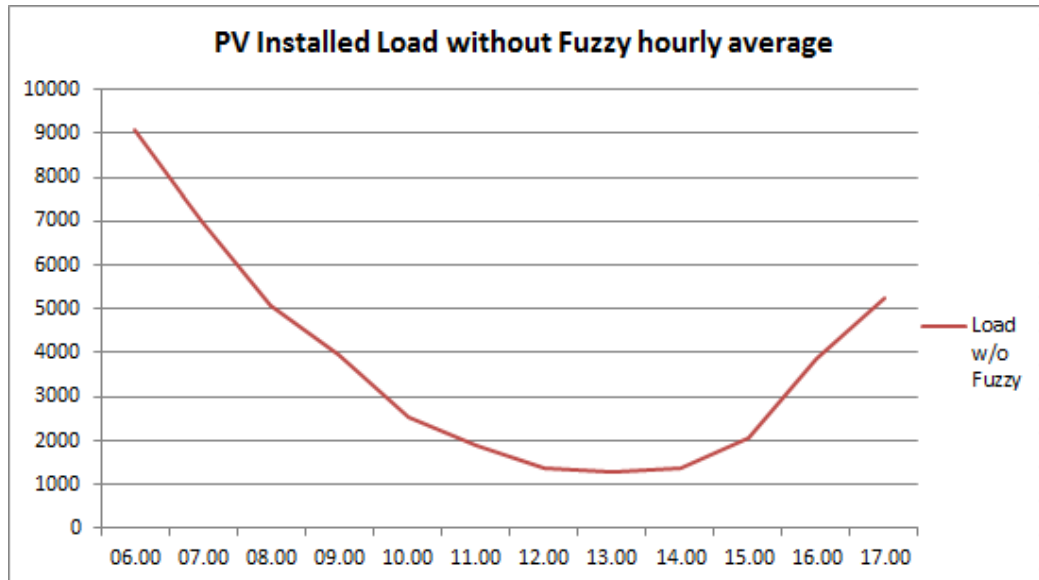


Gambar 4.19 Grafik Beban Generator tanpa Fuzzy

Berdasarkan data yang diperoleh dari hasil simulasi, Gambar 4.19 dan Gambar 4.20 menunjukkan beban kerja generator dengan PV tanpa menggunakan sistem kontrol fuzzy. Gambar 4.19 menunjukkan data beban kerja generator per menitnya sedangkan Gambar 4.20 menunjukkan data beban kerja generator per jam nya. Pada kedua grafik terlihat penurunan dan peningkatan beban kerja yang cukup ekstrim, hal tersebut dikarenakan pada simulasi menggunakan nilai beban kerja acak sehingga data yang dimasukkan dianggap tidak stabil. Hasil beban kerja acak kemudian dikurangi dengan hasil daya output yang didapatkan dari simulasi PV.

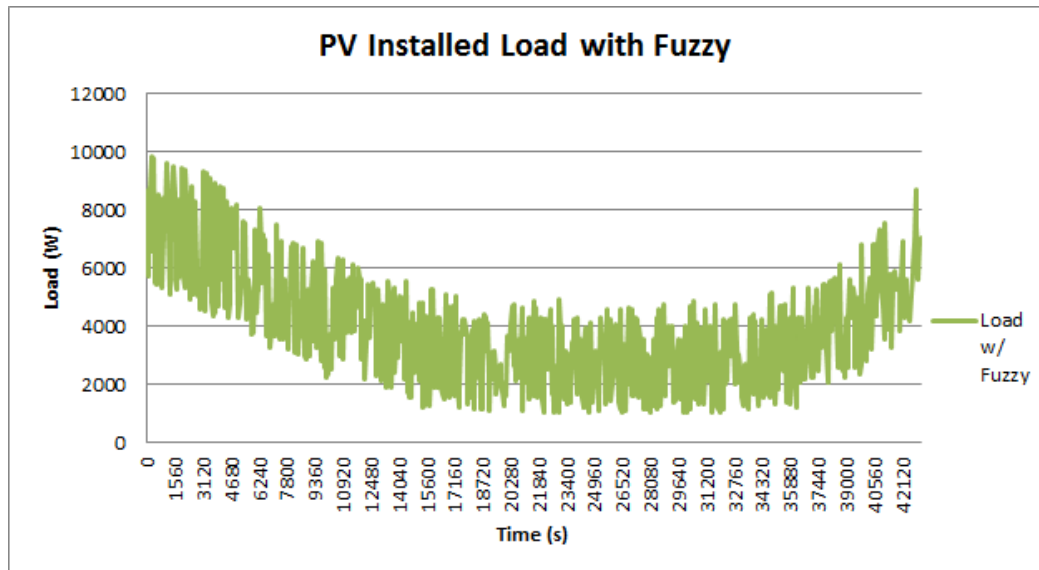
Hasil dari simulasi menunjukkan rata-rata kerja generator dengan instalasi PV tanpa fuzzy sebesar 3805,076 W. Sedangkan beban kerja total generator selama 12 jam sebesar 44775,93 W atau 44,8 W. Dari kedua nilai ini dapat dilihat terjadi penghematan daya yang cukup besar pada generator dengan daya semula 14 kW dan dengan beban acak sebesar 12 kW, generator dengan PV tanpa menggunakan sistem kontrol fuzzy hanya mengeluarkan daya untuk beban rata-rata sebesar 3,8 kW. Hal ini menunjukkan

bahwa instalasi PV pada kapal ferry MV. Aquilla ini memberikan dampak pengurangan kerja yang cukup signifikan terhadap generator.



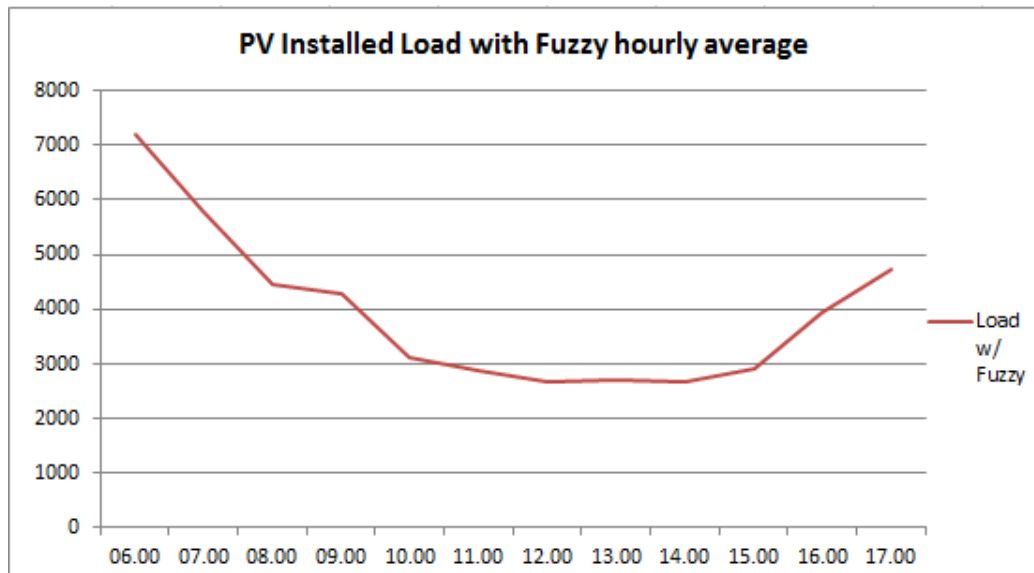
Gambar 4.20 Grafik Beban Generator tanpa Fuzzy per jam

3. Skenario 3 (Generator dengan PV menggunakan Fuzzy)



Gambar 4.21 Grafik Beban Generator menggunakan Fuzzy

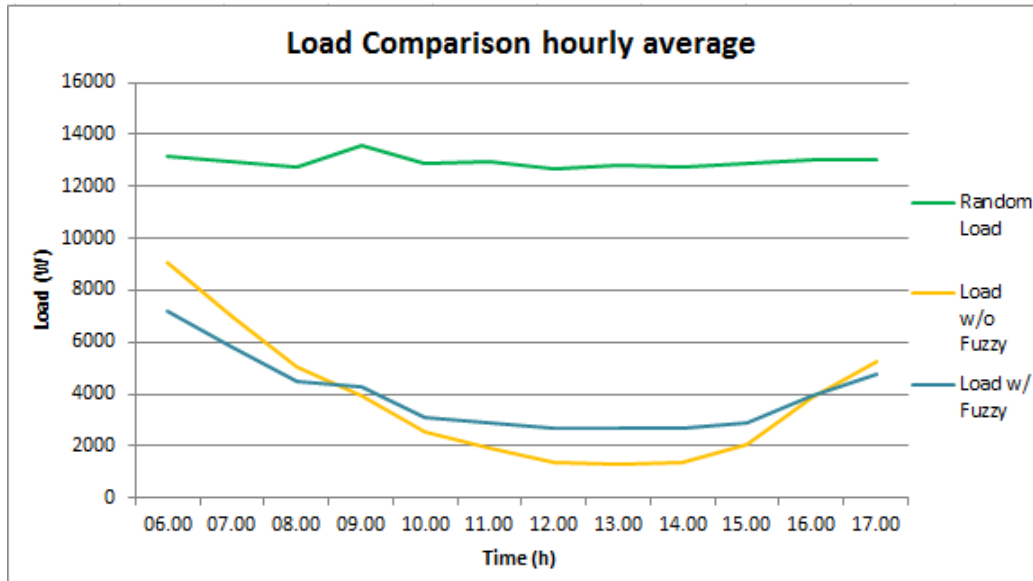
Berdasarkan data yang diperoleh dari hasil simulasi, Gambar 4.21 dan Gambar 4.22 menunjukkan beban kerja generator dengan instalasi PV dan menggunakan sistem kontrol fuzzy. Gambar 4.21 menunjukkan data beban kerja generator per menitnya sedangkan Gambar 4.22 menunjukkan data beban kerja generator per jam nya. Berbeda dengan Gambar 4.19, grafik pada Gambar 4.21 menunjukkan perubahan beban kerja yang lebih stabil. Penurunan dan kenaikan beban kerja ekstrim hanya terjadi dalam kurun waktu yang lebih panjang dibanding pada skenario 1 yang cenderung terjadi setiap waktu.



Gambar 4.22 Grafik Beban Generator menggunakan Fuzzy per jam

Hasil dari simulasi menunjukkan rata-rata kerja generator dengan instalasi PV dan menggunakan sistem kontrol fuzzy sebesar 3976,73 W. Sedangkan beban kerja total generator selama 12 jam sebesar 47290,84 W atau 47,3 kW. Dari kedua nilai ini dapat dilihat terjadi penghematan daya yang cukup besar pada generator dengan daya semula 14 kW dan dengan beban acak sebesar 12 kW, generator dengan PV dan menggunakan sistem kontrol fuzzy hanya mengeluarkan daya untuk beban rata-rata sebesar 3,98 kW. Namun jika beban rata-rata generator dengan instalasi PV yang menggunakan sistem kontrol fuzzy dibandingkan dengan dengan generator tanpa sistem kontrol fuzzy selisih yang dihasilkan tidak begitu signifikan, yaitu rata-rata hanya sebesar 0,2 kW.

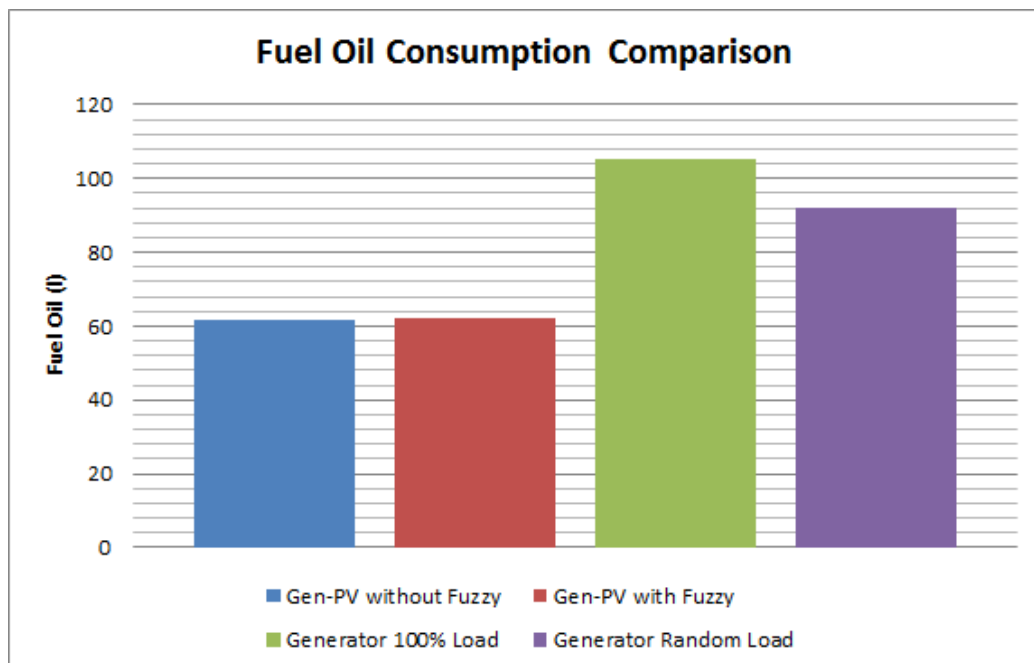
Berdasarkan hasil perbandingan, terjadi perbedaan yang cukup besar antara hasil simulasi generator yang tidak menggunakan PV dengan dua simulasi generator yang menggunakan PV. Namun, tidak terlihat perbedaan yang terpaut jauh pada hasil simulasi generator dengan instalasi PV yang menggunakan sistem kontrol fuzzy dan yang tidak menggunakan sistem kontrol fuzzy. Hal tersebut juga sesuai dengan yang tertera pada grafik dalam Gambar 4.23.



Gambar 4.23 Perbandingan Beban Generator

Gambar 4.23 menunjukkan grafik perbandingan beban acak ketiga skenario, yakni beban generator tanpa instalasi PV, beban generator dengan instalasi PV tanpa menggunakan fuzzy dan beban generator dengan instalasi PV yang menggunakan sistem kontrol fuzzy. Pada grafik tersebut memperlihatkan beban generator tanpa instalasi PV cenderung lebih tinggi grafiknya dibandingkan dengan beban generator yang terinstal PV. Perbedaan ketinggian ini berarti menujukkan bahwa beban kerja generator yang tidak diinstal PV akan lebih besar dibandingkan dengan generator yang diinstal dengan PV. Generator yang terinstal PV dan menggunakan sistem kontrol fuzzy menghasilkan beban kerja yang lebih besar dibandingkan generator dengan PV tanpa menggunakan sistem kontrol fuzzy. Meskipun penggunaan sistem kontrol fuzzy berpengaruh terhadap beban generator, hal yang terjadi tidak begitu signifikan.

Perbedaan yang terjadi pada ketiga skenario nantinya akan berpengaruh pada penghematan bahan bakar yang digunakan oleh generator. Jika terjadi penghematan bahan bakar yang cukup besar, hal tersebut akan memberikan dampak positif terhadap owner kapal. Dampak positif tersebut adalah berkurangnya *cost* yang dikeluarkan untuk bahan bakar. Selain pengurangan dalam hal biaya atau *cost*, penghematan bahan bakar ini juga berpengaruh positif bagi lingkungan. Hal tersebut contohnya adalah mengurangi polusi udara, mengurangi polusi suara dan sedikit mengurangi eksploitasi bahan bakar fosil.



Gambar 4.24 Perbandingan konsumsi bahan bakar selama 24 jam

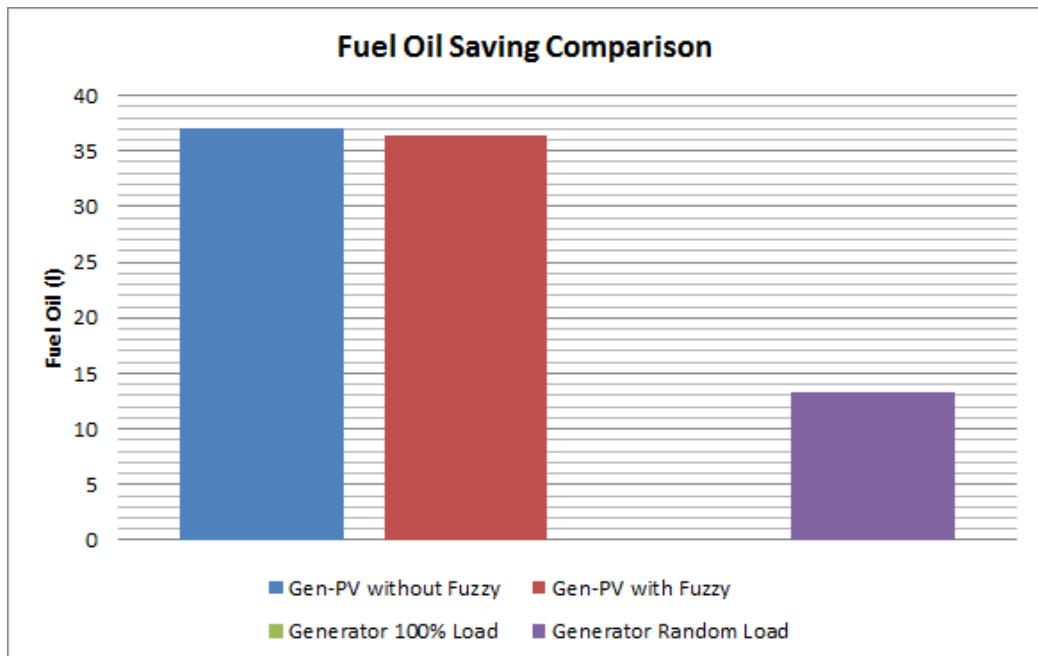
Pada Gambar 4.23 telah ditunjukkan perbandingan beban generator dari tiga skenario simulasi. Beban yang dihasilkan tiap skenario simulasi akan sangat berdampak pada konsumsi bahan bakar. Gambar 4.24 menunjukkan perbandingan jumlah bahan bakar yang dikonsumsi oleh generator. Bar berwarna biru menunjukkan konsumsi bahan bakar dari generator dengan instalasi PV tanpa menggunakan sistem kontrol fuzzy. Bar berwarna merah menunjukkan konsumsi bahan bakar dari generator dengan instalasi PV dan menggunakan sistem kontrol fuzzy. Bar berwarna hijau menunjukkan besar bahan bakar yang dikonsumsi ketika generator digunakan dengan beban 100% yakni sebesar 14 kW per jamnya. Bar berwarna ungu menunjukkan konsumsi bahan bakar ketika generator tidak diinstal dengan PV ataupun menggunakan sistem kontrol fuzzy dan berupa beban acak dari rentang 9,2-14 kW.

Perhitungan konsumsi bahan bakar pada kapal MV. Aquilla dihitung dengan cara mengalikan *Fuel Oil Consumption* (FOC) generator dengan beban kerja generator per jamnya. Untuk mendapatkan penghematan bahan bakar maka dihitung menggunakan pengurangan daya generator dengan total beban kerja yang harus ditanggung oleh generator. Perhitungan tersebut dapat dilihat pada rumus di bawah ini:

$$\text{Fuel Oil Saving} = \sum (FOC \times (P_{generator} - Total\ Load))$$

Pada Gambar 4.24 setiap bar menunjukkan ketinggian yang berbeda-beda. Ketinggian ini menunjukkan jumlah konsumsi bahan bakar pada setiap generator selama 24 jam. Pada bar berwarna biru atau generator dengan instalasi PV tanpa menggunakan sistem kontrol fuzzy ditunjukkan besar konsumsi bahan bakar adalah 60,88 liter per hari. Bar berwarna merah atau generator dengan instalasi PV dan

menggunakan sistem kontrol fuzzy menunjukkan konsumsi bahan bakar sebesar 61,67 liter per hari. Bar berwarna hijau atau generator dengan beban 100% menunjukkan bahwa konsumsi bahan bakarnya adalah sebesar 105,12 liter per hari. Bar berwarna ungu atau generator tanpa instalasi PV dan fuzzy menunjukkan besar konsumsi bahan bakarnya sebesar 86,76 liter per hari.



Gambar 4.25 Perbedaan Penghematan Bahan Bakar selama 24 jam

Berdasarkan perhitungan penghematan bahan bakar, didapatkan hasil seperti pada Gambar 4.25. Pada gambar tersebut dilakukan perbandingan penghematan bahan bakar yang diperoleh tiap simulasi generator terhadap generator dengan beban 100%. Hal tersebut dikarenakan konsumsi bahan bakar pada generator dengan beban 100% dianggap sebagai konsumsi bahan bakar terbesar dari generator.

Bar berwarna biru pada Gambar 4.25 menunjukkan penghematan bahan bakar generator dengan instalasi PV tanpa menggunakan sistem kontrol fuzzy terhadap generator beban 100% sebesar 44,24 liter atau sekitar 42% dalam satu hari . Bar berwarna merah atau generator dengan instalasi PV dan menggunakan sistem kontrol fuzzy menunjukkan penghematan konsumsi bahan bakar terhadap generator beban 100% adalah sebesar 43,45 liter atau sekitar 41,3% per hari. Sedangkan pada bar berwarna biru atau generator tanpa PV dan fuzzy menunjukkan angka penghematan konsumsi bahan bakar terhadap generator beban 100% sebesar 18,36 liter atau sekitar 17,5% perharinya.

Dari perhitungan Gambar 4.25 dapat dihitung perbandingan pada tiap generatoriya. Selisih antara generator terinstal PV tanpa menggunakan sistem kontrol fuzzy dengan generator tanpa PV dan fuzzy adalah sebesar 25,88 liter dalam satu hari. Oleh karena itu, generator dengan instalasi PV tanpa menggunakan sistem kontrol

fuzzy menghemat 29,8% bahan bakar dari generator tanpa PV dan fuzzy. Tidak jauh berbeda dengan hasil tersebut, selisih antara generator terinstal PV yang menggunakan sistem kontrol fuzzy dengan generator tanpa PV dan fuzzy adalah sebesar 25,09 liter dalam satu harinya. Dengan begitu, generator dengan instalasi PV yang menggunakan sistem kontrol fuzzy melakukan penghematan bahan bakar sebesar 28,9% dari generator tanpa PV dan fuzzy. Sedangkan selisih antara generator terinstal PV dan menggunakan sistem kontrol fuzzy dengan generator terinstal PV tanpa menggunakan fuzzy adalah sebesar 0,79 liter per hari. Persen penghematan bahan bakar generator terinstal PV dan menggunakan sistem kontrol fuzzy terhadap generator terinstal PV tanpa menggunakan sistem kontrol fuzzy adalah sebesar -1%.

Besar penghematan bahan bakar kedepannya juga akan berpengaruh terhadap biaya operasional (*cost*) dari kapal tersebut. Jika diasumsikan harga bahan bakar per liter adalah Rp 10.000, maka biaya yang harus dikeluarkan untuk membeli bahan bakar dalam satu bulan (asumsi kapal beroperasi selama 1 bulan penuh) adalah sebagai berikut:

- Generator dengan instalasi PV tanpa menggunakan sistem kontrol fuzzy
= Rp 18.264.310
- Generator dengan instalasi PV dengan menggunakan sistem kontrol fuzzy
= Rp 18.500.351
- Generator tanpa instalasi PV dan fuzzy
= Rp 26.028.508
- Generator dengan beban 100%
= Rp 31.536.000

Dari perhitungan tersebut didapatkan besar penghematan biaya antara tiap-tiap generator. Penghematan biaya antar generator adalah sebagai berikut:

- Generator dengan instalasi PV tanpa menggunakan sistem kontrol fuzzy terhadap generator beban 100 % = Rp 13.271.690
- Generator dengan instalasi PV dengan menggunakan sistem kontrol fuzzy terhadap generator beban 100% = Rp 13.035.649
- Generator tanpa instalasi PV dan fuzzy terhadap generator dengan beban 100% = Rp 5.507.492
- Generator dengan instalasi PV tanpa menggunakan sistem kontrol fuzzy terhadap generator tanpa instalasi PV dan fuzzy = Rp 7.764.198
- Generator dengan instalasi PV dengan menggunakan sistem kontrol fuzzy terhadap generator tanpa instalasi PV dan fuzzy = Rp 7.528.157
- Generator dengan instalasi PV dengan menggunakan sistem kontrol fuzzy terhadap generator dengan instalasi PV tanpa menggunakan sistem kontrol fuzzy = Rp -236.042

Dengan demikian dapat disimpulkan bahwa penghematan bahan bakar terbesar diperoleh dari generator dengan instalasi PV tanpa menggunakan sistem kontrol fuzzy. Dipasangnya atau tidak PV di kapal juga berpengaruh cukup besar dalam penghematan bahan bakar. Sistem kontrol fuzzy pada simulasi ini tidak terlalu banyak memberikan perbedaan yang signifikan.

“Halaman Ini Sengaja Dikosongkan”

BAB V

PENUTUP

Bab ini menjelaskan kesimpulan dari penelitian, beserta saran yang dapat dimanfaatkan untuk perbaikan pada penelitian selanjutnya.

5.1 Kesimpulan

1. Perancangan sistem kontrol panel surya yang terpasang di kapal berbasis logika fuzzy dimulai dengan penentuan komponen-komponen yang akan digunakan dalam simulasi. Hal tersebut kemudian dilanjutkan dengan penyusunan blok simulasi pada software MatLab. Blok simulasi yang dibuat terlebih dahulu adalah blok simulasi panel surya (PV). Kemudian dilanjutkan dengan pembentukan simulasi fuzzy. Ketika pembentukan simulasi fuzzy dibutuhkan logika fuzzy sebagai sistem kontrolnya. Tiap-tiap blok simulasi selanjutnya dihubungkan dengan logika fuzzy sehingga menghasilkan hasil keluaran berupa beban generator yang telah melalui sistem kontrol fuzzy.
2. Sistem kontrol fuzzy memberikan pengaruh terhadap penghematan bahan bakar yang digunakan oleh generator kapal ferry MV. Aquilla. Penghematan konsumsi bahan bakar yang menggunakan sistem kontrol fuzzy dibagi menjadi 3 skenario, skenario 1 merupakan beban generator tanpa PV dan fuzzy, skenario 2 adalah beban generator dengan PV tanpa fuzzy, dan skenario 3 adalah beban generator dengan PV dan fuzzy. Sedangkan skenario 0 adalah kondisi dimana generator bekerja pada 100 % beban. Selisih antara generator dengan skenario 3 terhadap skenario 1 adalah sebesar 25,09 liter dalam satu harinya atau terjadi penghematan bahan bakar sebesar 28,9%. Selisih antara generator dengan skenario 3 terhadap skenario 2 adalah sebesar 25,88 liter per hari atau terjadi penghematan bahan bakar sebesar 29,8%. Generator dengan skenario 3 terhadap skenario 0 adalah sebesar 43,45 liter atau sekitar 41,3% per hari.

5.2 Saran

1. Untuk penelitian selanjutnya harap disertakan bentuk konfigurasi pada pembebanan yang dilakukan oleh generator dan PV.
2. Menambahkan pemodelan generator sehingga nilai yang didapat dapat mendekati hasil aslinya.
3. Menggabungkannya dengan sistem kontrol yang mengatur perubahan irradiance karena pengaruh cuaca, gerhana ataupun hal-hal lain yang mengubah nilai irradiance sesuai lingkungannya.

“Halaman Ini Sengaja Dikosongkan”

DAFTAR PUSTAKA

- [1] IMO, "Prevention of Air Pollution from Ships," *MARPOL*, 2010.
- [2] M. Laboratory, "Kapal Ferry "MV.Aquilla"," 2018.
- [3] D. Gielen, F. Boshell, D. Saygin, M. D. Bazilian, N. Wagner and R. Gorini, "The Role of Renewable Energy in the Global Energy Transformation," no. Elsevier, 2019.
- [4] S. A. Kalogirou, *Solar Energy Engineering*, 2009.
- [5] D. Kho, "Pengertian Sel Surya (Solar Cell) dan Prinsip Kerjanya," no. Teknikelektronika.com.
- [6] B. C. Kuo, Automatic Control System, New Jersey: Prentice-Hall, 1975.
- [7] M. Kumar, L. Misra and G. Shekhar, "A Survey in Fuzzy Logic: An Introduction," in *National Seminar on Recent Advanced in Wireless Networks and Communication (NWNC)*, Rajasthan, 2014.
- [8] A. Naba, Belajar Cepat Fuzzy Logic Menggunakan Matlab, Andi Publisher, 2009.

“Halaman ini sengaja dikosongkan”

LAMPIRAN

“Halaman ini sengaja dikosongkan”

Lampiran 1: Spesifikasi Panel Surya (*Photovoltaics*)

“Halaman ini sengaja dikosongkan”



Surana Ventures Limited

SURANA SVL-200 Polycrystalline PV Module

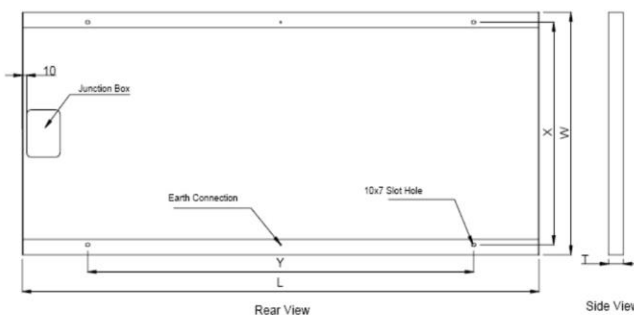


The above picture may not depict the actual product and is only an indicative.

Electrical Parameters

Nominal Power - P_{max} (W)	200
Voltage at maximum Power - V_{mp} (V)	28.9
Current at maximum Power - I_{mp} (A)	7.1
Open circuit Voltage - V_{oc} (V)	36.6
Short Circuit Current - I_{sc} (A)	8.3
Maximum System Voltage	1000 VDC
Maximum Series Fuse Rating	12 A
Temperature Coefficient - P_{max}	-0.46 % /°C
Temperature Coefficient - V_{oc}	-0.35 % /°C
Temperature Coefficient - I_{sc}	0.05 % /°C
Solar Cells per Modules - Unit	60 (10x6 Matrix)
Solar Cell Size and Type	156 mm, multi-crystalline
Power Tolerance	0% / +5%

- * Measurement Tolerance on Electrical Parameters +/- 5%
- * All parameters are at STC 25°C Cell Temperature, 1000W / m² Irradiance and AM 1.5.
- * Specifications subject to change without prior notice due to product upgrades.
- * Prefixed cables, connectors, cable glands and bypass diodes are provided along with the module.
- * All dimensions below within a +/- 2 mm tolerance



Mechanical Details

L x W x T - mm	1660 x 990 x 42
Mounting Holes Y - mm	1100
Mounting Holes X - mm	950
Area - m ²	1.65
Weight - Kg	19.1
Junction Box Details	
Dimensions - mm	130 x 105 x 30
Bypass Diodes	3 diodes, 12 A
Connectors	MC4 compatible

SURANA VENTURES LIMITED

5th Floor, Surya Tower, Sardar Patel Road,
Secunderabad -500 003 India
www.suranaventures.com
solar@surana.com
+91-40-27841198



SURANA GROUP

“Halaman ini sengaja dikosongkan”

Lampiran 2: Spesifikasi Generator

“Halaman ini sengaja dikosongkan”

TJ20BD5A (400 VAC)

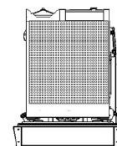
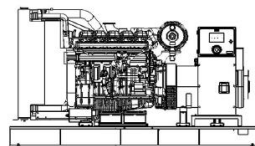
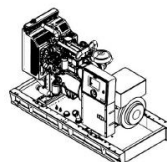
50 Hz Diesel Generator Sets



Output Power

Standby Power (ESP)	kVA	20
	kW	16
Prime Power (PRP)	kVA	18
	kW	14

Size	Wx L x H (mm)	Weight (kg)	Fuel Tank (lt)	Noise dB(A) @ 1m
Canopied	950 x 2200 x 1450	842	90	TBA
Open Skid	950 x 1650 x 1060	568	90	TBA



Continuous Power

The maximum power which a generating set is capable of delivering continuously whilst supplying a constant electrical load. Average load can be 100%. The generator must not be overloaded.

Standby Power

The max power available during a variable electrical power sequence, under the stated operating conditions, for which a generating set is capable of delivering in the event of a utility power outage or under test conditions for up to 200 hrs of operation per year under average of 70% load. Overloading isn't permissible.

Prime Power

The maximum power which a generating set is capable of delivering continuously whilst supplying a variable electrical load. Average load should be 70%. The generator can be overloaded 10% for 1 hour per 12 hrs.

TTDTJ20BD5A20190801EN

+90 850 281 90 00

info@teksan.com

www.teksan.com

TJ20BD5A (400 VAC)

50 Hz Diesel Generator Sets



Engine

Manufacturer	BAUDOUIN
Model	4M06G17/5
Cylinder Configuration	IN LINE
No of Cylinders	4
Displacement	lt
Bore	mm
Stroke	mm
Compression Ratio	17,5:1
Aspiration	NATURAL ASPIRATION
Governor Type	MECHANICAL
Cooling System	WATER
Coolant Capacity	lt
Lubrication Oil Capacity	lt
Electrical System	VDC
Speed / Frequency 50 Hz	rpm
Engine Gross Power (Standby 50 Hz)	kW
Fuel Consumption %110 ESP 50 Hz	lt/h
Fuel Consumption %100 PRP 50 Hz	lt/h
Fuel Consumption %75 PRP 50 Hz	lt/h
Fuel Consumption %50 PRP 50 Hz	lt/h
Exhaust Outlet Temperature 50 Hz	°C
Exhaust Gas Flow 50 Hz	m³/min
Combustion Air Flow 50 Hz	m³/min
Cooling Air Flow 50 Hz	m³/min

Alternator

Manufacturer	MARELLI
Model	MXB180XA4
No of Phases	3
Power Factor	0,8
No of Bearings	SINGLE
No of Poles	4
No of Leads	12
Voltage Regulation (Steady State)	± %0,5 [In Steady State, Speed from (-%) to (+%) and $\cos\phi=0,8-1$]
Insulation Class	H
Degree of Protection	IP23
Excitation System	AVR (Automatic Voltage Regulator); Brushless
Connection Type	STAR
Total Harmonic Content (No Load)	< %2
Frequency	Hz
Voltage Output 50 Hz	VAC
Rated Power (Standby) 400_50 Hz	KVA
Efficiency (4/4_400 V_50 Hz)	%

TTDTJ20BD5A20190801EN

TJ20BD5A (400 VAC)

50 Hz Diesel Generator Sets



Standard Equipments

Engine

In Teksan generator sets, leading engine brands that have state of the art technology and have compliance with ISO 8528, ISO 3046, BS 5514, DIN 6271 standards, are being used. These engines with low fuel consumption, provide accurate speed setting and order, mount to the fuel pump, also have mechanic or electronic type governors.

Alternator

In products Teksan produced, leading alternator brands of the world that have state of the art technology, high quality, productivity and durability, are being used. All alternators, which pass necessary test process and found appropriate according to EC 60034-1; CEI EN 60034-1; BS 4999-5000; VDE 0530, NF 51-100,111; OVE M-10, NEMA MG 1.22, standards, have bearing system that does not need maintenance, with electronic type voltage regulator providing voltage setting.

Control Panel

Standard control panel, that is used in Teksan generator sets, ensures comfortable and safe usage. All measured and statistical parameters, operating modes, notice and alarms and condition of generator, are monitored easily from the control panel. On the front of the panel's metal body has electronic control module and the emergency stop button and the panel's metal body is made of steel sheet and is painted with electrostatic powder paint.

Teksan offers panel design and solutions that comply with special requirements of customers as well as quality standard panels.

Chassis and Fuel Tank

Chassis is manufactured from steel that has features and durability for carrying burden of generator set. Thanks to its rigid structural design and anti-vibration mounts, it reduces vibration level to minimum. All chassis contain lifting lugs. Apart from chassis that are produced by Teksan, special solutions that design in accordance with customer desires, make transportation and positioning easier.

In less than 1600 kVA power generator sets, fuel tank is produced integratedly to the chassis. In more than 1600 kVA power generator sets, rectangular type fuel tank is provided with generator set separately. In all types of fuel tank have its level and indicator.

Cooling System

System, that consists of quality industrial - type radiator, expansion tank and cooler fan, keeps the temperature of generator set's equipments constant at a proper level.



Canopy Features

TEKSAN Standard Canopies' default features are as follows:

- Compatible with 2000/14/EC directives, certified noise emission level,
- 2 or 4 points transport possibility according to cabin size,
- Hidden exhaust inside the canopy,
- Emergency stop button located on the canopy,
- Improved air suction channel to ensure homogenous cooling in the canopy,
- Radiator air outlet and exhaust with designed towards above,
- Lid on cab that provides to be filled up water and antifreeze easily to the radiator,
- Amplified paint system against corrosion and rust,
- Improved performance in terms of sound insulation,
- Demounted parts that make transportation and maintenance easier,

As well as the standard range of canopies, TEKSAN can also design tailor-made canopies with specific sound level or size upon customer requests.

Optional Equipments

Some Optional Equipments that Teksan provides with Generator Sets;

- Medium voltage alternator,
- Remote radiator applications,
- Automatic fuel filling system,
- Fuel tank, oil pan, dashboard, alternator, coil heaters,
- Alternator with double AVR and PMG,
- Synchronization systems,
- The generator output breaker,
- Grid-generator transfer switches,
- Accordance with the specific volume of demand-insulated cabins,
- Seismic solutions,
- Trailer,
- Remote monitoring.

TTDTJ20BD5A20190801EN

TJ20BD5A (400 VAC)

50 Hz Diesel Generator Sets



Control Panel Features-TJ 509-T

- The TJ-509T is a next generation genset control unit combining multi-functionality and wide communication possibilities together with a reliable and low cost design.
- The unit complies and mostly exceeds world's tightest safety, EMC, vibration and environmental standards for the industrial category.
- Software features are complete with easy firmware upgrade process through USB port. The Windows based PC software allows monitoring and programming through USB, RS-485, Ethernet and GPRS.
- The PC and server based Rainbow Scada software allows monitoring and control of an unlimited number of gensets from a single central location.



Functions

- AMF unit with uninterrupted transfer
- ATS unit with uninterrupted transfer
- Remote start controller
- Manual start controller
- Engine controller
- Engine display & control unit
- Waveform display of V & I
- Harmonic analysis of V & I
- CTs at generator or load side

Topologies

- 2 phase 3 wires, L1-L2
- 2 phase 3 wires, L1-L3
- 3 phase 3 wires, 3 CTs
- 3 phase 3 wires, 2 CTs (L1-L2)
- 3 phase 3 wires, 2 CTs (L1-L3)
- 3 phase 4 wires, star
- 3 phase 4 wires, delta
- 1 phase 2 wires

Communications

- SM-GPRS
- Web monitoring
- Web programming
- GSM-SMS
- e-mail
- USB Device
- RS-232
- J1939-CANBUS

- Technical information and values are according to ISO8528, ISO8046 NEM/AMG-1.22, IEC600341, BS4999-5000, VDE0530 standards.
- Producing with ISO9001, ISO14001, CHSAS18001, TSE, CE standards.
- All information given in this leaflet is intended for general purposes only.
- Due to a policy continuous improvement Teksan reserves the right to amend details and specifications without notice and all information given is subject to the Teksan's current condition of sales.

TBA To Be Asked TED To Be Determined NA Not Available N/A Not Applicable TTD TJ20BD5A20190801EN

Lampiran 3: Spesifikasi Peralatan Elektronika

“Halaman ini sengaja dikosongkan”

1. Televisi



**40" Full HD Flat
TV H5003 Series 5**

UA40H5003ARXXP

- Triple Protection
- Family TV
- 120 Clear Motion Rate (CMR)
- FHD
- 10 watts x 2 Sound Output
- HDMI
- ConnectShare (USB) Movie

SIZE

40
48

[WHERE TO BUY](#)

Sorry! This product is no longer available

Power

Power Supply	Power Consumption (Max)	Power Consumption (Stand-by)
AC100-240V 50/60Hz	70 W	0.5 watts W

Yearly Power Consumption (EU standard)
N/A kWh

Dimension

Package Size (WxHxD)	Set Size with Stand (WxHxD)	Set Size without Stand (WxHxD)
1047.0 x 589.0 x 142.0 mm	905.2 x 561.8 x 169.0 mm	905.2 x 525.4 x 91.1 mm

Weight

Package Weight	Set Weight with Stand	Set Weight without Stand
9.2 kg	6.9 kg	6.4 kg

2. Showcase Polytron



Showcase

Showcase Polytron SCN-180 180L

☆ ☆ ☆ ☆ ☆ (No reviews)

Availability: **In Stock**

Compare

f t G+ P

- SKU: 56166
- Vendor: Polytron
- Category: Best Selling Products, Newest Products, Showcase

Description

Reviews

- **Gross / Net Capacity (Liter)** : 180 Liter
- **Door Handle** : No
- **Max Power Consumption (Watt)** : 190 Watt
- **Anti-Flogging Glass Door** : Yes
- **Bottle Opener** : No
- **Adjustable rack** : Yes
- **Heavy Duty & Rust Free** : Yes
- **Wheel** : Yes
- **Energy Saving** : Yes
- **Product Size (mm)** : 540x582x1525 Mm
- **Product Weight (Kg)** : 48 Kg
- **No Frost** : No
- **Voltage Input (V)** : 180 - 220 V/ 50Hz
- **Digital Display Temperature** : No
- **Perfect Door Sealed** : Yes
- **Lighting** : LED

3. Air Conditioner

AKARI - 1 PK AIR CONDITIONER AC0910PLWI

SPECIFICATIONS



- 1 PK
- Plasma Fin
- Nano Silver Filter
- Turbo Cooling
- 9000 Btu
- 710 Watt



Akari AC-0568GLW AC Split Low Watt 1/2 Pk - Putih

Highlight Produk
 Healty nano silver filter
 Plasma fin, anti karat lebih baik'
 Turbo cooling, cepet dingin
 Refrigerant R410
 Daya 409 watt

Changhong CSC-07NVB Deluxe Double Gold Fin AC Split - [3/4PK/JABODETABEK]

Brand: Changhong 1 ulasan produk Garansi: Changhong Info

Harga	Harga awal	Rp 2.950.000
	Rp 2.499.000	15% OFF
Blibli Rewards	+ 1.250 poin Blibli Rewards	
Cicilan	Cicilan 0% mulai dari Rp 208.250 /bulan	
	Cicilan tanpa kartu kredit	
Warna	White	

- Daya listrik : 680 Watt
- Daya PK : 3/4 PK
- Kapasitas pendinginan : 7500BTU/h
- Tipe Refrigerant : R-410a
- Teknologi Turbo Jet Cool
- Lapisan Double Gold Fin

“Halaman ini sengaja dikosongkan”

**Lampiran 4: Data Beban Kerja Generator dan Perhitungan
Konsumsi BBM**

“Halaman ini sengaja dikosongkan”

1. Beban Generator Per Jam

Waktu	Beban tanpa PV & Fuzzy	Beban dengan PV tanpa Fuzzy	Beban dengan PV & Fuzzy
(h)	(W)	(W)	(W)
06.00	10706,11	9099,828	7195,084
07.00	10623,65	6979,425	5775,78
08.00	10539,05	5075,172	4455,692
09.00	10903,09	3951,037	4269,782
10.00	10589,63	2548,333	3120,23
11.00	10629,1	1891,002	2865,638
12.00	10498,58	1364,423	2656,813
13.00	10563,67	1290,324	2689,511
14.00	10539,11	1390,186	2665,656
15.00	10575,5	2067,7	2912,96
16.00	10669,83	3852,566	3947,128
17.00	10662,18	5265,934	4736,562

2. Beban Generator per menit

Waktu	Beban tanpa PV & Fuzzy	Beban dengan PV tanpa Fuzzy	Beban dengan PV & Fuzzy
(s)	(W)	(W)	(W)
0	11313,8	9213,0	10857,9
60	10282,3	8181,2	10817,5
120	14073,2	11971,4	12353,0
180	14075,8	11973,3	12342,8
240	15608,2	13504,9	12331,4
300	12301,0	10197,0	11303,2
360	13116,5	11011,7	11311,1
420	14985,8	12880,2	12297,4
480	10207,4	8101,1	10751,7
540	10320,8	8213,7	10701,5
600	13178,2	11070,4	11279,5
660	14026,9	11918,4	12258,8
720	10046,2	7936,9	10830,2
780	12300,5	10190,5	11228,6
840	10401,1	8290,3	10667,6
900	12504,9	10393,5	11249,4
960	14120,6	12008,5	12222,3
1020	13533,9	11421,0	11411,8
1080	15582,6	13469,0	12281,8
1140	15077,0	12962,7	12209,3
1200	13161,6	11046,5	11218,4
1260	10551,8	8436,0	10610,5
1320	13923,5	11807,0	11999,7
1380	12496,0	10378,8	11139,5
1440	14207,1	12089,2	11897,7
1500	15461,9	13343,2	12257,6
1560	14573,2	12453,8	11700,8
1620	11574,7	9454,6	10773,2
1680	10284,8	8163,9	10632,9
1740	14416,5	12294,9	11527,8
1800	11969,4	9847,1	10841,6
1860	13795,8	11672,8	11441,3
1920	14538,5	12414,7	11405,0
1980	15946,2	13821,7	12367,0
2040	12192,0	10066,8	10693,2
2100	11482,2	9356,3	10556,5
2160	15895,3	13768,6	12354,0
2220	14336,0	12208,6	11282,4
2280	14520,1	12392,0	11396,0
2340	13909,1	11780,3	11228,9
2400	10436,1	8306,6	10286,9
2460	13789,8	11659,5	11214,9
2520	15308,2	13177,2	12231,7
2580	11636,3	9504,5	10515,7

Waktu	Beban tanpa PV & Fuzzy	Beban dengan PV tanpa Fuzzy	Beban dengan PV & Fuzzy
(s)	(W)	(W)	(W)
2640	12618,5	10486,0	10853,3
2700	14599,0	12465,8	11486,8
2760	12866,4	10732,5	11048,8
2820	11426,6	9292,0	10401,0
2880	11649,4	9514,1	10515,4
2940	12155,6	10019,5	10535,6
3000	10999,0	8862,3	9901,5
3060	12919,1	10781,6	10895,0
3120	15385,9	13247,7	11522,0
3180	15455,2	13316,3	11458,5
3240	10363,4	8223,7	10085,3
3300	15427,9	13287,5	11380,3
3360	13027,1	10886,0	10722,1
3420	13097,8	10955,9	10691,1
3480	11914,2	9771,6	10339,2
3540	15919,9	13776,6	11376,9
3600	12963,9	10819,9	10609,3
3660	11596,9	9452,2	10267,3
3720	10544,4	8399,2	9981,4
3780	15686,6	13540,8	11328,9
3840	10442,5	8296,2	10037,5
3900	13004,2	10857,4	10540,8
3960	12304,9	10157,5	10254,9
4020	11662,5	9514,6	10021,0
4080	15482,9	13334,5	11249,4
4140	13178,5	11029,6	10557,6
4200	12786,7	10637,3	10517,7
4260	15645,9	13495,9	11280,1
4320	10300,5	8150,0	10117,9
4380	14569,1	12418,1	11080,4
4440	14621,2	12469,7	11045,1
4500	14966,9	12814,9	11166,1
4560	10752,2	8599,6	9867,5
4620	10095,2	7942,1	10240,3
4680	14130,7	11977,1	10931,3
4740	15209,5	13055,4	11220,0
4800	13777,3	11622,6	10843,8
4860	14417,3	12262,2	10846,2
4920	14352,5	12196,8	10823,9
4980	15996,7	13840,5	11369,3
5040	15331,4	13174,7	11247,4
5100	11399,2	9241,9	9858,1
5160	11837,9	9680,1	9964,7
5220	12106,1	9947,8	10116,9
5280	13079,6	10920,8	10355,8

Waktu	Beban tanpa PV & Fuzzy	Beban dengan PV tanpa Fuzzy	Beban dengan PV & Fuzzy
(s)	(W)	(W)	(W)
5340	13546,7	11387,3	10577,1
5400	15075,9	12916,0	11220,0
5460	12472,5	10312,1	10347,8
5520	15049,1	12888,1	11211,1
5580	11615,9	9454,5	9877,8
5640	12492,4	10330,4	10269,8
5700	13223,8	11061,3	10162,0
5760	12807,5	10644,5	10029,1
5820	11723,3	9559,7	9866,6
5880	11070,0	8905,9	9080,1
5940	10922,3	8757,8	8941,9
6000	13429,9	11264,8	10405,2
6060	14814,4	12648,8	11012,4
6120	10198,3	8032,2	9191,5
6180	13206,7	11040,0	10117,4
6240	12990,9	10823,7	9856,2
6300	15732,2	13564,5	10951,5
6360	14489,8	12321,5	10712,6
6420	13327,5	11158,8	10273,5
6480	15344,4	13175,2	10946,4
6540	13749,1	11579,3	10517,3
6600	15052,2	12881,9	10896,6
6660	10958,6	8787,8	8932,2
6720	11276,5	9105,2	9645,1
6780	14288,3	12116,4	10560,9
6840	10782,6	8610,2	8980,7
6900	10545,9	8373,0	8998,2
6960	11647,5	9474,1	9847,2
7020	10018,0	7844,1	9321,6
7080	12485,8	10311,3	9860,8
7140	10161,3	7986,3	9217,1
7200	14258,9	12083,4	10342,6
7260	15627,4	13451,5	10758,0
7320	11439,5	9263,3	9709,9
7380	11085,4	8908,9	9199,4
7440	11905,2	9728,6	9552,9
7500	15321,9	13145,1	10610,8
7560	13912,4	11735,2	10164,9
7620	10902,0	8724,7	8877,8
7680	14088,1	11910,5	10138,1
7740	12314,9	10137,1	9627,1
7800	12326,4	10148,4	9645,4
7860	12998,4	10820,2	9865,7
7920	10885,2	8706,8	8856,8
7980	13523,1	11344,4	10206,2

Waktu	Beban tanpa PV & Fuzzy	Beban dengan PV tanpa Fuzzy	Beban dengan PV & Fuzzy
(s)	(W)	(W)	(W)
8040	15073,5	12894,6	10541,6
8100	13540,7	11361,5	10158,6
8160	15732,5	13553,1	10742,7
8220	13336,9	11157,3	10049,9
8280	10888,9	8709,1	8845,6
8340	15899,8	13719,8	10822,5
8400	12452,6	10272,4	9821,1
8460	10850,9	8670,5	8854,1
8520	13389,4	11208,7	9979,0
8580	11512,8	9331,9	9023,7
8640	12931,1	10750,0	9842,6
8700	12784,2	10602,8	9858,6
8760	15766,6	13585,0	10740,0
8820	10756,2	8574,4	8882,9
8880	11198,5	9016,5	8867,9
8940	11915,5	9733,3	8840,9
9000	13775,6	11593,1	9881,0
9060	10760,3	8577,6	8881,5
9120	13907,5	11724,6	9851,6
9180	13729,8	11546,7	9897,2
9240	14818,4	12635,1	10517,7
9300	11487,1	9303,5	8994,8
9360	12858,6	10674,8	9855,1
9420	12335,9	10151,9	9660,2
9480	11219,5	9035,3	8874,6
9540	10170,3	7985,8	9210,7
9600	15410,0	13225,3	10597,6
9660	12559,0	10374,1	9879,9
9720	10852,1	8667,0	8882,8
9780	15684,9	13499,6	10703,8
9840	12461,9	10276,3	9832,4
9900	10787,1	8601,3	8897,5
9960	15313,9	13127,9	10568,1
10020	10553,0	8366,8	8973,4
10080	10973,2	8786,7	8913,7
10140	10426,4	8239,7	9044,3
10200	12192,0	10005,1	9484,0
10260	11518,3	9331,2	8991,9
10320	10810,7	8623,3	8937,2
10380	14698,9	12511,3	10539,1
10440	12731,8	10544,0	9918,6
10500	12097,1	9909,1	9313,6
10560	12713,8	10525,6	9925,0
10620	14853,7	12665,2	10590,5
10680	15590,0	13401,4	10664,2

Waktu	Beban tanpa PV & Fuzzy	Beban dengan PV tanpa Fuzzy	Beban dengan PV & Fuzzy
(s)	(W)	(W)	(W)
10740	13909,9	11721,0	9986,5
10800	11291,5	9102,4	8990,1
10860	14077,6	11888,3	10122,6
10920	15453,5	13264,1	10626,8
10980	11500,8	9311,3	9001,5
11040	15165,2	12975,6	10630,4
11100	12827,6	10637,9	9992,2
11160	13035,7	10846,0	10012,9
11220	13602,4	11412,5	10016,2
11280	14905,4	12715,4	10629,2
11340	14535,1	12345,0	10516,8
11400	12773,5	10583,3	9995,1
11460	15708,2	13518,0	10714,0
11520	13796,4	11606,1	10033,2
11580	12636,0	10445,5	9957,9
11640	14948,2	12757,6	10649,1
11700	14133,9	11943,2	10266,6
11760	14213,2	12022,4	10372,5
11820	15922,9	13732,0	10814,3
11880	15726,5	13535,5	10721,8
11940	15107,6	12916,5	10666,2
12000	11735,9	9544,7	9061,2
12060	13224,6	11033,2	10067,6
12120	13086,6	10895,2	10071,4
12180	10620,6	8429,0	9073,1
12240	12484,2	10292,5	9984,6
12300	13460,3	11268,5	10083,8
12360	15259,4	13067,5	10684,9
12420	12640,2	10448,2	10001,5
12480	14378,5	12186,4	10592,2
12540	15215,6	13023,4	10693,1
12600	14293,9	12101,5	10565,5
12660	14804,3	12611,9	10658,0
12720	14239,2	12046,7	10526,3
12780	14450,3	12257,6	10613,4
12840	10114,6	7921,8	9250,3
12900	15316,2	13123,3	10709,8
12960	13149,9	10956,9	10129,1
13020	12779,9	10586,8	10089,0
13080	10391,2	8197,9	9135,3
13140	14280,5	12087,2	10639,2
13200	12933,7	10740,2	10140,8
13260	14006,1	11812,5	10166,2
13320	14092,3	11898,6	10383,4
13380	11197,3	9003,6	9156,6

Waktu	Beban tanpa PV & Fuzzy	Beban dengan PV tanpa Fuzzy	Beban dengan PV & Fuzzy
(s)	(W)	(W)	(W)
13440	15499,8	13305,9	10735,6
13500	15195,3	13001,3	10738,6
13560	15340,1	13146,0	10741,8
13620	13263,7	11069,5	10176,2
13680	10835,2	8640,9	9178,7
13740	12702,1	10507,7	10130,8
13800	15936,2	13741,6	10819,9
13860	11293,2	9098,5	9192,0
13920	12676,1	10481,4	10149,0
13980	11894,4	9699,5	9200,8
14040	13088,0	10893,0	10207,4
14100	15289,0	13093,9	10768,6
14160	12638,4	10443,2	10173,3
14220	12805,2	10609,9	10179,5
14280	14839,9	12644,5	10723,6
14340	12190,9	9995,4	10192,0
14400	11269,1	9073,5	9232,7
14460	15994,7	13799,0	10851,0
14520	10921,6	8725,8	9239,8
14580	13782,9	11587,1	10244,3
14640	13698,1	11502,2	10246,6
14700	10003,6	7807,6	9326,5
14760	10005,3	7809,3	9326,5
14820	14640,1	12444,1	10751,1
14880	14364,0	12167,9	10752,5
14940	11915,1	9718,9	9252,8
15000	12506,3	10310,2	10227,0
15060	14095,0	11898,8	10711,5
15120	14083,4	11887,2	10672,5
15180	11231,6	9035,3	9257,4
15240	15018,5	12822,3	10801,6
15300	14253,5	12057,2	10759,9
15360	14972,2	12775,9	10794,0
15420	10567,3	8371,0	9262,1
15480	10490,4	8294,1	9263,3
15540	14584,0	12387,7	10763,4
15600	13777,4	11581,0	10264,9
15660	11283,1	9086,7	9265,9
15720	11281,3	9084,8	9266,8
15780	10486,4	8289,9	9267,7
15840	12332,9	10136,4	10246,9
15900	15713,0	13516,4	10808,3
15960	15685,3	13488,7	10809,0
16020	12339,1	10142,6	10251,3
16080	11615,3	9418,7	9272,7

Waktu	Beban tanpa PV & Fuzzy	Beban dengan PV tanpa Fuzzy	Beban dengan PV & Fuzzy
(s)	(W)	(W)	(W)
16140	14153,0	11956,4	10772,9
16200	11704,2	9507,6	9274,9
16260	14661,2	12464,5	10775,4
16320	14703,2	12506,5	10776,7
16380	12534,8	10338,1	10258,8
16440	11692,9	9496,2	9279,2
16500	11163,8	8967,1	9280,0
16560	10067,9	7871,1	9283,5
16620	11150,9	8954,1	9281,7
16680	15899,4	13702,6	10817,6
16740	11464,3	9267,5	9283,5
16800	14918,4	12721,5	10785,1
16860	10818,7	8621,8	9285,4
16920	12388,9	10191,9	10270,8
16980	13606,1	11409,1	10289,0
17040	11061,3	8864,3	9288,6
17100	14970,1	12773,1	10806,5
17160	10946,4	8749,4	9291,0
17220	15927,6	13730,6	10822,6
17280	11543,0	9346,0	9293,5
17340	11401,6	9204,5	9294,2
17400	10609,8	8412,7	9294,9
17460	11316,5	9119,3	9295,7
17520	13808,3	11611,2	10297,9
17580	14176,0	11978,9	10797,7
17640	14768,6	12571,4	10798,8
17700	14177,5	11980,2	10799,9
17760	14517,6	12320,4	10801,0
17820	14017,1	11819,9	10522,8
17880	13800,6	11603,3	10302,7
17940	10338,6	8141,3	9303,2
18000	13589,3	11392,0	10304,7
18060	11362,0	9164,7	9304,3
18120	11912,7	9715,4	9303,0
18180	14199,0	12001,7	10801,8
18240	10704,6	8507,4	9301,0
18300	14575,4	12378,2	10801,4
18360	13156,7	10959,5	10301,1
18420	13323,5	11126,2	10301,0
18480	13527,9	11330,7	10301,1
18540	11978,0	9780,8	9300,4
18600	14217,9	12020,7	10801,4
18660	10858,3	8661,0	9300,9
18720	10970,1	8772,9	9301,3
18780	12912,0	10714,7	10291,5

Waktu	Beban tanpa PV & Fuzzy	Beban dengan PV tanpa Fuzzy	Beban dengan PV & Fuzzy
(s)	(W)	(W)	(W)
18840	15161,4	12964,1	10831,9
18900	14879,6	12682,3	10802,1
18960	13341,0	11143,7	10303,6
19020	14434,0	12236,7	10802,4
19080	11896,0	9698,7	9304,3
19140	10812,0	8614,7	9304,9
19200	13171,3	10973,9	10305,6
19260	11864,4	9667,1	9306,2
19320	13528,7	11331,4	10305,7
19380	13108,5	10911,1	10305,8
19440	12585,1	10387,7	10298,6
19500	11553,1	9355,7	9309,1
19560	12221,4	10024,0	10299,6
19620	12358,1	10160,7	10300,1
19680	12681,2	10483,8	10300,6
19740	12855,4	10657,9	10301,2
19800	12327,0	10129,5	10301,8
19860	11675,8	9478,3	9310,7
19920	10469,6	8272,1	9311,0
19980	12218,5	10021,0	10303,7
20040	11523,5	9326,0	9311,6
20100	14030,7	11833,2	10806,7
20160	14057,4	11859,9	10806,4
20220	13083,6	10886,1	10306,9
20280	14371,7	12174,1	10806,1
20340	14324,6	12127,1	10806,5
20400	15668,5	13471,0	10837,4
20460	12764,2	10566,6	10310,1
20520	15641,0	13443,4	10838,3
20580	11929,4	9731,8	9315,3
20640	12762,6	10565,0	10313,0
20700	13102,9	10905,3	10313,3
20760	13968,1	11770,5	10313,6
20820	12411,0	10213,4	10313,9
20880	13633,8	11436,2	10314,3
20940	15919,0	13721,4	10842,2
21000	10902,4	8704,7	9319,6
21060	14020,6	11822,9	10813,1
21120	12062,9	9865,2	10316,0
21180	13250,3	11052,6	10316,4
21240	13136,8	10939,1	10317,0
21300	14975,4	12777,7	10816,7
21360	10089,7	7892,0	9325,3
21420	11645,3	9447,5	9326,5
21480	13857,9	11660,1	10319,5

Waktu	Beban tanpa PV & Fuzzy	Beban dengan PV tanpa Fuzzy	Beban dengan PV & Fuzzy
(s)	(W)	(W)	(W)
21540	13276,8	11079,1	10320,3
21600	15507,1	13309,3	10851,0
21660	11599,7	9401,9	9326,5
21720	15820,5	13622,8	10847,6
21780	11480,4	9282,7	9321,4
21840	15063,9	12866,2	10842,5
21900	14164,1	11966,5	10810,7
21960	12734,5	10536,9	10313,5
22020	14902,6	12705,0	10809,1
22080	10132,5	7934,9	9315,7
22140	10964,5	8766,9	9315,3
22200	14241,7	12044,1	10808,0
22260	14247,0	12049,4	10807,9
22320	12619,8	10422,3	10310,9
22380	13494,5	11296,9	10310,7
22440	14510,3	12312,7	10807,6
22500	15949,2	13751,6	10838,0
22560	14174,1	11976,5	10807,5
22620	11677,1	9479,5	9314,5
22680	14523,2	12325,6	10807,4
22740	11027,1	8829,5	9314,4
22800	10025,5	7828,0	9314,4
22860	12974,1	10776,6	10310,2
22920	10479,5	8281,9	9314,4
22980	10978,5	8780,9	9314,4
23040	15419,8	13222,2	10837,9
23100	14698,0	12500,4	10807,4
23160	14480,1	12282,5	10807,4
23220	12618,6	10421,0	10310,1
23280	10038,1	7840,5	9314,4
23340	13508,7	11311,2	10310,1
23400	13110,9	10913,3	10310,1
23460	10401,1	8203,5	9314,4
23520	13264,1	11066,6	10310,1
23580	12338,4	10140,8	10310,1
23640	11295,0	9097,4	9314,4
23700	12314,6	10117,0	10310,1
23760	13761,2	11563,6	10310,1
23820	13954,3	11756,7	10310,1
23880	14255,9	12058,3	10807,4
23940	13232,0	11034,4	10310,1
24000	11681,7	9484,2	9314,4
24060	14895,6	12698,0	10807,4
24120	12231,5	10033,9	10310,1
24180	14116,6	11919,0	10807,4

Waktu	Beban tanpa PV & Fuzzy	Beban dengan PV tanpa Fuzzy	Beban dengan PV & Fuzzy
(s)	(W)	(W)	(W)
24240	11861,0	9663,4	9314,4
24300	10056,1	7858,5	9314,4
24360	10622,8	8425,2	9314,4
24420	13125,8	10928,2	10310,1
24480	14655,3	12457,7	10807,4
24540	11324,1	9126,5	9314,4
24600	10331,7	8134,1	9314,4
24660	10423,8	8226,2	9314,4
24720	10961,6	8764,1	9314,4
24780	14342,6	12145,0	10807,4
24840	11782,1	9584,6	9314,4
24900	10303,6	8106,0	9314,4
24960	12866,8	10669,3	10310,1
25020	12743,0	10545,4	10310,1
25080	13119,9	10922,4	10310,1
25140	12678,9	10481,4	10310,1
25200	10901,9	8704,3	9314,4
25260	11715,7	9518,1	9313,4
25320	15002,1	12804,6	10836,6
25380	14173,8	11976,4	10805,7
25440	13466,7	11269,2	10306,0
25500	14087,0	11889,6	10803,9
25560	11987,0	9789,7	9306,3
25620	10344,9	8147,5	9304,9
25680	15921,3	13724,0	10832,4
25740	13254,4	11057,1	10303,3
25800	10009,9	7812,7	9326,5
25860	15137,2	12939,9	10831,6
25920	10176,1	7978,9	9300,6
25980	12265,3	10068,1	10289,2
26040	12937,9	10740,7	10288,4
26100	13457,0	11259,8	10300,1
26160	14433,8	12236,6	10799,3
26220	14076,0	11878,8	10798,7
26280	13217,6	11020,4	10298,9
26340	10213,5	8016,4	9297,2
26400	10735,0	8537,9	9296,8
26460	15840,1	13643,0	10826,8
26520	11129,7	8932,5	9296,0
26580	12107,9	9910,8	10283,1
26640	13684,8	11487,6	10297,0
26700	13645,7	11448,6	10296,7
26760	10755,6	8558,5	9294,6
26820	13317,2	11120,1	10295,9
26880	15724,2	13527,1	10823,9

Waktu	Beban tanpa PV & Fuzzy	Beban dengan PV tanpa Fuzzy	Beban dengan PV & Fuzzy
(s)	(W)	(W)	(W)
26940	12141,5	9944,5	10279,4
27000	15028,6	12831,6	10823,1
27060	15845,5	13648,5	10822,7
27120	11554,1	9357,1	9291,9
27180	11509,2	9312,2	9291,3
27240	12546,0	10349,0	10275,7
27300	14878,3	12681,3	10791,2
27360	15387,5	13190,5	10821,6
27420	11467,5	9270,6	9289,0
27480	14563,7	12366,7	10789,6
27540	14169,1	11972,2	10789,0
27600	12711,1	10514,2	10271,8
27660	11581,7	9384,8	9286,8
27720	13993,0	11796,1	10287,9
27780	10699,4	8502,5	9285,8
27840	11257,4	9060,5	9285,3
27900	10682,1	8485,2	9284,9
27960	13281,8	11085,0	10286,2
28020	10036,5	7839,6	9308,0
28080	11055,8	8859,0	9283,5
28140	13596,2	11399,3	10284,9
28200	12591,4	10394,6	10266,2
28260	10495,0	8298,2	9282,2
28320	14124,5	11927,7	10782,0
28380	12251,9	10055,1	10264,0
28440	15017,2	12820,5	10816,7
28500	10741,8	8545,1	9280,5
28560	15840,1	13643,3	10816,2
28620	10177,8	7981,1	9279,8
28680	10482,1	8285,4	9279,4
28740	12965,5	10768,7	10276,2
28800	14616,6	12419,9	10778,4
28860	15604,2	13407,5	10813,8
28920	11500,9	9304,3	9274,1
28980	12157,9	9961,4	10251,1
29040	14614,7	12418,2	10767,9
29100	12999,7	10803,3	10267,1
29160	14495,5	12299,1	10765,4
29220	14031,4	11835,0	10460,1
29280	14090,0	11893,6	10736,7
29340	14540,6	12344,3	10761,6
29400	10218,2	8021,9	9260,7
29460	11383,4	9187,2	9259,4
29520	11330,0	9133,8	9258,2
29580	13375,6	11179,4	10258,5

Waktu (s)	Beban tanpa PV & Fuzzy (W)	Beban dengan PV tanpa Fuzzy (W)	Beban dengan PV & Fuzzy (W)
29640	13915,7	11719,5	10257,5
29700	13699,7	11503,5	10256,6
29760	12228,8	10032,6	10227,1
29820	11348,8	9152,7	9253,1
29880	11402,1	9206,0	9252,2
29940	13918,1	11722,0	10253,1
30000	10995,6	8799,5	9250,4
30060	14464,6	12268,6	10750,3
30120	10958,5	8762,5	9248,7
30180	10285,8	8089,8	9247,7
30240	13972,0	11776,0	10248,1
30300	10749,7	8553,7	9245,5
30360	15694,9	13499,0	10791,5
30420	12905,1	10709,2	10226,6
30480	13726,3	11530,4	10244,1
30540	15484,1	13288,3	10789,6
30600	10107,7	7911,8	9254,9
30660	13561,3	11365,5	10241,3
30720	14331,2	12135,5	10739,3
30780	12979,5	10783,7	10239,3
30840	10322,2	8126,4	9236,7
30900	12649,8	10454,1	10202,2
30960	13115,0	10919,4	10235,9
31020	14631,7	12436,0	10734,3
31080	10392,1	8196,5	9233,0
31140	12656,7	10461,1	10196,9
31200	15863,1	13667,5	10785,3
31260	12806,4	10610,9	10194,4
31320	11974,3	9778,8	9228,8
31380	12675,6	10480,1	10191,9
31440	14459,6	12264,1	10726,4
31500	11232,0	9036,6	9225,8
31560	11028,3	8832,8	9224,9
31620	12235,1	10039,7	10186,3
31680	15638,4	13442,9	10777,1
31740	15789,1	13593,7	10776,5
31800	11529,7	9334,4	9221,2
31860	10422,0	8226,7	9220,3
31920	10743,1	8547,8	9219,4
31980	13158,0	10962,7	10219,6
32040	10960,5	8765,2	9217,2
32100	13106,2	10911,0	10217,8
32160	10631,1	8435,9	9215,1
32220	15049,5	12854,3	10771,6
32280	12211,4	10016,2	10171,6

Waktu	Beban tanpa PV & Fuzzy	Beban dengan PV tanpa Fuzzy	Beban dengan PV & Fuzzy
(s)	(W)	(W)	(W)
32340	12543,3	10348,2	10170,3
32400	11963,4	9768,2	9211,1
32460	14281,3	12086,3	10708,0
32520	13460,7	11265,8	10201,8
32580	15231,3	13036,7	10756,5
32640	14549,5	12355,1	10682,7
32700	15019,6	12825,4	10744,5
32760	14198,7	12004,8	10611,1
32820	12334,4	10140,6	10094,5
32880	15611,4	13417,9	10727,0
32940	13633,6	11440,3	10141,1
33000	12172,5	9979,4	9872,4
33060	13237,0	11044,2	10124,7
33120	12730,4	10537,8	10056,4
33180	12410,2	10217,7	10024,2
33240	11442,6	9250,4	9097,3
33300	10498,5	8306,5	9089,0
33360	12529,5	10337,7	9989,9
33420	12834,3	10642,7	10055,3
33480	11738,6	9547,3	9064,9
33540	10629,8	8438,7	9057,1
33600	11298,3	9107,4	9049,2
33660	14812,1	12621,4	10625,5
33720	13164,6	10974,2	10036,6
33780	14012,9	11822,7	10053,0
33840	15181,9	12991,8	10640,6
33900	11462,5	9272,7	9011,5
33960	14269,4	12079,8	10359,4
34020	11582,0	9392,6	8997,0
34080	12296,9	10107,8	9742,7
34140	10486,0	8297,1	9009,8
34200	12758,6	10569,9	9948,7
34260	11397,2	9208,7	8969,3
34320	14772,1	12583,9	10569,3
34380	12948,1	10760,0	9958,3
34440	10019,4	7831,6	9319,8
34500	11596,7	9409,1	8951,2
34560	13988,1	11800,8	9940,8
34620	12551,1	10364,0	9880,0
34680	11120,9	8934,0	8925,2
34740	15780,9	13594,2	10746,4
34800	10804,2	8617,8	8913,7
34860	14775,1	12588,9	10537,2
34920	15676,3	13490,2	10700,1
34980	11026,9	8841,1	8897,6

Waktu	Beban tanpa PV & Fuzzy	Beban dengan PV tanpa Fuzzy	Beban dengan PV & Fuzzy
(s)	(W)	(W)	(W)
35040	13636,0	11450,4	9936,3
35100	10382,8	8197,5	9070,7
35160	12085,0	9899,8	9177,7
35220	11754,8	9569,9	8883,4
35280	13057,9	10873,3	9878,8
35340	14955,0	12770,5	10538,6
35400	15006,0	12821,8	10538,6
35460	14358,7	12174,6	10313,5
35520	11976,6	9792,8	8858,3
35580	14812,5	12628,9	10517,6
35640	13790,6	11607,2	9876,2
35700	10272,0	8088,9	9141,4
35760	10248,5	8065,6	9157,1
35820	10919,9	8737,2	8843,5
35880	14602,4	12419,9	10512,1
35940	10370,4	8188,1	9078,3
36000	13115,8	10933,8	9852,2
36060	15574,9	13393,1	10658,0
36120	11323,1	9141,5	8914,2
36180	11227,4	9045,9	8877,2
36240	10534,0	8352,7	8983,5
36300	14198,1	12017,0	10106,4
36360	14238,8	12057,8	10159,3
36420	12967,8	10787,0	9841,1
36480	11570,7	9390,0	9057,8
36540	14269,4	12088,9	10200,9
36600	12270,2	10089,8	9551,1
36660	11203,9	9023,6	9047,2
36720	11395,6	9215,6	9173,9
36780	12616,6	10436,6	9877,8
36840	12817,0	10637,2	9854,1
36900	15167,1	12987,5	10540,7
36960	15863,4	13683,9	10812,7
37020	12667,1	10487,7	9873,3
37080	10205,5	8026,2	9186,3
37140	13142,6	10963,5	10007,1
37200	10189,8	8010,9	9197,0
37260	14519,0	12340,2	10517,3
37320	13549,5	11370,8	10186,0
37380	14937,3	12758,8	10544,9
37440	11977,5	9799,1	9329,3
37500	11392,5	9214,2	9476,4
37560	13219,2	11041,0	10096,6
37620	12583,7	10405,7	9879,3
37680	12421,5	10243,6	9781,8

Waktu	Beban tanpa PV & Fuzzy	Beban dengan PV tanpa Fuzzy	Beban dengan PV & Fuzzy
(s)	(W)	(W)	(W)
37740	15923,9	13746,2	10849,8
37800	15801,5	13623,9	10818,7
37860	15103,2	12925,8	10576,3
37920	15205,1	13027,8	10580,4
37980	11869,6	9692,5	9497,1
38040	10890,3	8713,3	8885,1
38100	15985,6	13808,7	10871,4
38160	13837,1	11660,4	10196,2
38220	12808,4	10631,9	9883,2
38280	15591,5	13415,1	10727,4
38340	14144,6	11968,3	10249,6
38400	14892,4	12716,3	10607,4
38460	13249,2	11073,2	10204,0
38520	13436,8	11261,0	10344,1
38580	10955,3	8779,6	8916,9
38640	15671,5	13495,9	10787,8
38700	14928,0	12752,6	10637,2
38760	10932,5	8757,2	8928,8
38820	10246,4	8071,3	9158,5
38880	12061,7	9886,7	9716,5
38940	10660,1	8485,2	8941,2
39000	10579,2	8404,5	8959,9
39060	13112,6	10938,0	10114,2
39120	10134,4	7960,0	9236,0
39180	13368,9	11194,6	10362,3
39240	15141,3	12967,1	10695,4
39300	13101,4	10927,4	10121,7
39360	14047,1	11873,3	10428,5
39420	14423,0	12249,3	10534,0
39480	14190,8	12017,2	10477,4
39540	10136,8	7963,3	9234,5
39600	11151,9	8978,6	9512,3
39660	14025,9	11852,8	10488,3
39720	12075,2	9902,4	9877,6
39780	10397,7	8225,2	9061,5
39840	10844,3	8672,0	8978,1
39900	15526,7	13354,7	10779,9
39960	11329,9	9158,3	9718,2
40020	12280,7	10109,3	9878,7
40080	13516,1	11345,0	10499,9
40140	11003,9	8833,1	8946,9
40200	10158,0	7987,6	9219,6
40260	14146,8	11976,7	10533,4
40320	14574,1	12404,3	10761,4
40380	14282,2	12112,7	10564,3

Waktu	Beban tanpa PV & Fuzzy	Beban dengan PV tanpa Fuzzy	Beban dengan PV & Fuzzy
(s)	(W)	(W)	(W)
40440	10463,9	8294,8	9022,3
40500	13538,9	11370,1	10504,1
40560	15553,0	13384,6	10965,3
40620	15578,2	13410,0	10982,7
40680	12582,7	10414,9	9945,8
40740	13035,8	10868,3	9910,0
40800	14987,5	12820,4	11058,4
40860	15515,4	13348,6	11091,8
40920	13609,8	11443,3	10512,4
40980	14343,0	12176,8	10634,6
41040	13116,0	10950,2	9998,1
41100	12944,9	10779,4	9842,9
41160	10968,5	8803,3	8834,8
41220	15856,7	13691,8	11328,1
41280	13446,2	11281,6	10428,3
41340	11639,5	9475,3	9875,7
41400	13188,6	11024,7	10100,4
41460	14191,3	12027,8	10562,8
41520	14002,3	11839,1	10535,5
41580	10584,6	8421,7	9405,3
41640	13292,4	11129,8	10249,1
41700	13664,4	11502,2	10537,9
41760	14007,8	11845,9	10563,1
41820	12970,8	10809,2	10125,4
41880	13429,5	11268,2	10444,7
41940	13533,3	11372,4	10547,5
42000	12647,9	10487,3	10248,9
42060	10907,3	8747,0	9593,6
42120	13013,6	10853,7	10258,3
42180	14388,2	12228,6	10668,6
42240	10189,9	8030,6	10149,9
42300	10309,7	8150,7	10039,8
42360	13132,4	10973,7	10379,9
42420	11923,9	9765,5	9959,0
42480	10210,4	8052,4	10130,8
42540	11470,9	9313,2	9843,2
42600	10643,1	8485,8	9853,3
42660	12297,8	10140,8	10379,8
42720	13311,0	11154,3	10561,9
42780	13583,0	11426,7	10690,0
42840	13666,7	11510,6	10738,7
42900	15611,5	13455,8	11272,6
42960	14632,2	12476,8	10862,1
43020	13078,9	10923,9	10520,5
43080	12920,1	10765,4	10515,1

Waktu	Beban tanpa PV & Fuzzy	Beban dengan PV tanpa Fuzzy	Beban dengan PV & Fuzzy
(s)	(W)	(W)	(W)
43140	13900,8	11746,4	10882,9
43200	14182,0	12027,9	10909,4

3. Konsumsi BBM pukul 05.00 – 17.00

Waktu	SFOC	Beban tanpa PV & Fuzzy	Beban dengan PV tanpa Fuzzy	Beban dengan PV & Fuzzy	BBM Beban tnp PV & Fuzzy	BBM Beban dg PV tnp Fuzzy	BBM Beban dg PV & Fuzzy
		(h)	(l/h)	(W)	(W)	(l)	(l)
06.00	4,38	13149,0	11026,3	11254,1	3,60	3,02	3,08
07.00	4,38	12967,3	10807,2	10321,7	3,55	2,96	2,83
08.00	4,38	12780,9	10598,3	9705,7	3,50	2,90	2,66
09.00	4,38	13583,0	11390,6	10179,3	3,72	3,12	2,79
10.00	4,38	12892,3	10695,7	10049,8	3,53	2,93	2,75
11.00	4,38	12979,3	10781,8	10160,3	3,55	2,95	2,78
12.00	4,38	12691,7	10494,1	10080,4	3,47	2,87	2,76
13.00	4,38	12835,1	10638,1	10088,4	3,51	2,91	2,76
14.00	4,38	12781,0	10585,2	10002,7	3,50	2,90	2,74
15.00	4,38	12861,2	10672,6	9817,6	3,52	2,92	2,69
16.00	4,38	13027,1	10892,2	9968,7	3,57	2,98	2,73
17.00	4,38	13003,8	10883,0	10149,7	3,56	2,98	2,78
Total					42,58	35,44	33,34

4. Konsumsi BBM pukul 17.00 – 05.00

Waktu	SFOC	Beban Malam	BBM Beban Malam
(h)	(l/h)	(W)	(l)
18.00	4,38	15049,655	4,1198431
19.00	4,38	14989,096	4,1032652
20.00	4,38	14926,956	4,0862542
21.00	4,38	15194,34	4,1594506
22.00	4,38	14964,107	4,0964242
23.00	4,38	14993,096	4,10436
24.00	4,38	14897,229	4,0781165
01.00	4,38	14945,041	4,0912049
02.00	4,38	14926,998	4,0862657
03.00	4,38	14953,729	4,0935834
04.00	4,38	15009,032	4,1087225
05.00	4,38	15001,265	4,1065963
Total			49,234086

BIOGRAFI PENULIS



Penulis bernama Dewi Purwaningrum yang biasa dikenal dengan Dewi dikalangan teman-temannya. Penulis lahir di Tulungagung pada tanggal 14 Juni 1997. Penulis merupakan anak pertama dari dua bersaudara. Penulis telah menempuh pendidikan formal di SDN 03 Jatimulyo, SMPN 1 Kauman, SMAN 1 Kedungwaru, dan saat ini sedang menempuh pendidikan di Departemen Teknik Sistem Perkapalan ITS Surabaya. Penulis masuk ITS menjadi angkatan 2015 melalui jalur SNMPTN dengan NRP 04211540000009. Selama perkuliahan penulis aktif di berbagai kegiatan organisasi dan kepanitiaan acara, diantaranya Himpunan Mahasiswa Teknik Sistem Perkapalan (HIMASISKAL), BEM ITS, panitia Marine Icon, panitia Buka Bersama Akbar ITS, dan sebagainya. Dan di akhir masa perkuliahan, penulis memilih topik Tugas Akhir pada bidang minat laboratorium Marine Electrical and Automation System (MEAS). Jika terdapat pertanyaan mengenai Tugas Akhir ini, dapat menghubungi penulis pada email : adewdeep@gmail.com.